



Universitatea
Transilvania
din Brașov

ȘCOALA DOCTORALĂ INTERDISCIPLINARĂ

Facultatea: Matematică și Informatică

Drd. Corina-Ștefania CHIRIAC (căs. NĂNĂU)

Cercetări în teoria așteptării și în rețele cu toleranță la întârzieri

Research in Queuing Theory and Delay Tolerant Networks

REZUMAT/ABSTRACT

Conducător științific

Prof. dr. Eleonor CIUREA

BRASOV, 2020



D-lui (D-nei)

**COMPONENTĂ
Comisiei de doctorat**

Numită prin ordinul Rectorului Universității Transilvania din Brașov

Nr. din

PREȘEDINTE: **Prof. dr. Dorina RĂDUCANU**
Decanul Facultății de Matematică și Informatică
Universitatea Transilvania din Brașov

CONDUCĂTOR ȘTIINȚIFIC: **Prof. dr. Eleonor CIUREA**
Universitatea Transilvania din Brașov

REFERENȚI: **Prof. dr. Ioan TOMESCU**
Universitatea din București

Prof. dr. Cornelius CROITORU
Universitatea “Alexandru Ioan Cuza” din Iași

Prof. dr. Ion FLOREA
Universitatea Transilvania din Brașov

Data, ora și locul susținerii publice a tezei de doctorat:, ora, sala

Eventualele aprecieri sau observații asupra conținutului lucrării vor fi transmise electronic,
în timp util, pe adresa corina.nanau@unitbv.ro

Totodată, vă invităm să luați parte la ședința publică de susținere a tezei de doctorat.

Vă mulțumim.

Cuprins

	Pg. Teză	Pg. Rez.
Introducere	5	5
1 Noțiuni fundamentale	8	8
1.1 Rețele cu toleranță la întârzieri. Privire de ansamblu	8	8
1.1.1 Informații generale	8	8
1.1.2 Rutarea în rețele cu toleranță la întârzieri	12	12
1.1.3 Gestiuinea spațiului de stocare al nodurilor în rețele cu toleranță la întârzieri	19	17
1.2 Simulatorul ONE	26	24
1.2.1 Informații generale	26	24
1.2.2 Funcționalitatea și configurarea simulatorului ONE	28	25
1.2.3 Parametrii care definesc un scenariu	31	28
2 Algoritmi de simulare în teoria așteptării	32	29
2.1 Noțiuni fundamentale în teoria așteptării	32	29
2.1.1 Noțiuni preliminarii	32	29
2.1.2 Modele de așteptare. Abordare analitică	34	31
2.2 Sisteme de așteptare cu revenire	37	34
2.2.1 Descrierea sistemului	38	34
2.2.2 Detalii de simulare a sistemului	39	36
2.2.3 Prezentarea algoritmului simulării	40	37
2.2.4 Validitatea algoritmului de simulare	43	40
2.2.5 Integrarea sistemului de așteptare intr-o rețea cu toleranță la întârzieri	45	41
3 Probleme în rețele cu toleranță la întârzieri	46	43

3.1 Fluxul maxim în rețele cu toleranță la întârzieri. Abordarea statică	46	43
3.1.1 Fluxul maxim în rețele statice și rețele dinamice	47	44
3.1.2 Fluxul maxim în rețele cu toleranță la întârzieri și buffer cu dimensiune limitată. Abordarea statică	50	47
3.1.3 Exemplu de calcul al fluxului maxim	51	48
3.2 MaxDelivery: Cercetări preliminarii	54	49
3.2.1 O nouă politică de abandonare a mesajelor	56	50
3.2.2 Validarea funcției utilitate	57	51
3.2.3 Rezultate obținute prin simulare	58	52
3.3 Descrierea algoritmului MaxDelivery	61	56
3.3.1 Metoda de transmitere a mesajelor	62	56
3.3.2 Abandonarea mesajelor și curățarea bufferului	68	59
3.3.3 Rezultate obținute prin simulare	68	60
3.4 Mesaje cu diferite priorități în contextul algoritmului MaxDelivery	74	63
3.4.1 Simulări în contextul prezenței mesajelor cu priorități	75	64
3.5 Scenariul concret de aplicare al algoritmului MaxDelivery	78	65
4 Concluzii și cercetări viitoare	82	69
4.1 Concluzii	82	69
4.2 Cercetări viitoare	84	71
Bibliografie	85	72

Content

	Pg. Teză	Pg. Rez.
Introduction	5	5
1 Theoretical foundations	8	8
1.1 Delay tolerant networks. An overview	8	8
1.1.1 General information	8	8
1.1.2 Routing in delay tolerant networks	12	12
1.1.3 Node's buffer management in delay tolerant networks	19	17
1.2 ONE simulator	26	24
1.2.1 General information	26	24
1.2.2 Functionality and configuration of the ONE simulator	28	25
1.2.3 The parameters that define a scenario	31	28
2 Simulation algorithms in queuing theory	32	29
2.1 Fundamentals of queuing theory	32	29
2.1.1 Preliminary notions	32	29
2.1.2 Queuing models. Analytical approach	34	31
2.2 Retrial queuing systems	37	34
2.2.1 System description	38	34
2.2.2 System simulation details	39	36
2.2.3 Presentation of simulation algorithms	40	37
2.2.4 Simulation algorithms validity	43	40
2.2.5 Queuing system integration with a delay tolerant network	45	41
3 Problems in delay tolerant networks	46	43
3.1 Maximum flow in delay tolerant network. The static approach	46	43

3.1.1 Maximum flow in static and dynamic networks	47	44
3.1.2 Maximum flow in DTN and limited-buffer. The static approach	50	47
3.1.3 Example of maximum flow calculation	51	48
3.2 MaxDelivery: Preliminary research	54	49
3.2.1 A new dropping policy	56	50
3.2.2 Utility function validation	57	51
3.2.3 Simulation results	58	52
3.3 MaxDelivery algorithm description	61	56
3.3.1 Forwarding policy	62	56
3.3.2 Dropping and cleaning policies	68	59
3.3.3 Simulation results	68	60
3.4 Messages with different priorities in the context of MaxDelivery algorithm	74	63
3.4.1 Simulation for messages with different priorities	75	64
3.5 The practical scenario for the MaxDelivery algorithm	78	65
4 Conclusions and future work	82	69
4.1 Conclusions	82	69
4.2 Future work	84	71
Bibliography	85	72

Introducere

Această lucrare dezbat două aspecte importante de cercetare: elemente din teoria aşteptării și caracteristici ale rețelelor cu toleranță la întârzieri.

Multe sisteme din viața reală pot fi modelate științific folosind sisteme de aşteptare. Fenomenele studiate în acest context au un caracter aleator, fiind utilizate metode de investigație ale statisticii matematice. Sistemele de aşteptare se pot rezolva folosind două metode: cea analitică, bazată pe calcul matematic, sau cea bazată pe algoritmi de simulare, folosită în principal pentru problemele mai complexe.

A doua cercetare se referă la rețelele cu toleranță la întârzieri. Acestea au apărut cu mai mulți ani în urmă, ca proiecte finanțate de guvernul Statelor Unite ale Americii, datorită necesității de a dezvolta o tehnologie de comunicare cu posibilitatea de a susține întârzieri foarte mari ale transmisiei mesajelor. În primă instanță, această necesitate a apărut datorită încercării de a comunica în spațiu.

După anul 2000, odată cu creșterea interesului cu privire la rețelele ad-hoc și mobile, a crescut considerabil și numărul cercetărilor și al conferințelor care au avut ca subiect tema aceasta. Cel care a introdus conceptul de rețea cu toleranță la întârzieri și întreruperi (Delay Tolerant Network în limba engleză), prescurtat DTN, a fost Kevin Fall, în anul 2002, iar bazele arhitecturii rețelei DTN au fost puse de către V. Cerf și K. Scott în 2007. Datorită cercetărilor ulterioare în acest domeniu, au apărut metode noi de transmitere a datelor în rețele de tip DTN, au fost adaptate la situații reale și îmbunătățite performanțele metodelor deja existente, s-au definit tot mai multe clase de mobilități ale nodurilor rețelei, demonstrând că acesta este un domeniu de actualitate și în continuă expansiune.

O rețea DTN poate interconecta dispozitive mobile, telefoane inteligente, senzori etc. Ele sunt într-o continuă mișcare, iar dinamica lor va influența permanent topologia rețelei. Rolul dispozitivelor care formează rețeaua este acela de transmitere și recepționare de date.

Rețeaua DTN se modelează sub formă de graf, ale cărui noduri se cunosc, iar prezența sau absența arcelor variază în timp. Cercetările au arătat că se poate stabili un grad de predictibilitate al configurației rețelei. Predictibilitatea se poate calcula în funcție de comportamentul nodurilor, în special în funcție de modelul de deplasare a acestora, care poate fi unul aleator sau poate respecta un anumit tipar.

Datorită considerentelor prezentate, alegerea drumului pe care îl urmează mesajele care circulă în rețea este unul dintre principalele atribuții ale algoritmilor de rutare. Pentru a maximiza transmiterea de mesaje, trebuie ales un drum optim. Având în vedere că majoritatea algoritmilor care deservesc rețeaua DTN răspândesc multe copii ale mesajelor, trebuie alese și strategii conexe de evitare a supraîncărcării rețelei. Aceste strategii sunt reprezentate de politicile de gestiune a capacitatii de stocare de date asociate nodurilor.

Contextele în care se pretează implementarea unei astfel de rețele sunt diverse: rețele de senzori care culeg informații despre mediu, rețele care urmăresc dezvoltarea animalelor sălbaticice în mediul lor natural, rețele pe câmpul de luptă, rețele de gestionare a salvării de persoane în urma unui dezastru natural, rețele care interconectează zone rurale sau defavorizate, care nu au acces la electricitate sau Internet.

Având în vedere multitudinea de oportunități pe care o oferă rețeaua DTN, am ales spre rezolvare gestionarea salvării persoanelor afectate de un cutremur de proporții. Pentru aceasta, am implementat un algoritm de rutare care se potrivește paradigmei DTN și care maximizează transmiterea de mesaje cu caracter urgent, în vederea coordonării operațiunii de salvare a victimelor cutremurului. Pentru a demonstra eficiența algoritmului propus, am realizat o simulare a contextului real prezentat, în care am evidențiat rata de livrare a mesajelor oferită de noul algoritm.

Structura acestei lucrări este următoarea:

Capitolul 1, intitulat **Noțiuni fundamentale**, descrie o serie de noțiuni de bază privind rețelele cu toleranță la întârzieri, provocările la care sunt dispuse și criteriile de performanță ale unei astfel de rețele. Sunt sintetizați unii dintre cei mai importanți algoritmi de rutare existenți și se oferă de asemenea o prezentare cronologică a principalelor strategii de gestiune a bufferului. Tot în acest capitol este descris simulatorul utilizat pentru testarea funcționării rețelei.

Capitolul 2, intitulat **Algoritmi de simulare în teoria așteptării**, reprezintă fundamentele teoretice pe care se sprijină rezolvarea multor probleme care pot apărea într-o rețea cu toleranță la întârzieri, deoarece fiecare nod al unei rețele DTN poate fi definit ca un sistem de așteptare individual. În acest capitol a fost efectuată o paralelă a două sisteme de așteptare cu revenire, în care clienții sosesc individual și în loturi. Cele două sisteme sunt rezolvate cu ajutorul algoritmilor de simulare, iar la finalul capitolului sunt prezentate comparativ rezultatele factorilor de eficiență.

Capitolul 3, intitulat **Probleme în rețele cu toleranță la întârzieri**, abordează două situații care pot apărea într-o rețea DTN, și anume:

- identificarea fluxului maxim - rețeaua dinamică inițială a fost transformată într-o rețea statică înaintea calculării fluxului maxim.
- maximizarea transmiterii de mesaje - pentru a atinge acest obiectiv, a fost dezvoltat un nou algoritm de rutare, numit **MaxDelivery**, care detine o strategie de gestionare a spațiului de stocare de date.

Tot în capitolul 3 sunt prezentate și rezultatele simulărilor efectuate pentru a testa eficiența algoritmului MaxDelivery în comparație cu unii dintre cei mai cunoscuți algoritmi de rutare în DTN. La finalul capitolului este descris un context real de utilizare al algoritmului propus și sunt prezentate rezultatele pe care acesta le obține în cazul gestiunii unei operațiuni de salvare în urma unui cutremur.

Capitolul 4 prezintă concluziile cercetării efectuate în această lucrare și indică direcțiile viitoarei cercetări.

Articolele publicate sau trimise spre publicare:

1. articole publicate în reviste:

- [23] Florea, I.L. and **Nănău C.S.**, An algorithmic approach of retrial queuing system with one serving station. Part I: The description of the simulation algorithm, Bulletin of the Transilvania University of Brașov, 2013. (revistă indexată SCOPUS)
- [24] Florea, I.L. and **Nănău C.S.**, An algorithmic approach of retrial queuing system with one serving station. Part II: The implementation of the simulation algorithm, Bulletin of the Transilvania University of Brașov, 2014. (revistă indexată SCOPUS)
- [25] Florea, I.L. and **Nănău C.S.**, A simulation algorithm for a single server retrial queuing system with batch arrivals, Analele științifice ale universității Ovidius Constanța, 2015. (revistă cotată ISI cu factor de impact 0.638)
- [52] **Nănău C.S.**, An overview of Delay Tolerant Networks and routing protocols, Bulletin of the Transilvania University of Brașov, 2018. (revistă indexată SCOPUS)
- [53] **Nănău C.S.**, Example of routing protocols in Delay Tolerant Networks, Bulletin of the Transilvania University of Brașov, 2019. (revistă indexată SCOPUS)
- [54] **Nănău C.S.**, Maximum flow in buffer-limited Delay Tolerant Networks. The static approach, Bulletin of the Transilvania University of Brașov, 2020. (revistă indexată SCOPUS)

2. articole prezentate în conferințe internaționale:

- [55] **Nănău, C.S.**, Queuing Theory Application on DTN Buffer Management, in Proceeding of the 8th International Conference on Computers Communications and Control (ICCCC 2020), Oradea, 2020. (Categorie D)

3. articole acceptate la conferințe internaționale (a se vedea Anexa 1):

- [56] **Nănău, C.S.**, MaxDelivery: a new approach to a DTN Buffer Management, Proceeding of 21st IEEE International Symposium on a World of Wireless, Mobile and Multimedia Networks (IEEE WOWMOM 2020), Cork, Ireland - articol în formă redusă, trimis la forumul dedicat doctoranzilor. (Categorie A)

4. articole trimise la reviste spre publicare:

- [17] Deaconu, A., Udroiu, R. and **Nănău, C.S.**, Data or Physical Packages Delivery in Isolated, Disaster or Quarantined Areas Using DTN Based Algorithms for Unmanned Aerial Vehicles, IEEE Access, (revistă cotată ISI cu factor de impact 3.745, Categorie A)

* * *

*

Doresc să îi mulțumesc domnului profesor dr. Eleonor Ciurea, coordonatorul acestei teze, pentru răbdarea și înțelegerea pe care mi le-a arătat în toată această perioadă, pentru sprijinul și încurajarea acordate în vederea finalizării acestei lucrări. Doresc să le mulțumesc de asemenea și membrilor comisiei de îndrumare pentru răbdarea și implicarea dânsilor în activitatea mea științifică.

Capitolul 1

Noțiuni fundamentale

1.1 Rețele cu toleranță la întârzieri. Privire de ansamblu

1.1.1 Informații generale

Rețelele cu toleranță la întârzieri și întreruperi, în limba engleză “Delay and Disruption Tolerant Networks”, prescurtat DTN, s-au concretizat atât la nivel teoretic cât și practic în anul 2003. Kevin Fall a lansat astfel o arhitectură suplimentară, suprapusă arhitecturii de rețea existente până în acel moment. Aceste informații sunt prezentate în [21].

Conform cu [81], multe medii de comunicare nu pot fi în conformitate cu ipotezele fundamentale ale rețelei Internet (conexiune continuă și bidirectională între sursa de date și destinația acestora, întârzieri de transfer de ordinul milisecundelor, rate simetrice și consistente de transfer al datelor, număr mic de pierderi sau coruperi de date). Aceste constrângeri sunt impuse de protocoalele de comunicare folosite de Internet, în special de către TCP/IP (Transmission Control Protocol/Internet Protocol în limba engleză), cel mai comun protocol utilizat. Aceste protocoale pleacă de la premisa că există o cale continuă pe care să o poată parurge mesajele de la sursă la destinație, ceea ce nu este valabil, de exemplu, într-o rețea din spațiul cosmic.

O rețea de tip DTN poate fi reprezentată formal ca un graf orientat, neorientat sau mixt. Având în vedere dinamica unei rețele cu toleranță la întârzieri, graful folosit pentru reprezentare trebuie să fie unul variabil în funcție de timp.

Rețeaua poate avea atât noduri fixe cât și mobile. Nodurile mobile pot fi: persoane, autovehicule, sateliți artificiali, drone etc. Nodurile fixe pot fi: antene, instituții sau orice punct fix pe care este montat un dispozitiv care are configurat un protocol de comunicare cunoscut de toți membrii rețelei.

Drumurile dintr-o rețea variabilă în timp se construiesc respectând constrângerea ca următorul arc, pentru a fi parcurs, trebuie să fie activ după traversarea arcului curent. Ca și într-un graf orientat, existența unui drum de la nodul i la nodul j nu justifică și existența unui drum de la nodul j la nodul i . Drumurile în funcție de timp nu sunt tranzitive. Cu alte cuvinte, dacă există un drum de la nodul i la nodul j și un alt drum de la nodul j la nodul k , nu înseamnă că există drum și de la i la k . Acest tip de drum este el însuși variabil în timp,

fiind valid doar pe un anumit interval.

Mai multe detalii despre rețelele temporale se găsesc în [29].

În [65] este prezentată o scurtă descriere a rețelelor premergătoare celei cu toleranță la întârzieri, și anume rețeaua wireless și cea ad-hoc.

Pe lângă dispozitivele conectate prin fir, există și o categorie aparte de dispozitive conectate wireless în Internet, precum telefoanele mobile sau alte dispozitive inteligente. Acestea oferă posibilitatea de a se deplasa aproape oriunde și de a avea conexiune la Internet. Rețeaua wireless este o combinație de dispozitive fixe și mobile care se deconectează de obicei pentru o perioadă foarte scurtă de timp de dispozitivele fixe principale. Rețelele fără fir au de asemenea o infrastructură fixă, iar topologia lor este similară cu cea a rețelelor cu conexiune prin fir, putându-se determina cu ușurință căi continue între noduri.

În cadrul rețelelor fără fir există o categorie numită MANET (Mobile Ad Hoc Networks) [78], în care două dispozitive sunt conectate între ele doar dacă se găsesc în raza de acțiune a unuia față de celălalt. Deoarece rețelele MANET sunt alcătuite din dispozitive mobile, acestea pot avea o mobilitate mare, iar legăturile dintre ele se pot întrerupe, ieșind din raza de acțiune. Astfel, aceste legături au perioade succesive de activitate și de inactivitate. Dispozitivele din acest tip de rețea își actualizează permanent căile de comunicare pe baza informațiilor despre modificările topologice. Modificările dese ale căilor creează posibilitatea existenței unui drum continuu între două noduri, iar comunicarea nu va avea de suferit în acest sens.

Atunci când avem în vedere comunicarea prin satelit sau când legăturile dintre dispozitive se pot întrerupe datorită unor defectiuni sau unor limitări de resurse, rețeaua se poate fragmenta astfel încât nu se mai poate determina un drum continuu între oricare două noduri. Apare astfel imposibilitatea prezicerii timpului în care va ajunge la destinație un mesaj care a plecat de la nodul sursă.

Pentru a întări aceste provocări, a fost dezvoltată o rețea care să extindă rețeaua MANET și care oferă posibilitatea stocării mesajelor pentru o perioadă mai lungă de timp și a redirecționării acestora în momentul apariției unei conexiuni. Această extindere a rețelei MANET este rețeaua DTN, cea care tolerează întârzieri mari de transmitere a mesajelor. Rețeaua DTN a fost concepută pentru a fi folosită acolo unde nu există Internet sau în mediile în care sunt prezente întreruperi frecvente și de lungă durată ale rețelei.

Ceea ce aduce nou rețeaua DTN față de rețeaua Internet este posibilitatea comunicării în medii caracterizate prin:

- conexiune intermitentă, care poate fi periodică sau întâmplătoare
- întârzieri lungi și cu valori ce pot varia consistent în transmiterea mesajelor
- rate de transfer ale mesajelor cu o asimetrie destul de ridicată, care este inacceptabilă protocoalelor de comunicare din Internet
- rată a erorilor ridicată pe parcursul unei conexiuni între noduri, a căror corectare generează și mai mult trafic.

Conexiunea intermitentă din rețeaua DTN este provocată, în afară de mobilitatea foarte mare a nodurilor, de încercarea de a conserva energia dispozitivelor rețelei, de atacurile asupra rețelei, de unele defectiuni sau dezastre naturale.

Chiar dacă inițial rețeaua DTN a apărut în contextul comunicărilor spațiale, odată cu cercetările tot mai intense în domeniu, cu dezvoltarea tehnologiei și a dispozitivelor care o folosesc, aplicațiile rețelei de tip DTN și-au extins din ce în ce mai mult aria. Astfel putem avea: rețele pe câmpul de luptă, rețele de senzori care pot monitoriza diverse obiective (dezvoltarea animalelor în sălbăticie, clima, mediul înconjurător etc.), rețele de comunicare subacvatică, rețele rurale sau din zone defavorizate, rețele de comunicare în caz de cataclisme naturale, rețele vehiculare etc.

Modalități de funcționare

În 2007 au fost introduse elemente noi de arhitectură pentru rețeaua de tip DTN și au fost prezentate în lucrările [13],[64].

Arhitectura unei rețele DTN implementează un mecanism de **stocare, transport și transmitere mai departe a mesajelor** (store, carry and forward messages, în limba engleză), facilitat de protocolul de împachetare (bundle protocol, în limba engleză). Acest protocol permite stocarea și transmiterea mai departe a unor pachete de date întregi sau a unor fragmente de pachete, făcând posibilă comunicarea între noduri, indiferent de tipurile de protocoale de nivel inferior pe care le implementează.

Pe baza acestui protocol, nodul care transmite un pachet de date va solicita nodului de contact acceptarea “custodiei” pachetului. Un custode al pachetului va trebui să îl stocheze până când un alt nod acceptă custodia sau până când expiră timpul de viață al pachetului. Pentru realizarea unei transmisii sigure, timpul de viață trebuie să fie suficient de mare.

Nodurile unei rețele DTN au posibilitatea de stocare de date pe o perioadă nelimitată, spre deosebire de ruterele din Internet care pot stoca mesajele doar câteva milisecunde în microcipurile sau bufferele cu care sunt dotate.

Provocări ale unei rețele de tip DTN

Rețelele cu toleranță la întârzieri sunt supuse unor provocări care nu sunt prezente în cele tradiționale. Acestea provin din necesitatea de a face față deconectărilor care influențează expedierea mesajelor. În [34] apar o serie de astfel de provocări ce influențează în mod radical funcționarea unei astfel de rețele.

Una dintre problemele care pot apărea într-o rețea de tip DTN este adaptarea la resurse limitate, iar prin resurse vom înțelege atât resurse de nivel fizic, cât și resurse logice. Avem astfel limitări ale spațiului de stocare al nodurilor, ale energiei electrice, ale timpului de comunicare între noduri, ale puterii de calcul și de procesare a datelor etc.

Una dintre principalele probleme pe care trebuie să le gestioneze o rețea DTN este **orarul de contact**. Pentru a obține performanțe ridicate de comunicare, trebuie eficientizat timpul de așteptare până la intrarea nodurilor în contact cu alte noduri. Într-o astfel de rețea, acest timp poate varia de la secunde până la zile întregi. O soluție a eficientizării timpului de așteptare poate fi aceea a stabilirii unor orare de contact, indiferent de precizia lor. O extremă poate fi considerată aceea în care orarul de contact este foarte exact, cum ar fi cazul rețelelor din spațiu, unde deconectările sunt datorate interpuzerii unor obiecte care se deplasează după un program bine stabilit. Se poate considera de asemenea o rețea DTN în care nodurile sunt montate pe autobuzele din oraș. Aceste autobuze au un orar, dar care

nu poate fi respectat cu acuratețe din cauza traficului, a defecțiunilor, a accidentelor etc. Astfel se poate ajunge la variații semnificative a timpilor de sosire în stație. La cealaltă extremă sunt situate rețelele a căror noduri au un orar de deplasare complet aleatoriu, cum sunt rețelele ad-hoc.

Capacitatea legăturilor dintre noduri este o altă provocare a rețelei DTN. Aceasta se referă la cantitatea de date care poate fi schimbată între noduri și depinde atât de tehnologia folosită pentru conectare, cât și de durata conexiunii. Dacă volumul traficului de date din rețea este foarte mic în comparație cu capacitatea legăturilor, atunci poate fi rezonabilă ignorarea capacității legăturilor. Dacă volumul traficului crește datorită creșterii numărului de utilizatori sau datorită schimbului de mesaje de dimensiuni foarte mari, atunci capacitatea legăturilor dintre noduri devine un factor foarte important.

Un factor care presupune o reală provocare în funcționarea optimă a rețelei, este **spațiul de stocare din buffer**. Așa cum am mai precizat, nodurile care compun rețeaua DTN au ca particularitate prezența unui buffer în care sunt stocate mesaje pe o perioadă îndelungată. Pentru a rezolva această problemă, nodurile trebuie să aibă o bună strategie de gestionare a spațiului de stocare.

Puterea de procesare este un alt factor important în rețelele cu toleranță la întârzieri. Dispozitivele conectate în rețea pot avea dimensiuni foarte mici și implicit capacitate mică de procesare, iar acestea nu vor putea rula mecanisme complexe de rutare.

Consumul de energie electrică reprezintă o altă provocare de care trebuie să țină seama rețelele cu toleranță la întârzieri. Unele noduri au resurse limitate de energie datorită mobilității ridicate sau pentru că se găsesc într-o locație în care nu au acces cu ușurință la rețeaua electrică. Procesul de rutare este consumator de energie la trimiterea, primirea sau stocarea datelor. Astfel, strategiile de rutare care trimit puține mesaje sau realizează puține procesări sunt mai eficiente din punct de vedere energetic.

Criterii de evaluare a performanței

Ca în orice desfășurare a unei acțiuni, trebuie stabilite anumite criterii care să cuantifice performanța acelei acțiuni. În mod similar, funcționarea unei rețele de tip DTN are stabilite o serie de criterii care îi definesc performanțele. Conform cu [34], acestea sunt:

- **Rata livrării mesajelor** - este unul dintre criteriile cele mai importante de evaluare într-o rețea DTN. În general, în rețelele cu toleranță la întârzieri, probabilitatea ca un mesaj să fie eliminat din rețea este mult mai mică decât aceea de a ajunge la destinație cu întârziere. Acest lucru depinde în mare măsură de topologia și de strategia de funcționare a rețelei. Astfel, rata livrării mesajelor este definită ca numărul de mesaje livrate corect la destinație în unitatea de timp prestabilită.
- **Latența (întârzierea de transmitere a mesajelor)** - este definită prin perioada de timp dintre momentul generării mesajului de către nodul sursă și momentul primirii acestuia de către nodul destinație. Acest criteriu este important deoarece multe aplicații pot beneficia de un timp scurt de așteptare, chiar dacă sunt capabile să tolerateze perioade îndelungate de așteptare. Astfel se limitează intervalul de timp în care este utilă primirea datelor.
- **Transmisia** - este acel factor care definește numărul de mesaje transmise în timpul

unei conexiuni dintre noduri. Unele strategii de funcționare trimit mai multe mesaje decât altele, pentru că folosesc mai multe copii ale aceluiași mesaj, suprasolicitând canalul de transmitere a datelor.

În [76] apar și **numărul de hopuri** (opriri, staționări) parcuse de către mesaj, dar și **rata de supraîncărcare** ca factori de eficiență ai rețelei. Numărul de hopuri influențează întârzierea de transmitere a mesajelor, iar supraîncărcarea se reflectă în costul mediu de transmisie al unui mesaj. Cu alte cuvinte, supraîncărcarea indică numărul de mesaje necesare transmise în medie pentru un mesaj care ajunge la destinație. Acesta este un factor care influențează performanțele rețelelor care nu permit un consum ridicat de energie.

1.1.2 Rutarea în rețelele cu toleranță la întârzieri

Una dintre părțile esențiale ale telecomunicațiilor, care este foarte importantă și în cazul rețelelor de tip DTN, este rutarea. **Rutarea este decizia luată în procesul de identificare a drumului optim pe care trebuie să îl urmeze mesajele pentru a ajunge la destinație.** Fără existența acestui mecanism, nodurile nu ar ști ce mesaje să transmită și căruia nod să transmită mesaje pentru a efectua operații optime în rețea. În DTN rutarea este importantă în mod special deoarece contactele dintre noduri sunt rare și de scurtă durată, iar fiecare oportunitate de conectare trebuie exploatață la maxim. Din același motiv, rutarea este mai complexă în acest caz decât în rețelele tradiționale, unde toate conexiunile se cunosc de la bun început și este mult mai simplă stabilirea unui drum optim al mesajelor.

Scopul rutării este optimizarea ratei de livrare a mesajelor, a întârzierii de transmitere a mesajelor și minimizarea impactului asupra resurselor rețelei.

Rețelele de tip DTN au o varietate foarte mare de aplicații, însă una dintre cele mai interesante este rețeaua bazată pe telefoane inteligente sau pe alte dispozitive care se găsesc asupra oamenilor. Aceasta este motivul principal pentru care, în [19] se afirmă faptul că este nevoie de a dezvolta soluții pentru rețele cu un săalon de mobilitate uman, întrucât mișcarea oamenilor și comportamentul lor nu sunt complet aleatorii, ci sunt predictibile.

Clasificarea strategiilor de rutare

În literatura de specialitate se găsesc mai multe criterii de clasificare a strategiilor de rutare.

În [81], întâlnim strategii de rutare care iau în considerare **tipul de conexiune dintre noduri**, și anume: conectarea oportună a nodurilor și conectarea în funcție de un orar prestabilit.

Spunem că nodurile rețelei se conectează în mod oportunist atunci când emițătorul și receptorul intră în contact fără un orar prestabilit. Astfel, persoanele în mișcare, vehiculele, aeronavele sau sateliții pot intra accidental în contact și schimba informații.

Conectarea pe baza unui orar este întâlnită în special în spațiu unde totul este în mișcare, iar nodurile care pot fi conectate se deplasează pe o orbită bine definită. Acest fapt implică posibilitatea stabilirii poziției nodurilor la un anumit moment. Conectarea pe baza unui orar se poate întâlni de asemenea și în viața cotidiană, cu precădere în cazul mijloacelor de transport în comun.

O altă clasificare importantă a protocolelor de rutare se face în funcție de **numărul de replici ale mesajului**, aşa cum se poate găsi în [34],[49],[52],[59],[76]. Avem astfel protocole de rutare care se bazează pe o singură copie a mesajului, numite în literatura din limba engleză “forward-based”, precum și protocole de rutare care se bazează pe mai multe copii ale mesajului, întâlnite în literatura de specialitate cu numele de “flood-based” (bazate pe inundarea rețelei).

Strategiile care utilizează o singură copie a mesajelor sunt mai puține spre deosebire de cele care răspândesc în rețea un număr mare de replici. Răspândirea de copii crește șansa ca mesajul să ajungă la destinație și reduce timpul petrecut în rețea. Abordarea aceasta afectează costul transportului mesajului deoarece se va consuma lățimea de bandă și spațiul din buffer. Varianta cea mai ieftină este aceea că mesajul să se găsească într-un singur exemplar în rețea, dar când apare o situație neprevazută, mesajul poate fi pierdut ușor.

În secțiunea următoare vom putea observa că strategiile de rutare bazate pe inundarea rețelei pot aborda replicarea în mai multe maniere, aşa cum se constată în [34]:

- transmiterea cu două opriri - care presupune transmiterea mesajului de la sursă la primele n noduri cu care aceasta intră în contact. Aceste noduri vor transmite mesajul mai departe numai în cazul în care intră în contact direct cu destinația. Rețelele în care mobilitatea nodurilor este aleatoare nu vor avea succes cu această strategie, dar dacă mobilitatea este bazată pe un orar, atunci livrarea mesajelor va fi cu succes. Această strategie a fost propusă în [51] pentru cazul în care rutarea ad-hoc nu poate găsi o cale de conectare a nodurilor.
- inundarea arborescentă - se bazează pe cea precedentă, doar că nodul care a primit o copie a mesajului nu o va livra doar destinației, ci și unui nod intermediu. Astfel, nodurile la care ajung copii ale mesajului, formează un arbore.
- inundarea *epidemică* - a fost introdusă de către Vahdat și Becker în [79] pentru a garanta furnizarea unui număr suficient de mare de replici ale mesajului astfel încât destinația să primească și ea o copie.

Există mai multe modalități de a limita numărul de copii ale mesajului. Una dintre cele mai simple modalități este restricționarea numărului de hopuri până la destinație, limitând adâncimea arborelui. O rafinare a acestei modalități constă în limitarea numărului de copii realizate de un nod.

Protocolele de rutare pot fi clasificate în funcție de **cantitatea de cunoștințe despre rețea** pe care o folosesc pentru trimitera mesajelor. Această clasificare se întâlnește în [32],[34].

O extremă ar fi aceea că nodul să ia decizia de rutare fără să cunoască nimic despre rețea (în afară de nodurile cu care a intrat în contact). Un dezavantaj ar fi acela că această strategie nu poate lua o decizie optimă întrucât nu se poate adapta la condițiile reale de rețea. O altă extremă ar fi aceea că nodurile să cunoască întregul orar al tuturor nodurilor din rețea, caz în care programul de rutare ar lua decizii cu o acuratețe ridicată cu privire la alegerea celei mai bune căi de rutare a mesajelor.

Există și varianta intermediară de cunoaștere a unor informații parțiale despre rețea, pe care să le descopere pe parcurs. Aceste informații se referă la caracteristicile topologiei de rețea și la dinamica acesteia, precum și la cerințele de trafic.

Abordarea care necesită cele mai puține informații este aceea prin care se atribuie coordonate fiecarui nod, iar pentru estimarea costului de transport al mesajelor se folosește o funcție de distanță. Coordonatele unui nod pot fi cele fizice (coordonatele GPS) aşa cum s-a studiat în [48] sau coordonate relative la spațiul topologiei de rețea, care au fost studiate în [58].

O altă modalitate de a clasifica protocolele de rutare este în funcție de **abordarea socială**. Nodurile unei rețele pot avea comportament social datorită faptului că reprezintă dispozitive pe care oamenii le poartă cu ei pentru a testa funcționarea rețelei DTN. În acest caz, deplasarea nodurilor în rețea este identică deplasării cotidiene a oamenilor. Unele protocole de rutare utilizează aceste cunoștințe pentru a anticipa deplasările viitoare ale nodurilor. Această abordare se întâlnește în [15], [67].

Clasificarea strategiilor de rutare poate fi efectuată și în funcție de **momentul stabilirii rutei mesajelor** [32]. Într-o abordare proactivă, ruta este stabilită de către nodul sursă, care o codifică în interiorul mesajului, și nu poate fi modificată ulterior. În abordarea reactivă, avem rutarea **per hop**, în care fiecare nod din calea mesajului stabilește doar următorul hop, pe baza informațiilor pe care le are din rețea.

Ultima clasificare amintită este cea **bazată pe administrarea bufferului**. Avem astfel protocole care țin cont de acest lucru și protocole care nu țin cont. Protocolele care nu țin cont de buffer, fie consideră că spațiul de stocare al nodurilor este nelimitat, ceea ce este nerealist, fie utilizează metoda FIFO pentru eliminarea sau transmiterea mai departe a mesajelor. Această abordare va fi discutată mai detaliat în capitolul 3.

Algoritmi de rutare

După cum am amintit în subparagraful precedent, protocolele de rutare care folosesc o singură copie a mesajului sunt destul de puține. Dintre acestea, sunt prezentate Direct Delivery [74], DTLSR (Delay Tolerant Link State Routing) [87] și SABR (Schedule Aware Bundle Routing) [87].

Direct Delivery este cea mai simplă abordare a unui protocol de acest tip. Nodul va livra mesajul doar destinației, în momentul în care intră în contact cu aceasta. Abordarea sa simplistă se dovedește a fi destul de utilă doar pentru cazul în care nodurile din rețea se întâlnesc des.

Protocolul **DTLSR** utilizează starea legăturilor dintre noduri. Fiecare legătură va primi o valoare care va crește continuu până când va ajunge la un anumit maxim. Doar în momentul atingerii valorii maxime va fi eliminată legătura din graf. Dacă nodurile se reîntâlnesc atunci valoarea asociată legăturii se resetează. Se recurge la acest mijloc de a păstra încă o perioadă legăturile inactive în graf pentru a se putea calcula drumurile de rutare ale mesajelor, în speranță că legăturile vor fi reactivate în curând.

Protocolul **SABR** este o extensie a protocolului Contact Graph Routing [27], care utilizează conexiuni între noduri pe baza unui orar, dar și conexiuni oportuniste. Prioritatea de transmitere se va acorda mesajelor sosite cel mai recent, iar pachetele sunt rutate pe un graf cu conexiuni variabile în timp. În cazul conexiunilor oportuniste, rutarea se face către vecinii nou descoperiți sau către vecinii care au un istoric de conexiune cu nodul în cauză.

Printre algoritmii de rutare care creează mai multe copii ale mesajelor, amintim: Epidemic [79], Spray and Wait [75], PRoPHET [44], MaxProp [11], RAPID [5]. Câteva observații despre acești algoritmi se găsesc și în [53].

Epidemic este forma de bază a protoocoalelor de rutare bazate pe inundarea rețelei. Algoritmul său presupune crearea mai multor copii ale mesajului. Acest algoritm are o întârziere de livrare scăzută, dar este destul de costisitor deoarece consumă o cantitate ridicată de resurse de rețea datorită duplicării excesive a mesajelor. Maniera de lucru, conform cu [79]: când se întâlnesc două noduri, acestea își împărtășesc informații despre propriile buffere și identifică pachetele care lipsesc. După aceasta își transferă pachetele lipsă, astfel că la sfârșitul procesului, cele două noduri au același conținut în buffer. Acest proces se repetă de fiecare dată când două noduri intră în contact. Această abordare s-a dovedit a fi eficientă în cazul rețelelor care nu sunt foarte încărcate, dar în cazul celor încărcate, abordarea va deveni complet ineficientă.

Spray and Wait este un protocol de rutare prin inundare care necesită prezența unor spații de stocare destul de mari atașate nodurilor. Algoritmul are două faze: una de împrăștiere a mesajelor și una de așteptare. Acest algoritm a apărut în [75] și circulă în mai multe variante, în funcție de numărul de copii ale mesajului care se răspândesc.

Varianta standard sau Vanilla este cea în care nodul sursă generează un mesaj și îi atașează un număr L de copii. Faza de împrăștiere a mesajelor se încheie atunci când nodul sursă rămâne cu o singură copie, iar alte $L - 1$ noduri au și ele câte o copie. În faza de așteptare, nodurile așteaptă oportunitatea de a se întâlni cu destinația mesajului.

O altă variantă este cea binară, cea în care, în momentul întâlnirii cu un alt nod care nu are în bufferul său o copie a mesajului, nodul sursă îi transmite acestuia responsabilitatea transmiterii mai departe a jumătate din numărul de copii pe care le are el în buffer. și tot așa până rămâne cu un singur mesaj, moment în care nodul intră în faza de așteptare, în care se comportă ca în cazul protocolului Direct Delivery. Nu doar nodul sursă are acest comportament, ci și celelalte noduri care au primit o copie a mesajului împreună cu responsabilitatea împrăștierii lui în rețea.

Acest algoritm poate fi aplicat cu succes în cazul rețelelor de dimensiuni mici, cu o deplasare aleatoare a nodurilor. În cazul în care mișcarea nodurilor are distribuție uniformă este mai avantajoasă versiunea binară decât cea standard, deoarece va împrăștia mai rapid în rețea copiile mesajului.

PRoPHET este un protocol de rutare similar cu Epidemic, care face schimb de mesaje doar în cazul în care nodul întâlnit are o probabilitate mai mare de a livra la destinație acele mesaje. Aceasta este un protocol de rutare probabilistic, denumirea sa reprezentând acronimul de la **Probabilistic Routing Protocol using History of Encounters and Transitivity** [44].

Modalitatea de calcul a *probabilității de livrare* a unui nod N este următoarea:

Vom nota cu P funcția de probabilitate a livrării. Aceasta are 2 parametri: N și D , unde N este nodul curent, iar D este un nod destinație. Fiecare nod va stoca valoarea lui P pentru oricare nod destinație D din rețea. Dacă nu se cunoaște probabilitatea livrării mesajelor spre un anumit nod, atunci valoarea lui P va fi zero pentru acel nod. La fiecare întâlnire dintre două noduri, acestea își recalculează probabilitățile, bazându-se pe trei reguli:

1. Atunci când nodul N întâlnește un nod M , probabilitatea lui M va fi crescută astfel:

$$P(N, M)_{new} = P(N, M)_{old} + (1 - P(N, M)_{old}) \cdot L_{encounter} \quad (1.1)$$

$L_{encounter}$ fiind o constantă.

2. Se actualizează probabilitatea pentru toate nodurile destinație D (în afară de nodul M) astfel:

$$P(N, D)_{new} = P(N, D)_{old} \cdot Y^K \quad (1.2)$$

unde Y este o constantă de actualizare, iar K este numărul de unități de timp care s-au scurs de la ultima actualizare.

3. Probabilitățile sunt schimbate între N și M , iar tranzitivitatea funcției de probabilitate este folosită pentru a actualiza valorile acesteia pentru destinațiile D astfel:

$$P(N, D)_{new} = P(N, D)_{old} + (1 - P(N, D)_{old}) \cdot P(N, M) \cdot \beta \quad (1.3)$$

unde β este o constantă de scalare.

Acest algoritm este preabil rețelelor care au noduri cu deplasare aleatoare și întâlniri oportuniste.

Pentru îmbunătățirea ecuațiilor, în [9] a fost introdus un factor de îmbunătățire α . Se poate demonstra din punct de vedere matematic faptul că pentru $\forall \alpha \in [0, 1]$ și $P \in [0, 1]$ avem $P^\alpha \geq P$. Pornind de la acest fapt, în [9] este demonstrat că noul algoritm are o eficiență mai bună decât varianta clasică a algoritmului PRoPHET.

MaxProp este un protocol de rutare care se bazează pe prioritizarea transmiterii pachetelor și a abandonării acestora [11]. Este unul dintre primele protocoale de rutare din DTN care se ocupă și de gestiunea spațiului de stocare din noduri. Aceasta are la bază un buffer de mesaje sortate, în funcție de care se va decide care sunt mesajele cu prioritate la transmitere și care sunt cele cu prioritate la ștergere.

Specificul acestui algoritm constă în obținerea probabilităților de întâlnire ale nodurilor. Astfel, fiecare nod va stoca un vector cu $n - 1$ elemente (unde n reprezintă numărul nodurilor din rețea). În acești vectori, nodurile rețin probabilitățile de a întâlni celelalte noduri. În primă fază se inițializează toate nodurile cu probabilități egale cu $\frac{1}{n-1}$. În momentul în care se întâlnesc două noduri, acestea adaugă o unitate la vechea valoare a probabilității lor de întâlnire, după care se refac probabilitățile de întâlnire și pentru celelalte noduri.

Avem spre exemplu rețeaua din Fig. 1.1, unde considerăm nodul 1 ca fiind nod curent. Acesta va avea un vector care conține probabilitățile de întâlnire ale nodului 1 cu nodurile 2, 3, 4 și 5, care vor avea inițial valorile $\frac{1}{5-1} = 0.25$. Astfel, vectorul nodului 1 va fi de forma: [0.25, 0.25, 0.25, 0.25].

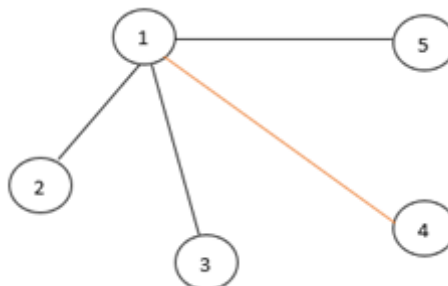


Figura 1.1: Graf cu 5 noduri, cu muchia [1,4] activă [53]

Atunci când se întâlnește nodul 1 cu nodul 4 se va adăuga o unitate la valoarea probabilității întâlnirii celor două noduri, iar vectorul va ajunge astfel: [0.25, 0.25, 1.25, 0.25]. Se vor

reface probabilitățile elementelor astfel încât suma lor să fie egală cu 1, iar vectorul va avea forma aceasta: [0.125, 0.125, 0.625, 0.125]. Dupa ce își recalculează probabilitățile, nodurile schimbă între ele vectorii lor de probabilități. Ideal, toate nodurile vor conține vectorii actualizați ai tuturor celorlalte noduri. Având cei n vectori, fiecare nod poate calcula calea cea mai scurtă a mesajelor către destinație pe baza unei parcurgeri în adâncime, unde dimensiunea drumului indică probabilitatea ca legătura să nu aibă loc.

Dimensiunea drumului va reprezenta astfel însumarea dimensiunilor muchiilor care îl compun. Un nod va face aceste calcule pentru toate mesajele pe care le stochează în buffer.

Funcționalitatea prezentată mai sus reprezintă nucleul algoritmului MaxProp. Există și completări ale acestui nucleu, prezentate în [87]. Un mecanism complementar ar consta în injectarea în rețea a unor mesaje de tip ACK (Acknowledgment în limba engleză), care solicită confirmarea faptului că mesajul a ajuns la destinație. Acest procedeu ajută la eliberarea bufferelor de copii inutile ale mesajelor.

Un alt mecanism complementar este acela de a oferi o prioritate mai mare pachetelor care au avut un număr mic de hopuri până în prezent. Pentru a gestiona bufferul, acesta este împărțit din punct de vedere logic în două părți, delimitate de un prag în funcție de numărul de hopuri. Mesajele care sunt peste pragul predefinit sunt sortate în ordinea descrescătoare a probabilității de a fi livrate, în vederea eliminării lor în caz de umplere a bufferului.

RAPID (provine din acronimul Resource Allocation Protocol for International DTN Routing) și este un algoritm de rutare ce abordează problema alocării resurselor în cazul rutării într-o rețea de tip DTN [5]. Acesta este un algoritm dezvoltat la Universitatea din Massachusetts Amherst și a fost lansat ca parte a proiectului DieselNet. Autorii acestui algoritm au folosit o **funcție utilitate**, căreia i se asociază o valoare notată U_i , pentru fiecare pachet i care se transmite în rețea. Astfel, U_i este contribuția estimativă a pachetului i la îmbunătățirea performanțelor algoritmului. Algoritmul RAPID va replica pachetele în ordinea descrescătoare a progresului valorii utilitate. Astfel vor fi replicate mai întâi pachetele cu cea mai mare îmbunătățire a valorii funcției utilitate.

Funcționalitatea algoritmului RAPID este împărțită în trei componente principale:

1. **Un algoritm de selecție** care identifică ce pachete vor fi replicate atunci când se poate face transfer de date între noduri, în funcție de valorile utilităților pachetelor.
2. **Un algoritm de deducție** care se folosește pentru a estima utilitatea unui pachet, dându-se ca metrici de rutare minimizarea întârzierii medii, minimizarea termenelor de livrare ratate și minimizarea întârzierii maxime.
3. **Un canal de control** care propagă metadatele necesare algoritmului de la punctul 2. Sunt schimbate astfel informații despre pachetele din rețea în momentul conexiunilor.

1.1.3 Gestiunea spațiului de stocare al nodurilor în rețele cu toleranță la întârzieri

Noțiuni introductive

În DTN, selecția nodului următor din ruta mesajului joacă un rol foarte important în performanța rutării. Pe lângă aceasta, politicile eficiente de gestionare a spațiului de stocare

al mesajelor au de asemenea un impact major asupra performanței rutării.

Gestiunea spațiului de stocare al nodurilor este un factor deosebit de important în rețelele cu toleranță la întârzieri datorită spațiului foarte limitat pe care îl au la dispoziție nodurile acestor rețele, dar și pentru că mulți algoritmi de rutare de tip DTN împrăștie în rețea mai multe copii ale mesajelor, favorizând umplerea rapidă a spațiilor de stocare și congestia rețelei.

Prin gestiunea bufferului se înțelege considerarea a două politici distincte:

- politica de planificare a transmiterii mai departe a mesajelor (întâlnită în literatura de specialitate sub denumirea de **Scheduling Policy**), care determină ordinea de livrare a mesajelor către nodurile de contact;
- politica de abandonare a mesajelor (întâlnită în literatura de specialitate sub denumirea de **Dropping Policy**), care determină ordinea eliminării mesajelor din buffer în cazul în care acesta este plin și sosește un nou mesaj.

Atunci când se produce o conexiune între două noduri și unul dintre ele dorește să transmită un mesaj celuilalt, dar spațiul de stocare este insuficient, nodul în cauză trebuie, fie să renunțe la unul sau mai multe mesaje pentru a face loc noului mesaj sosit, fie să refuze noul mesaj sosit. Abordarea acestei probleme este rezolvată de către politicile de gestionare a bufferului.

Principalul scop al gestiunii bufferului este optimizarea următoarelor metrii de performanță ale rețelei:

- **rata livrării mesajelor** - reprezintă raportul dintre numărul mesajelor ajunse la destinație și numărul mesajelor generate de către nodurile sursă
- **întârzierea de transmitere a mesajelor** - este definită ca medie a intervalelor de timp dintre trimitera și recepționarea mesajelor
- **timpul petrecut în buffer de către mesaje** - se definește ca medie a timpilor petrecuți în buffer de către mesajele din sistem
- **supraîncărcarea** - este definită conform următoarei formule [84]:

$$\text{overhead} = \frac{\text{mesaje_transmise} - \text{mesaje_livrate}}{\text{mesaje_livrate}}$$

Chiar dacă rețelele de tip DTN sunt concepute să tolereze întârzieri mari în transmiterea mesajelor, nu trebuie neglijată totuși întârzierea medie de transmitere. Dacă întârzierea este prea mare, există riscul ca mesajele să își piardă relevanța în momentul în care ajung la destinație.

Un alt factor pe care ar putea să îl ia în considerare politicile de gestiune a bufferului este minimizarea consumului de resurse, cum ar fi spațiul de stocare sau lățimea de bandă, prin minimizarea numărului de noduri intermediare pe care le parcurge un mesaj până la destinație.

Multe protocoale de rutare nu au un mecanism de gestionare a spațiului de stocare. Motivul este acela că se presupune că lățimea de bandă are capacitate infinită și nu apar

întreruperi în timpul transmiterii unui mesaj. Aceasta este o presupunere nerealistă conform cu funcționalitatea reală a rețelelor DTN.

Deoarece rețelele DTN conțin dispozitive portabile și senzori, spațiul de stocare și energia limitată reprezintă constrângeri importante. Toate eforturile depuse de către nod pentru a selecta cât mai eficient hopul următor pentru mesaj vor fi risipite dacă bufferul nodului selectat este plin. Astfel de scenarii pot apărea frecvent în rețele dense, cu un trafic ridicat. În literatura de specialitate există o serie de abordări care propun diferite politici de gestiune a bufferelor în scopul optimizării performanțelor unei rețele de tip DTN.

Trecerea în revistă a literaturii de specialitate

În [33], Jain și Chawla au făcut un rezumat al politicilor de gestiune a bufferului existente până în 2012, împreună cu deficiențele și avantajele lor, discutând argumente pro și contra acestora. Astfel, literatura de specialitate propusă este următoarea:

În [16], Davis și coautorii au introdus în 2001 unele dintre cele mai simple și mai cunoscute modele de eliminare a mesajelor din buffer. Scopul acestora a fost creșterea performanței de livrare a mesajelor într-o rețea ad-hoc cu partaționare sporită. Modelele expuse presupun: eliminarea aleatoare a unui mesaj, numită DRA (Drop Random), abandonarea primului mesaj sosit în buffer, numită DLR (Drop Least Recently Received), eliminarea mesajelor care au stat cel mai mult în rețea, numită DOA (Drop Oldest) și eliminarea mesajului cu probabilitatea cea mai mică de livrare, numită DLE (Drop Least Encountered).

Strategia DLR este definită de faptul că un mesaj care a petrecut mai mult timp în buffer are probabilitate ridicată ca una dintre copiile sale să fi întâlnit destinația.

Strategia DOA se bazează pe faptul că mesajul care stă mai mult timp în rețea are o probabilitate mai mare să ajungă la destinație și de aceea este abandonat primul.

Strategia DLE sortează pachetele de date în buffer în funcție de capacitatele estimative a două noduri de a trimite pachetul către destinație. Pentru a calcula capacitatea estimativă, fiecare nod va păstra o listă cu adresele vecinilor altor noduri din rețea. La fiecare interval de timp, nodul A actualizează timpul de întâlnire cu un nod C, ținând cont de nodul vecin B, utilizând următoarea regulă:

$$M_{t+1}(A, C) = \begin{cases} \lambda M_t(A, C), & \text{dacă nu există niciun nod vecin} \\ \lambda M_t(A, C) + 1, & \text{dacă } C = B \\ \lambda M_t(A, C) + \alpha M_t(B, C), & \text{pentru oricare } C \neq B \end{cases}$$

unde $M_t(A, C)$ este valoarea de întâlnire la timpul t , $\alpha = 0.1$ este un parametru care decide ce proporție din valoarea de întâlnire cu B trebuie adăugată la nodul A și $\lambda = 0.95$ este rata de micșorare a valorii de întâlnire. Valoarea $M_t(A, C)$ este inițial 0 pentru toate perechile de noduri.

O altă serie de politici de gestiune a bufferului a fost propusa de Lindgren și Phanse în [45], în anul 2006. Politicile de abandonare de mesaje prezentate sunt:

- FIFO (First In First Out) - este abordarea cea mai simplă, care presupune abandonarea mesajelor în funcție de ordinea în care au sosit în buffer.

- MOFO (Most Forwarded First) - presupune abandonarea mesajelor care au fost transmise de cele mai multe ori de către nodul curent.
- MOPR (Most Favourably Forwarded) - se asociază fiecarui mesaj o metrică numită predictibilitate de transmitere, notată FP (Forwarding Predictability), care este inițializată cu 0. De fiecare dată când un mesaj este trimis unui nod, valoarea FP a aceluiași mesaj se mărește. Mesajele cu valoarea cea mai mare a metricii FP vor fi șterse primele.
- SHLI (Shortest Life First) - se bazează pe conceptul de timp de viață al mesajului și abandonează mai întâi mesajele cu cel mai scurt timp de viață rămas.
- LEPR (Least Probable First) - propune abandonarea mesajelor care au cea mai mică probabilitate de livrare.

Autorii lucrării au demonstrat că MOFO este cel mai bun mecanism de abandonare de mesaje, în scopul creșterii ratei livrării mesajelor în rețea, iar SHLI este cel mai bun mecanism pentru scăderea întârzierii medii de livrare a mesajelor. Aceasta se datorează faptului că MOFO se asigură că fiecare mesaj a fost retransmis cel puțin o dată înainte de a fi abandonat, iar SHLI permite și abandonarea mesajelor care nu au fost transmise niciodată.

Tot în [45] au fost prezentate și o serie de strategii de transmitere a mesajelor: GRTR, GRTRSort și GRTRMax. Strategia GRTR vine cu o ușoară modificare a strategiei de rutare din algoritm PRoPHET, prin care, nodul A transmite nodului B un mesaj cu destinația D doar dacă $P(B, D) > P(A, D)$, unde $P(i, j)$ reprezintă probabilitatea de livrare dintre două noduri i și j . Strategia GRTRSort selectează mesajele în ordinea descrescătoare a valorii $P(B, D) - P(A, D)$ și le transmite mai departe doar dacă $P(B, D) > P(A, D)$. Politica GRTRMax sortează mesajele în ordine descrescătoare a valorii $P(B, D)$ și după aceea le redirecționează dacă $P(B, D) > P(A, D)$.

Simularile prezentate în [45] au demonstrat că GRTRSort în combinație cu MOFO au cel mai mare procent de livrare a mesajelor.

În [60] a fost propusă o schemă de gestiune a bufferului care consideră o topologie de rețea numită Politica de Rutare Epidemică Prioritizată (PREP). Această politică sortează mesajele în buffer atât pentru transmisie cât și pentru abandonare. PREP este compus din două mecanisme:

- o metodă care estimează costul de rutare de la un nod dat la nodul destinație
- un mecanism de prioritizare pentru transmiterea și ștergerea mesajelor

Pentru a șterge mesaje din buffer, sunt selectate mesajele care au parcurs un număr de hopuri mai mare decât un prag predefinit. Mesajele care se găsesc cel mai departe de nodul destinație (au costul drumului de la nodul curent la nodul destinație cel mai ridicat) sunt șterse primele.

Pentru a trimite mesaje, un nod va calcula costul de la nodul de contact până la nodul destinație al mesajelor. Dacă se obține un cost mai mic decât al său, atunci mesajul este poziționat în secțiunea din fața bufferului. În caz contrar, acesta este poziționat în secțiunea de la capătul bufferului. Mesajele din capătul bufferului vor fi sortate în funcție de timpul de viață rămas.

În 2008, Krifa și coautorii au propus în [38] o politică optimă atât pentru planificarea transmiterii mesajelor cât și pentru eliminarea acestora, pe baza cunoștințelor globale, numită GBD (Global Knowledge Based Drop).

Algoritmul este unul distribuit, care utilizează învățarea statistică pentru a aproxima cunoștințele globale necesare politicii de gestiune. Astfel, GBD calculează o funcție utilitate pentru fiecare metrică de rutare asociată fiecărui mesaj, eliminând mesajele care au cea mai mică valoare pentru funcțiile utilitate asociate metricilor. Aceste funcții iau în calcul numărul de noduri care au avut o copie a mesajului, dar și numărul de noduri care dețin în prezent o copie a mesajului. Timpul de întâlnire dintre noduri se consideră a fi exponential distribuit.

Cu toate că această politică oferă un cadru optim de lucru, se bazează pe ipoteza că mișcarea nodurilor este cunoscută în rețea, lățimea de bandă este nelimitată și toate mesajele au aceeași dimensiune. Însă o astfel de situație este destul de rar întâlnită într-o rețea de tip DTN.

Datorită presupunerilor nerealiste din [38], Li și Qian au propus în [41] un nou set de politici optime pentru gestiunea bufferului, adaptate mediilor de rețea de tip DTN, numit AOBMP (Adaptive Optimal Buffer Management Policies). Aceștia au presupus că atât lățimea de bandă cât și capabilitățile conexiunilor dintre noduri sunt limitate, iar dimensiunile mesajelor sunt diferite.

Protocolul AOBMP constă în trei pași:

1. inițializarea - constă în schimbul de metadate între două noduri și actualizarea oportunității de transmitere a mesajului, precum și a parametrilor referitor la modelul de mobilitate.
2. calculul funcției utilitate - calculează valoarea acestei funcții, asociată mesajelor din nodul i .
3. eliminarea mesajelor - elimină mesajele care îndeplinesc condițiile funcției utilitate asociate metricii.

Metricile considerate în [41] vor fi rata medie de livrare a mesajelor și întârzierea medie de transmisie. Mai mult decât atât, AOBMP se adaptează la modelul de mobilitate al nodurilor cu ajutorul informațiilor schimbate prin canalul de control.

În [42] a fost propusă strategia de rutare numită N-drop care controlează congestia în cadrul rutării de tip epidemic dintr-o rețea DTN. Această strategie previne congestia bufferului prin faptul că fiecare nod ține evidența numărului total de transmisii ale mesajelor. Fiecare nod va calcula un prag N care este în conformitate cu spațiul de stocare al bufferului său. Mesajul cu numărul de transmisii mai mare sau egal cu pragul N va fi abandonat. Dacă toate mesajele din buffer au numărul de transmisii mai mic decât N , atunci va fi abandonat ultimul mesaj sosit în buffer.

Soares și coautorii au analizat în lucrarea [72] din 2010 performanțele diverselor politici de planificare a transmiterii mesajelor și de abandonare a acestora, precum și îmbinarea celor două abordări, cu scopul de a evidenția efectul gestiunii spațiului de stocare într-o rețea vehiculară, cu toleranță la întârzieri (Vehicular Delay Tolerant Network – VDTN). Politicile abordate au fost: FIFO, modul aleator, timpul de viață rămas (Remaining Lifetime - RL) și replicarea copiilor (Replicated Copies - RCs).

Simularile efectuate au arătat că cele mai bune performanțe s-au obținut folosind o politică ce combină politicile de transmitere și de abandonare a mesajelor, oferind o prioritate mai mare mesajelor cu un număr mai mic de copii. Această analiză a demonstrat că într-o rețea DTN, importanța cea mai mare trebuie oferită mesajelor nou create, deoarece acestea încă nu au fost răspândite prea mult în rețea.

Ke, Nenghai și Bin au propus în [35] o nouă metodă de gestiune a bufferului pentru rețelele de tip DTN. Metoda aceasta calculează utilitatea unui mesaj în funcție de cât de mare este probabilitatea livrării lui la destinație. Fiecare pachet din buffer îi este asociat un cost notat cu W_i , unde i reprezintă un nod. Costul mesajului este compus din două părți: prima parte ia în considerare posibilitatea ca nodul să ajungă la destinație într-un singur pas, iar a doua parte ia în considerare faptul că mesajul trebuie transmis unor noduri intermedii.

Astfel, prima parte a costului mesajului ține cont de timpul scurs până când cele două noduri intră în zona de contact, precum și de timpii de viață rămași ai mesajelor. Cea de-a doua parte ține cont de informațiile cu privire la numărul de copii ale mesajului. Pentru această informație, fiecare nod înregistrează numărul de copii al fiecărui mesaj m_i pe care l-a creat. La fiecare conexiune, nodurile actualizează numărul de copii ale mesajelor. Atunci când bufferul unui nod este plin, este abandonat pachetul de date cu cel mai mic cost.

În [7], Bjurefors și coautorii au propus o politică de abandonare a mesajelor care a fost evaluată în proiectul Hagggle. Acesta reprezintă o rețea cu o arhitectură centrată pe date, bazată pe un model de publicare și subscriere. Strategiile prezentate sunt: cel mai puțin interesant mesaj (LI), cel mai interesant mesaj (MI), replicări max-max, cel mai transmis mesaj (MF), cel mai puțin transmis mesaj (LF) și abandonarea aleatorie.

- Strategia LI abandonează mesajul de care sunt interesați cei mai puțini vecini. O astfel de metodă crește rata medie a livrării mesajelor într-o rețea centralată pe date, deoarece interesul global al rețelei continuă să crească. În această situație, mesajele de care nu sunt interesante nodurile vor ajunge să expire și pot fi abandonate.
- Strategia MI acționează opus față de strategia LI prin abandonarea mesajelor de care sunt interesați cei mai mulți vecini. Logica din spate se bazează pe reducerea numărului de copii ale mesajelor pe care le caută cele mai multe noduri.
- Strategia max-max presupune eliminarea pachetelor care au ajuns la un prag maxim de copii. Acest lucru limitează copierea excesivă a mesajelor.
- Strategia MF abandonează mesajele care au cel mai mare număr de copii. Mesajul care a fost replicat de cele mai multe ori a ajuns deja în multe noduri și are șanse mari de a ajunge la destinație, putând fi abandonat primul.
- Strategia LF acționează opus față de strategia MF, prin abandonarea mesajului care are numărul cel mai mic de replici.

Simularile efectuate au demonstrat că strategia MF este cea mai bună în ceea ce privește optimizarea ratei livrării mesajelor, a întârzierii medii de transmitere și a supraîncărcării bufferului.

Lucrările [3],[61],[62],[63] au oferit o viziune nouă gestiunii bufferului, deoarece nu au mai luat în considerare timpul de viață și numărul de copii ale mesajului, ci a fost introdus un nou parametru: dimensiunea mesajului. În [61] se prezintă situația în care se elimină din buffer

cel mai mare mesaj. Este sacrificat mesajul cel mai mare pentru a se evita abandonarea mai multor mesaje de dimensiuni mici. În [3], metoda T-drop presupune eliminarea mesajului a cărui dimensiune se află sub un prag T al bufferului. În [62], metoda E-drop presupune eliminarea unui mesaj cu aceeași dimensiune cu mesajul nou sosit, avantajul fiind acela că se elimină un singur mesaj. În [63], politica Mean-drop calculează media dimensiunii mesajelor din bufferul congestionat și elimină acele mesaje care au dimensiunea cel puțin egală cu dimensiunea medie.

Abordarea propusă în [22] este aceea de a lua în calcul prioritățile mesajului atât pentru planificarea transmiterii acestuia, cât și pentru eliminarea lui din buffer în caz de supraîncărcare. Se oferă în acest sens trei clase de priorități mesajelor: **în masă** (bulk), **normal** și **de expediat**. În momentul apariției unei oportunități de conectare între noduri, mesajele trimise în masă au prioritatea cea mai mică, iar cele de expediat au prioritatea cea mai mare. Atunci când sosește în nod un mesaj nou, clasificatorul de mesaje îl stochează în coada potrivită, în funcție de clasa căreia îi aparține acel mesaj. În momentul unei conexiuni este apelat mai întâi planificatorul de mesaje, pentru a organiza pachetele pentru redirecționare, și apoi eliminitorul de mesaje, care va elmina mesajul cu prioritatea mai mare dintre acele care au prioritățile în masă și normal. Politica propusă are grijă ca nodul să nu eliminate niciodată un mesaj care a fost creat de el însuși.

În [46] a fost propus un sistem care lucrează cu două proprietăți principale ale mesajelor: numărul de copii din rețea și viteza de diseminare.

Mesajele cu numărul cel mai mic de replici vor primi prioritățile cele mai mari pentru a fi livrate. Pe de altă parte, atunci când trebuie să fie eliminat un mesaj, va fi selectat acela cu prioritatea cea mai mică, cu cel mai mare număr de replici. Dacă toate mesajele din buffer au același număr de replici, atunci se va folosi ca și condiție suplimentară viteza de diseminare a mesajului. Viteza de diseminare se calculează ca fiind raportul dintre numărul de hopuri pe care le-a avut mesajul până în prezent și timpul petrecut în sistem de către acesta. Mesajele cu cea mai mare viteză de diseminare sunt abandonate primele în cazul în care bufferul devine supraîncărcat.

Abordarea propusă în [46] oferă performanțe bune pentru rata livrării mesajelor și întârzierea de livrare, evidențiind importanța numărului de copii din rețea al mesajelor.

Shin și Kim au propus în [68] o politică de gestiune a bufferului bazată pe următoarele proprietăți ale mesajelor: numărul estimativ de replici, vârsta și timpul de viață al mesajului.

Primul pas important în gestionarea bufferului este acela de a cunoaște numărul de replici din rețea ale mesajului. Pentru a estima acest număr, au fost introduse două variabile: estimarea numărului total de replici (ETRs - Estimated Total Replicas) și replicile furnizate de către nodul curent (MF - My Forward).

În [77], Tang și coautorii au propus în 2012 o politică de gestiune a bufferelor, care utilizează conceptul de frecvență medie a contactelor dintre noduri (ACF – Average Contact Frequency). Frecvența medie a contactelor, notată f_{ij} , este definită ca fiind numărul de întâlniri dintre nodul i și nodul j , în unitatea de timp.

Atunci când se întâlnesc două noduri, acestea schimbă între ele acele mesaje pe care nu le detin, bazându-se pe următorul principiu, care are loc în două faze:

- în primul rând sunt transmise mesajele destinate nodului întâlnit, în ordinea descreșătoare a timpului de creare al mesajelor;

- alte mesaje care îndeplinesc condiția de replicare sunt transmise nodului întâlnit în ordinea descrescătoare a valorii lui ACF.

De asemenea este utilizată și o politică de abandonare a mesajelor bazată pe numărul de copii ale mesajului, care se calculează prin numărarea hopurilor parcuse până în prezent. Astfel, mesajul cu cele mai multe replici este abandonat atunci când bufferul este plin.

1.2 Simulatorul ONE

În secțiunea aceasta este prezentată o scurtă descriere a principalului instrument de simulare utilizat în lucrare. Este prezentat astfel simulatorul ONE [36] împreună cu unele dintre funcționalitățile sale. Se va putea observa o imagine de ansamblu asupra protocolelor de rutare implementate de către simulator și asupra scenariilor de lucru oferite de acesta.

1.2.1 Informații generale

ONE este acronimul de la Opportunistic Network Environment și este un produs cu sursă deschisă, dezvoltat în limbajul Java, care se poate descărca și studia conform materialelor oferite de către Community Resource for Archiving Wireless Data At Dartmouth (CRAWDAD) [89],[90]. ONE este un motor de simulare bazat pe evenimente discrete. La fiecare etapă a simulării, motorul actualizează o serie de module care descriu principalele funcționalități ale sale.

Acesta este un instrument creat pentru a permite definirea și simularea activității unei rețele de tip DTN. Funcționalitățile sale principale includ posibilitatea definirii unui mediu și a unui scenariu de simulare. Mediul de simulare este inspirat din realitate și este reprezentat sub formă de graf. Acesta oferă posibilitatea definirii mișcării nodurilor și a contactelor dintre ele. Scenariile de simulare pot include configurarea mesajelor și a modalității lor de transmitere. Acest instrument de simulare este unul ușor de utilizat și de configurat, utilizatorul având la dispoziție un fișier text cu specificațiile generale ale unei simulări.

Simulatorul ONE oferă de asemenea o hartă pe care se pot deplasa nodurile. Harta implicită este cea a orașului Helsinki, dar utilizatorul poate încărca în aplicație propria hartă.

Deplasarea nodurilor utilizează modele de mișcare sintetice, așa cum sunt cele aleatoare, sau bazate pe traiectorii inspirate din realitate, cum ar fi modelele de deplasare ale tramvaielor. Conexiunile nodurilor se bazează pe locația acestora, pe raza lor de acțiune și pe capacitatea de transfer asociată acestor conexiuni. Modulul de rutare are implementate mai multe protocoale de bază, utilizate de către rețelele de tip DTN. Mesajele se generează aleatoriu, cu ajutorul unui generator de evenimente. După ce se efectuează simularea, ONE colectează datele obținute și metricile de performanță ale sistemului și le ilustrează în fisiere de raportare, create cu ajutorul modulului de rapoarte. Datele obținute astfel pot fi preluate și transformate cu alte instrumente destinate generării de grafice și rapoarte. Interfața grafică a simulatorului oferă o vizualizare a stării în care se găsește simularea, incluzând locația nodurilor, contactele active, mesajele transportate și timpul simulării [36].

Simulatorul oferă posibilitatea de a adăuga un nou model de deplasare pentru noduri, o nouă modalitate de rutare a mesajelor sau un raport nou, conform cu cerințele concrete ale sistemului care se dorește a fi simulat.

1.2.2 Funcționalitatea și configurarea simulatorului ONE

În această secțiune este prezentată o scurtă descriere a simulatorului și modalitatea de configurare a acestuia, pe baza parametrilor săi. Majoritatea informațiilor sunt conform cu prezentările făcute de către autorii care au dezvoltat această platformă de simulare, în [36],[37].

Nodurile și funcțiile acestora

Având în vedere că rețeaua de tip DTN se poate reprezenta sub formă de graf, același lucru îl realizează și instrumentul de față. Nodurile sale sunt de mai multe tipuri: pietoni, mașini, autobuze sau tramvaie. Toate categoriile de noduri au în comun acțiunea de a se comporta ca un ruter care primește, stochează, transportă și transmite mai departe mesaje. Modalitatea de deplasare a acestor categorii de noduri este însă diferită, acestea putând avea și trasee distințe. Conform cu [36], printre parametrii configurați ai nodurilor se află: raza de acțiune, capacitatea de stocare, rata de transfer a datelor, viteza de transmisie, modalitatea de mișcare, consumul de energie și protocolul de rutare folosit. Pentru raza de acțiune, viteza de transmisie și rata de transfer a datelor se folosesc o interfață a undelor radio, realizată prin clasa *NetworkInterface* din pachetul *core* al aplicației.

Funcționalitățile mai complexe ale nodurilor, cum ar fi deplasarea sau rutarea, sunt implementate în module separate, de unde există acces la poziția geografică a nodurilor.

În ceea ce privește consumul de energie, fiecare nod are alocată o cantitate de energie care este consumată de către evenimente precum scanarea rețelei sau transmisia de date. Cantitatea de energie este refăcută prin încărcarea la anumite locații [36].

Modele de mobilitate

Simulatorul ONE oferă mai multe modele de mobilitate pentru noduri. Acestea sunt constrânsă de poziționarea lor pe hartă și de determinarea unor drumuri între două puncte ale hărții. Avem astfel trei modele de mobilitate:

- aleatoare - specificată în clasa *RandomWaypoint*
- bazată pe hartă - specificată în clasa *MapBasedMovement*
- bazată pe drumul minim - specificată în clasa *ShortestPathMapBasedMovement*

Toate aceste clase sunt derive din clasa abstractă *MovementModel* și se găsesc în pachetul *movement* al aplicației. În clasa *MovementModel* sunt definite viteza de deplasare, timpul de așteptare între două drumuri și tipul de deplasare.

Modelul aleator al deplasării nodurilor este cel mai simplu și se bazează pe generarea unei noi coordonate unde să fie plasat nodul.

Un model mai realist este acela al deplasării pe hartă. Harta acceptată de către simulator este un fișier în format WKT (Well Known Text), care se folosește adesea în diverse programe care utilizează hărți. Acest model presupune aranjarea nodurilor aleator pe hartă la începutul simulării. După aceea, nodurile se deplasează pe segmente de drum consecutive, până ce ajung la capătul drumului sau într-o intersecție. Atunci când un nod a ajuns într-o

intersecție, selectează aleatoriu o direcție de parcurs, fără a se întoarce înapoi pe direcția de unde a venit.

O variantă îmbunătățită a celei prezentate mai sus este cea bazată pe drumul cel mai scurt. Se alege o destinație aleatoare pentru fiecare nod din sistem. Nodul se deplasează pe segmente consecutive de drum până la acea destinație, folosind algoritmul de drum minim al lui Dijkstra [18]. După ce ajunge la destinație, nodul așteaptă un timp și selectează o altă destinație.

Dacă se dorește definirea unui nou model de deplasare, se poate crea o nouă clasă care va extinde *MapBasedMovement*. În această clasă, în metoda *getInitialLocation* se vor stabili pozițiile de început ale nodurilor, iar în metoda *getPath* se va stabili drumul pe care vor merge nodurile.

Rutarea

Dacă modelele de mobilitate decid unde trebuie să se deplaseze nodurile, modelele de rutare decid unde trebuie transmise mesajele. Dezvoltatorii simulatorului au ales să implementeze atât algoritmi care transmit o singură copie a mesajului în rețea, cum sunt Direct Delivery și First Contact, cât și algoritmi care să împrăștie mai multe copii ale mesajelor în rețea, cum sunt Epidemic, Spray and Wait, PRoPHET și MaxProp. Acești algoritmi au fost prezențați în subcapitolul precedent.

Fiecare algoritm de rutare se găsește în propria sa clasă. Clasele aferente algoritmilor derivă din clasa abstractă *ActiveRouter*, care la rândul ei, derivă din clasa abstractă *MessageRouter*. Aceste clase au metode ce permit: verificarea conexiunii, transferul de mesaje, abandonarea de mesaje, sortarea cozii de mesaje, verificarea posibilității de transfer a mesajelor etc. Fiecare algoritm de rutare suprascrie aceste metode și le oferă implementare în funcție de cerințele propriei.

Dacă se dorește crearea propriului algoritm de rutare se va crea o nouă clasă care să extindă clasa *ActiveRouter* și care să suprascrie convenabil metoda *messageTransferred*. Dacă se dorește implementarea unei politici de eliminare a mesajelor din buffer se va suprascrie metoda *getNextMessageToRemove*. Clasele aferente modulului de rutare se găsesc în pachetul *routing*.

Raportarea rezultatelor

Simulatorul ONE face posibilă vizualizarea în două moduri a rezultatelor simulării:

- o modalitate este cea vizuală, care permite afișarea stării sistemului la fiecare pas al simulării
- o altă modalitate este cea bazată pe fișiere text, în care sunt depuse rezultatele finale ale simulării

După cum se poate observa în Fig. 1.2, afișarea în timp real a rezultatelor prezintă: poziționarea nodurilor pe hartă, conexiunile dintre noduri, încărcarea bufferului nodurilor, raza de acțiune a nodurilor, declanșarea evenimentelor de generare, de ștergere, de transmitere a unui mesaj etc.

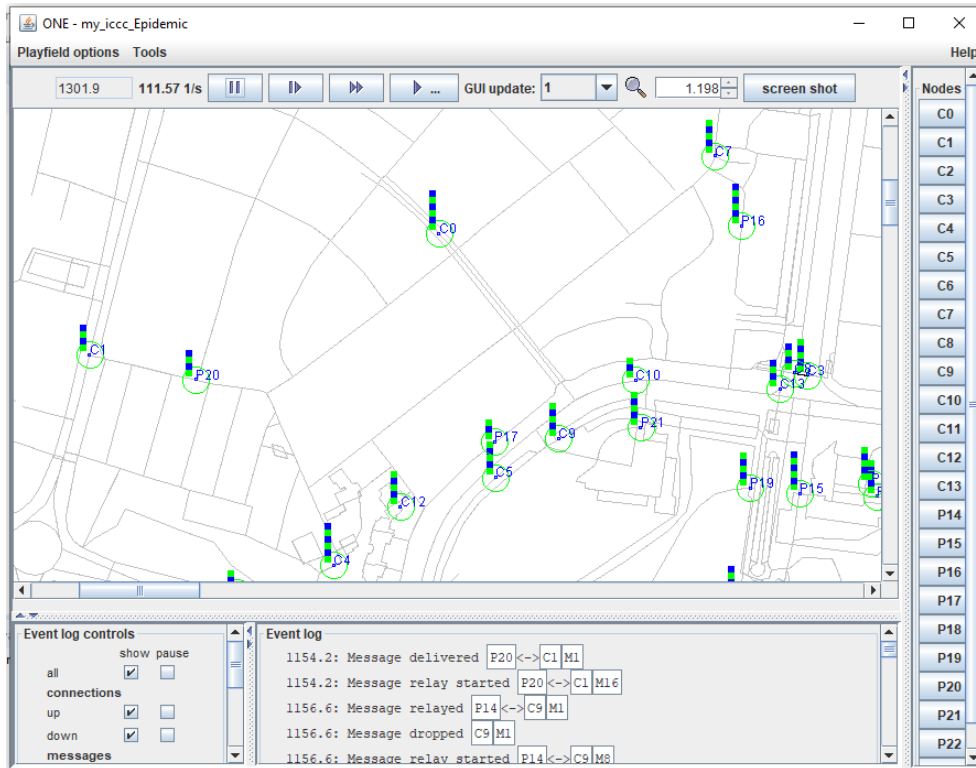


Figura 1.2: Interfața grafică a simulatorului ONE

Cea mai importantă modalitate de raportare este însă cea bazată pe fișiere. Clasele care generează aceste rapoarte se găsesc în pachetul *report* al aplicației. Modulul care se ocupă de rapoarte permite salvarea de informații despre conexiuni, mesaje și evenimente de mișcare. Atunci când se declanșează astfel de evenimente pe parcursul simulării, se apelează metodele aferente, care efectuează înregistrarea datelor în rapoarte. Fiecare raport este implementat în câte o clasă care derivă din clasa abstractă *Report*.

Dintre clasele specializate de rapoarte amintim câteva mai importante:

- *MessageStatsReport* - permite generarea unui fișier cu informații generale despre numărul de mesaje create, transmise, abandonate, livrate, despre rata livrării mesajelor, despre numărul mediu de hopuri parcuse de mesaje, despre întârzierea medie de livrare, despre timpul mediu petrecut în buffer de către mesaje etc.
- *DeliveredMessagesReport* - permite afișarea informațiilor despre mesajele care au fost livrate destinației: timpul de creare al mesajului, dimensiunea, numărul de hopuri parcuse, calea pe care a străbătut-o, timpul în care a ajuns la destinație etc.
- *MessageGraphvizReport* - afișează toate drumurile de la sursă la destinație, parcuse de mesaje.
- *AdjacencyGraphvizReport* - afișează toate conexiunile nodurilor.

Simulatorul include în modulul de raportare și fișiere cu date compatibile cu Graphviz [91], aşa cum sunt *MessageGraphvizReport* și *AdjacencyGraphvizReport*, amintite mai sus.

1.2.3 Parametrii care definesc un scenariu

Scenariul se definește prin modificarea caracteristicilor specificate în fișierul de configurare. Simulatorul are un fișier implicit de simulare, numit *default_settings.txt*, dar se pot crea propriile fișiere de simulare. Acestea vor conține:

- informații despre scenariul simulării: un nume, timpul de simulare, intervalul de timp după care să se facă afișarea stării curente a simulării etc.
- informații cu privire la interfața de conectare: tipul interfeței, viteza de transmisie, raza de acțiune etc.
- informații despre grupurile de noduri (vor exista configurații comune și configurații specifice fiecărui grup): modelul de deplasare, algoritmul de rutare folosit, harta pe care se face deplasarea, numărul de noduri ale grupului, viteza de deplasare, timpul de viață al mesajelor generate de nodurile din grup etc.
- informații privitoare la mesaje: generatorul folosit, intervalul de timp după care se generează mesajele, dimensiunea etc.
- informații privitoare la modelul de deplasare: dimensiunea hărții, intervalul de timp după care începe contorizarea rezultatelor simulării pentru raportare (se oferă un timp de încălzire, pentru a se crea legăturile dintre noduri), fișierele care conțin hărțile pe care se face simularea etc.
- informații despre rapoarte: numărul rapoartelor, locația unde să fie salvate fișierele cu rapoarte, denumirea rapoartelor care se salvează etc.
- informații despre interfață grafică: imaginea hărții, decalajul în pixeli, scalarea, rotirea etc.

Capitolul 2

Algoritmi de simulare în teoria așteptării

2.1 Noțiuni fundamentale în teoria așteptării

2.1.1 Noțiuni preliminarii

În acest capitol este prezentată o bază teoretică pentru modelul de așteptare propus pentru a defini rețeaua DTN. În domeniul teoriei așteptării există o terminologie specifică. Vom vorbi astfel despre:

- clienți - sunt cei care intră în sistem pentru a fi servuți. Clienții pot sosi pe rând sau în loturi.
- populație - este sursa de potențiali clienți, care poate fi una finită sau una infinită.
- server - este reprezentat de o stație de servire, care va rezolva cererile clientilor.
- coada de așteptare - coada la care se vor așeza clienții în așteptarea servirii.
- orbită - este o structură ce conține clienții care au găsit serverul ocupat, coada plină și doresc să revină pentru a fi servuți. Această structură apare în anumite sisteme de așteptare mai complexe.
- timpii inter-sosiri - sunt timpii scurzi între două sosiri consecutive de clienți.
- timpii de servire - sunt perioadele de timp alocate servirii clientilor.
- disciplina așteptării - este reprezentată de ordinea de servire a clientilor din coadă.

Timpii inter-sosiri și cei de servire pot avea diferite tipuri de repartiție. Principalele tipuri de repartiție sunt: Poisson (notată cu M de la proprietatea Markoviană a "lipsei memoriei"), k -Erlang (notată cu E_k), generală (notată cu G), deterministă (notată cu D) și repartiția exponențial negativă. Repartiția timpilor inter-sosiri este de parametru λ , cu $\lambda > 0$, iar repartiția timpilor de servire este de parametru μ , cu $\mu > 0$. Acești parametri mai sunt cunoscuți și sub denumirea de *rata sosirilor*, respectiv *rata servirilor*. Aceste informații se pot regăsi în [28].

Cea mai cunoscută notație pentru diferențele tipuri de modele de aşteptare este cea a lui Kendall. Notația este de tipul: A/B/c/K/m/Z și reprezintă:

- A - tipul de repartiție a sosirilor
- B - tipul de repartitie a timpului de servire
- c - numărul de stații de servire
- K - capacitatea maximă a sistemului de aşteptare (dimensiunea maximă a cozii de aşteptare)
- m - mărimea / dimensiunea populației
- Z - tipul de disciplină a cozii (politica de gestiune a cozii de aşteptare)

În general, într-un sistem de aşteptare, un client care intră în sistem și găsește serverul liber va fi servit imediat. Dacă noul client găsește serverul ocupat, se va așeza la coadă. În multe cazuri, cozile atașate serverelor au dimensiuni limitate. Astfel că există posibilitatea ca noul client să găsească serverul ocupat și coada plină. În acest context, el decide dacă părăsește definitiv sistemul sau intră pe orbită (dacă sistemul are prevăzută o astfel de structură). Clientii de pe orbită nu au acces la starea internă a sistemului, ci vor interoga periodic serverul pentru a afla dacă s-a eliberat. În cazul în care serverul s-a eliberat, clientul va fi servit, iar dacă nu este liber, clientul revine pe orbită. Această abordare este întâlnită în lucrările [23],[24],[25], ale căror rezultate aparțin parțial autoarei tezei.

Sistemele de aşteptare sunt clasificate, în funcție de numărul serverelor, în sisteme cu un singur server și sisteme cu servere multiple. În funcție de prezență sau absența orbitei, putem avea sisteme de aşteptare fără revenire (cele clasice, fără orbită) și sisteme de aşteptare cu revenire.

Principaliii factori de eficiență ai unui sistem de aşteptare, conform definițiilor și notațiilor din lucrarea [28], sunt:

- L - numărul mediu de clienți din sistem
- L_q - numărul mediu de clienți din coadă
- W - timpul mediu petrecut de clienți în sistem
- W_q - timpul mediu petrecut de clienți la coadă

În lucrarea [23] sunt considerați și următorii factori de eficiență:

- MTO_{Orb} - timpul mediu petrecut de clienți pe orbită
- $Clen$ - rata de inactivitate a serverului

Sistemele de aşteptare pot fi studiate analitic sau prin algoritmi de simulare. Folosind metode matematice de calcul, factorii de eficiență ai unui sistem de aşteptare pot fi determinați doar pentru cazuri particulare. Prin metoda simulării, pot fi studiate sisteme mai complexe, unde formulele matematice nu se pot aplica.

Exemple de utilizare pentru sistemele de așteptare

Exemplul 1 - Sistem de telefonie. O persoană care sună la un telefon ocupat, va reveni cu apelul cu o anumită probabilitate sau va renunța la apel cu o probabilitate complementară. Dacă mai mulți apelanți ai aceluiași număr de telefon găsesc numărul ocupat, pot fi plasați pe orbită, pentru a reveni mai târziu.

Exemplul 2 - Un magazin cu o singură casă de marcat. Un client care găsește o coadă mare la casa de marcat poate alege între a se întoarce după un anumit timp (plasare pe orbită) cu o anumită probabilitate sau va renunța la cumpărături și va părăsi magazinul (sistemul de așteptare).

Exemplul 3 - Rețeaua Ethernet. În contextul metodei CSMA/CD, fiecare gazdă din rețeaua de comunicații poate fi considerată un client al sistemului de așteptare, iar serverul este mediul de comunicare. Când o gazdă vrea să trimită un mesaj, poate să facă acest lucru doar atunci când mediul este liber. În caz contrar, va trebui să revină după un anumit timp. Mai multe gaze din rețea pot fi în această situație, plasându-se pe orbită.

Exemplul 4 - Rețeaua DTN. În contextul unei rețele cu toleranță la întârzieri, fiecare nod poate fi considerat un sistem de așteptare individual. Mesajele din bufferul nodului reprezintă clienții, iar sistemul de gestiune al bufferului reprezintă serverul. În momentul conexiunii cu un nod vecin, transmiterea mesajelor către acesta semnifică servirea clienților, iar abandonarea mesajelor reprezintă părăsirea sistemului de așteptare.

2.1.2 Modele de așteptare. Abordare analitică

În literatura de specialitate se întâlnesc mai multe modele de așteptare. Unele dintre acestea sunt potrivite sistemelor de așteptare cu un singur server, iar altele sunt potrivite sistemelor de așteptare cu mai multe servere. În lucrarea de față vor fi abordate doar modele de așteptare pentru sisteme cu un singur server, mai exact modelul M/G/1, bazat pe cozi de priorități. Astfel, fiecare nod din rețeaua DTN va fi reprezentat printr-un sistem de așteptare cu o singură stație de servire. Se va studia aşadar comportamentul rețelei pe termen lung, pentru a putea determina starea de echilibru a acesteia.

Principalele modele de așteptare cu un singur server sunt:

- M/M/1 - este un sistem de așteptare în care, atât repartitia timpilor inter-sosiri, cât și cea a timpilor de servire este una Markoviană, reprezentată printr-un proces Poisson, cu timpii independenți și identici repartizați exponențial.
- M/G/1 - este un sistem de așteptare cu repartitia sosirilor reprezentată printr-un proces Poisson, iar servirile au o repartiție arbitrară generală.
- G/G/1 - este un sistem de așteptare în care, atât repartitia timpilor inter-sosiri, cât și cea a timpilor de servire este una generală.
- D/G/1 - este un sistem de așteptare cu repartitia deterministă, cu intervale constante, pentru timpii inter-sosiri și repartitia arbitrară generală pentru timpii de servire.

Mai multe amănunte legate de aceste modele se pot găsi în [28].

În Fig. 2.1 se poate observa imaginea de bază a unui sistem de aşteptare cu un singur server, cu repartitia timpului inter-sosiri de parametru λ , iar repartitia timpului servirilor de parametru μ .

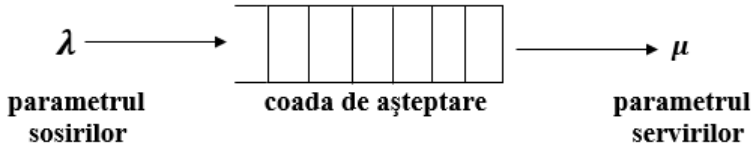


Figura 2.1: Sistem de aşteptare cu un singur server, rata sosirilor λ și a servirilor μ

Modelul M/G/1

De cele mai multe ori, repartitia de tip Poisson a sosirilor într-un sistem de aşteptare este una destul de realistă, dar timpii exponențiali de servire nu sunt foarte frecvenți în practică.

În [88] se consideră că spațiul stărilor este $\{0, 1, 2, 3, \dots\}$, cu valori corespunzătoare numărului de clienți din coadă (inclusiv clientul care este servit), atunci putem spune că:

- tranziția din starea i în starea $i + 1$ reprezintă sosirea unui nou client în sistem.
- tranziția din starea i în starea $i - 1$ reprezintă servirea unui client.

Timpii inter-sosiri vor avea distribuție exponențială de tip Poisson, de parametru λ , iar timpii de servire vor avea o distribuție generală, de parametru μ . Lungimile intervalelor de timp sunt variabile aleatoare care se presupune că sunt independente statistic.

Mai multe detalii legate de acest model de aşteptare se găsesc în [2],[39],[82].

Pentru a studia analitic un model M/G/1, avem nevoie de câteva notații și formule.

Se consideră următoarele notații:

- λ este rata medie a sosirilor
- μ este rata medie a servirilor
- $\frac{1}{\lambda}$ este media timpilor de sosire
- $\frac{1}{\mu}$ este timpul mediu de servire
- $\sigma = \frac{1}{\mu^2}$ este deviația standard a timpului de servire
- $\rho = \frac{\lambda}{\mu}$ este timpul mediu de funcționare al serverului
- p_i este probabilitatea să se afle i clienți în sistem în starea de echilibru
- p_0 este probabilitatea să nu se găsească niciun client în sistem, iar serverul să fie liber

Cu ajutorul acestor notații vom exprima conform cu [28] formulele de calcul aferente factorilor de eficiență ai sistemului, și anume:

$$p_0 = 1 - \frac{\lambda}{\mu} = 1 - \rho \quad (2.1)$$

Numărul mediu de clienți care așteaptă la coadă:

$$L_q = \frac{\lambda^2 \sigma^2 + \rho^2}{2(1 - \rho)} \quad (2.2)$$

Numărul mediu de clienți care așteapta în sistem:

$$L = L_q + \rho \quad (2.3)$$

Pentru a calcula timpii medii de așteptare la coadă și respectiv în sistem de către clienți, avem nevoie de formulele lui Little, și anume:

$$L_q = \lambda W_q \quad (2.4)$$

și

$$L = \lambda W \quad (2.5)$$

Timpul mediu de așteptare la coadă al clientilor, în funcție de numărul mediu de clienți din coadă:

$$(2.4) \Rightarrow W_q = \frac{L_q}{\lambda} \quad (2.6)$$

Timpul mediu petrecut de către clienți în sistem, în funcție de timpul mediu petrecut la coadă:

$$(2.5) \Rightarrow W = \frac{L}{\lambda} = \frac{L_q + \rho}{\lambda} = \frac{L_q}{\lambda} + \frac{1}{\mu} = W_q + \frac{1}{\mu} \quad (2.7)$$

Modelul M/G/1 a fost extins în [6] folosind timpul rezidual de servire. Autorii au demonstrat că acest nou concept este util sistemelor care utilizează cozi de priorități sau sistemelor de rezervare, în care o parte din timpul de servire este ocupat cu trimitera pachetelor de date, iar cealaltă parte cu trimitera informațiilor de control.

Timpul de servire rezidual pentru cel de-al i -lea client a fost notat cu R_i . Prin aceasta se înțelege faptul că dacă un client j este în curs de servire în momentul în care sosesc clientul i , R_i reprezintă timpul rămas până când se termină servirea clientului j . Dacă nu există clienti în sistem în momentul în care sosesc clientul i , atunci valoarea lui R_i este 0.

Timpul mediu de servire se notează cu \bar{X} , iar timpul următoarei serviri cu \bar{X}^2 . În aceste condiții formula lui Pollaczek-Khinchin va deveni:

$$W_q = \frac{\lambda \bar{X}^2}{2(1 - \rho)} \quad (2.8)$$

Pe baza formulei lui Pollaczek-Khinchin vom deduce timpul total de așteptare în sistem ca fiind

$$W = \bar{X} + \frac{\lambda \bar{X}^2}{2(1 - \rho)} \quad (2.9)$$

Formula (2.8) se poate scrie bazându-se pe un concept de timp rezidual de servire.

Se vor folosi următoarele notații:

- W_i - timpul de așteptare la coadă al celui de-al i -lea client.
- R_i - timpul de servire rezidual pentru cel de-al i -lea client.
- X_i - timpul de servire al celui de-al i -lea client.
- N_i - numărul de clienți din coadă în momentul sosirii celui de-al i -lea client.

Astfel avem următoarea formulă pentru timpul de așteptare în coadă al clientului i :

$$W_i = R_i + \sum_{j=i...N_i}^{i-1} X_j \quad (2.10)$$

Considerând limita când $i \rightarrow \infty$, obținem următorul rezultat:

$$W_q = R + \frac{L_q}{\mu} \quad (2.11)$$

unde R este timpul rezidual mediu, definit ca

$$\lim_{i \rightarrow \infty} E(R_i)$$

unde E reprezintă funcția de medie.

2.2 Sisteme de așteptare cu revenire

Rezultatele prezentate în acest subcapitol aparțin parțial autoarei acestei teze, și se regăsesc în lucrările [23],[24],[25].

Într-un sistem clasic de așteptare, atunci când un client sosește în sistem și serverul este disponibil, acesta va fi servit imediat. În caz contrar, clientul va fi adăugat în coadă. Un sistem de așteptare cu revenire extinde sistemul clasic prin noțiunea de orbită.

Sistemul de așteptare cu revenire are două variante: una în care clienții sosesc individual (a se vedea [23],[24]) și alta în care clienții sosesc în loturi de dimensiuni variabile (a se vedea [25]).

Ambele variante ale sistemului au o singură stație de servire și o singură coadă de așteptare pentru clienții care doresc să fie serviti. Coada de așteptare are dimensiune limitată, iar clienții care o găsesc ocupată în momentul intrării lor în sistem, pot alege să aștepte pe orbită. Orbita este reprezentată sub forma unei cozi de clienți cu dimensiune infinită, sortată în funcție de timpul de revenire al acestora.

2.2.1 Descrierea sistemului

Sistemul de așteptare propus este alcătuit din trei module principale:

- prelucrarea sosirilor în sistem
- prelucrarea servirilor
- prelucrarea revenirilor de pe orbită

Sosirile în sistemul de aşteptare

Atât în cazul sosirilor individuale, cât și în cel al sosirilor în loturi, intervalul de timp dintre două sosiri consecutive este o variabilă aleatoare, cu distribuție exponențial negativă. Atunci când clienții sosesc individual în sistem, aceștia au mai multe variante de a acționa, în funcție de starea în care se găsește sistemul la acel moment, și anume:

1. În cazul în care sistemul este în stare de “lenevire”, fără clienți în el, clientul nou sosit va fi servit imediat de către sistem.
2. În cazul în care stația de servire este ocupată, dar există locuri libere în coada de aşteptare, clientul va intra în coadă. Sistemul va incrementa cu o unitate numărul total de clienți și va actualiza timpul de aşteptare în coadă.
3. În cazul în care stația de servire este ocupată și nu mai sunt locuri în coadă, clientul alege să părăsească sistemul sau să intre pe orbită. Pentru cazul în care intră pe orbită, acestuia i se va genera un număr maxim de reveniri și o valoare a timpului pentru următoarea revenire de pe orbită. Sistemul va actualiza astfel timpul de aşteptare pe orbită.

În cazul în care clienții sosesc în loturi, comportamentul lor și cel al sistemului este similar ca în cazul variantei sosirii individuale. În acest caz însă, dacă dimensiunea lotului este mai mare decât numărul de locuri disponibile în coada de aşteptare, clienții din lot care nu mai au loc la coadă pot opta pentru a părăsi sistemul sau pentru a intra pe orbită. Revenirile de pe orbită vor fi individuale și în cazul sosirilor în loturi.

Probabilitatea ca un client să aleagă intrarea pe orbită sau părăsirea sistemului este o variabilă aleatoare de tip Bernoulli, în care sunt prezente două evenimente: rămânerea în sistem (pe orbită) și părăsirea sistemului. Probabilitatea primului eveniment este notată cu p , și în consecință, probabilitatea evenimentului al doilea este $1 - p$.

$$B : \begin{pmatrix} 1 & 2 \\ p & 1-p \end{pmatrix}$$

Prelucrarea servirilor în sistemul de aşteptare

În momentul începerii unui eveniment de servire, atât în cazul în care clienții sosesc individual, cât și în cel în care sosesc în loturi, sistemul actualizează dimensiunea cozii de aşteptare, decrementând-o cu o unitate. În momentul finalizării servirii, sistemul execută următoarele două acțiuni:

- actualizează numărul total de clienți servuți;
- actualizează timpul total de lucru al stației de servire;

Prelucrarea revenirii unui client de pe orbită

În momentul revenirii unui client de pe orbită, în sistem au loc următoarele acțiuni:

- Dacă stația de servire este liberă, atunci clientul va fi preluat pentru a fi servit, iar sistemul va actualiza numărul de clienți de pe orbită și timpul de așteptare pe orbită.
- Dacă stația de servire este ocupată, dar există locuri în coada de așteptare, clientul va intra în coadă, iar sistemul va actualiza numărul de clienți, timpul de așteptare în coadă și pe orbită.
- Dacă stația este ocupată, coada este plină, iar numărul de reveniri de pe orbită ale clientului nu a ajuns la zero, acesta se va întoarce pe orbită, iar sistemul va decrementa cu o unitate numărul rămas de reveniri ale sale și îi va genera un nou timp pentru următoarea revenire de pe orbită.
- Dacă stația este ocupată, coada este plină, iar numărul de reveniri de pe orbită ale clientului a ajuns la zero, acesta părăsește sistemul.

Clienții de pe orbită nu cunosc starea sistemului, așa că sunt nevoiți să interogheze periodic sistemul pentru a afla dacă pot fi servuți sau dacă au loc la coadă. Aceste operații se execută atât în cazul în care clienții sosesc în loturi, cât și în cazul în care sosesc individual, deoarece servirile și revenirile de pe orbită se desfășoară în mod individual.

2.2.2 Detalii de simulare a sistemului

Sistemul va rula până când numărul de sosiri va atinge un prag predefinit. Rata sosirilor în sistem trebuie să fie mai mică decât rata servirilor, iar numărul total al sosirilor trebuie să fie unul foarte mare, pentru ca rezultatele sistemului să fie concludente. În acest caz, procentul clienților servuți va fi unul ridicat.

Fiecare ciclu al simulării sistemului va consta în execuția unui eveniment de sosire în sistem, de servire sau de revenire de pe orbită.

La finalul simulării, au fost analizați următorii factori de eficiență ai sistemului:

- timpul mediu petrecut în coadă de către un client (notat MTwq), calculat ca raport între timpul total de așteptare în coadă și numărul total de clienți servuți ($MTwq = Twq/Tnr_{serv}$);
- timpul mediu petrecut pe orbită de către un client (notat MTOrb), calculat ca raport între timpul total de așteptare pe orbită și numărul total de clienți care au așteptat pe orbită ($MTOrb = Torb/Tnr_{orb}$);
- timpul mediu de servire al unui client (notat Mts), calculat ca raport între timpul total de servire al clienților și numărul total de clienți servuți ($Mts = T_{serv}/Tnr_{serv}$);
- gradul de inactivitate al sistemului (notat Clen), calculat ca raport între timpul total de inactivitate al sistemului și timpul când s-a încheiat ultimul eveniment din sistem ($Clen = Tlen/Ltime$);
- dimensiunea medie a cozii de așteptare (notată Mqueue), calculată ca raport între timpul total de așteptare al clienților în coadă și timpul când s-a încheiat ultimul eveniment din sistem ($Mqueue = Twq/Ltime$).

2.2.3 Prezentarea algoritmilor simulării

În primul rând, algoritmul de simulare al sistemului de așteptare cu revenire, în care clienții sosesc în loturi, va genera parametrii pentru variabilele aleatoare asociate: intervalului dintre două sosiri consecutive (valoarea parametrului λ), timpului de servire (valoarea parametrului μ), timpului petrecut pe orbită și probabilității de a intra pe orbită. Această generare se va realiza prin apelul procedurii **Read()**. Generarea variabilelor care utilizează parametrii mai sus numiți, dar și a dimensiunii lotului de clienți, se va face prin apelul procedurii **Gen(IntArriv, Stime, Bernoulli, DimBatch)**. Procedurile **InsertClientInQueue** și **InsertClientInOrbit** efectuează inserarea clientilor în coada de așteptare, respectiv pe orbită.

Algoritm 1 Algoritmul de simulare a unui sistem de așteptare cu revenire, ai căruia clienți sosesc în loturi [25]

```

1: procedure RETRQUEUEINGSYSTONESTAT(Tnra)
2:   Read();
3:    $Nra \leftarrow 0;$                                  $\triangleright$  numărul de sosiri în sistem
4:    $nq \leftarrow 0;$                                  $\triangleright$  numărul de elemente din coadă
5:    $Ltime \leftarrow 0;$                              $\triangleright$  timpul ultimului eveniment din sistem
6:    $Ctime \leftarrow \infty;$                            $\triangleright$  timpul curent al simulării
7:    $Tnrserv \leftarrow 0;$                             $\triangleright$  numărul de clienți serviti
8:    $Tnrorb \leftarrow 0;$                              $\triangleright$  numărul de clienți de pe orbită
9:    $Torb \leftarrow 0;$                               $\triangleright$  timpul total petrecut pe orbită
10:   $Tserv \leftarrow 0;$                              $\triangleright$  timpul total de servire al clientilor
11:   $Tlen \leftarrow 0;$                               $\triangleright$  timpul total de inactivitate al serverului
12:   $Twq \leftarrow 0;$                              $\triangleright$  timpul total petrecut în coadă
13:   $no \leftarrow 0;$                               $\triangleright$  numărul de clienți de pe orbită
14:   $To(1).Time_Rev \leftarrow \infty;$              $\triangleright$  timpul de revenire al primului client
15:  Gen(IntArriv, Stime, Bernoulli, DimBatch);
16:   $Atime \leftarrow IntArriv;$ 
17:  while  $Nra \leq Tnra$  do
18:    if  $\min\{Atime, Ctime, To(1).Time_Rev\} = Atime$  then
19:      Update_Arriv();
20:    else
21:      if  $\min\{Atime, Ctime, To(1).Time_Rev\} = Ctime$  then
22:        Update_Fin_Serv();
23:      else
24:        Update_Rtrial();
25:      end if
26:    end if
27:  end while
28:   $MTwq \leftarrow Twq/Tnrserv;$ 
29:   $MTOrb \leftarrow Torb/Tnrorb;$ 
30:   $Mts \leftarrow Tserv/Tnrserv;$ 
31:   $Clen \leftarrow Tlen/Ltime;$ 
32:   $Mqueue \leftarrow Twq/Ltime;$ 
33:  Write(MTwq, MTOrb, Mts, Clen, Mqueue);
34: end procedure
```

Algoritm 2 Evenimentul de sosire a unui lot de clienți în sistem

```

1: procedure UPDATE_ARRIV
2:   if  $Ctime = \infty$  then                                 $\triangleright$  dacă stația este liberă
3:      $Tlen \leftarrow Tlen + Atime - Ltime;$ 
4:      $Tsc \leftarrow Stime;$ 
5:      $Ctime \leftarrow Atime + Stime;$ 
6:     if  $DimBatch - 1 \leq d$  then
7:        $nc \leftarrow nc + DimBatch - 1;$ 
8:        $InsertClientInQueue(1, DimBatch - 1);$   $\triangleright$  DimBatch-1 clienți intră în coadă
9:        $Tw \leftarrow Tw + nc \cdot (Atime - Ltime);$ 
10:      else     $\triangleright$  primul client este servit, d clienți intră în coadă, DimBatch-1-d clienți
           intră pe orbită
11:         $nc \leftarrow nc + d;$ 
12:         $InsertClientInQueue(1, d);$ 
13:         $Tw \leftarrow Tw + nc \cdot (Atime - Ltime);$ 
14:         $no \leftarrow no + DimBatch - 1 - d;$ 
15:         $InsertClientInOrbit(d + 1, DimBatch - 1);$ 
16:         $Torb \leftarrow Torb + no \cdot (Atime - Ltime);$ 
17:      end if
18:    else                                      $\triangleright$  dacă stația este ocupată
19:      if  $DimBatch \leq d$  then           $\triangleright$  dacă încap toți cei DimBatch clienți în coadă
20:         $nc \leftarrow nc + DimBatch;$ 
21:         $Tw \leftarrow Tw + nc \cdot (Atime - Ltime);$ 
22:         $InsertClientInQueue(1, DimBatch);$ 
23:      end if
24:       $\triangleright$  dacă nu începe tot lotul în coadă, DimBatch-d clienți se trimit pe orbită
25:      if  $DimBatch > d \& d > 0$  then
26:         $nc \leftarrow nc + d;$ 
27:         $InsertClientInQueue(1, d);$ 
28:         $Tw \leftarrow Tw + nc \cdot (Atime - Ltime);$ 
29:         $no \leftarrow no + DimBatch - d;$ 
30:         $InsertClientInOrbit(d + 1, DimBatch);$ 
31:         $Torb \leftarrow Torb + no \cdot (Atime - Ltime);$ 
32:      end if
33:      if  $DimBatch > d \& d = 0$  then     $\triangleright$  toți cei DimBatch clienți se trimit pe orbită
34:         $no \leftarrow no + DimBatch;$ 
35:         $InsertClientInOrbit(1, DimBatch);$ 
36:         $Torb \leftarrow Torb + no \cdot (Atime - Ltime);$ 
37:      end if
38:    end if
39:     $Ltime \leftarrow Atime;$ 
40:     $Gen(IntArriv, Stime);$ 
41:     $Atime \leftarrow IntArriv;$ 
42:     $Nra \leftarrow Nra + 1;$ 
43:  end procedure

```

Algoritm 3 Evenimentul de servire a unui client

```

1: procedure UPDATE_FIN_SERV
2:    $Tserv \leftarrow Tserv + Tsc;$ 
3:    $Tnrserv ++;$ 
4:    $Torb \leftarrow Torb + no \cdot (Ctime - Ltime);$ 
5:    $Tw \leftarrow Tw + nc \cdot (Ctime - Ltime);$ 
6:    $Ltime \leftarrow Ctime;$ 
7:   if  $nc > 1$  then
8:      $Tsc \leftarrow Ts(1);$ 
9:      $Ctime \leftarrow Ctime + Ts(1);$ 
10:    RemoveClientFromSystem();
11:     $nc --;$ 
12:   else
13:      $Ctime \leftarrow \infty;$ 
14:   end if
15: end procedure

```

Algoritm 4 Evenimentul de revenire a unui client de pe orbită

```

1: procedure UPDATE_RETRYAL
2:    $Torb \leftarrow Torb + no \cdot (To(1).Time_Rev - Ltime);$ 
3:   if  $Ctime = \infty$  then
4:      $Tlen \leftarrow Tlen + To(1).Time_Rev - Ltime;$ 
5:      $Ltime \leftarrow To(1).Time_Rev;$ 
6:      $Ctime \leftarrow To(1).Time_Rev + To(1).Time_Serv;$ 
7:      $Tsc \leftarrow To(1).Time_Serv;$ 
8:     RemoveFromOrbit(1);
9:      $no --;$ 
10:     $Tnrorb ++;$ 
11:   else
12:     if  $d > 0$  then
13:        $nc ++;$ 
14:        $Twq \leftarrow Twq + nc \cdot (To(1).Time_Rev - Ltime);$ 
15:     else
16:        $To(1).Rev_Ram --;$ 
17:       if  $To(1).Rev_Ram > 0$  then
18:          $To(1).Time_Rev \leftarrow Gen(IntRet);$ 
19:         InsertClientInOrbit();
20:       else
21:         RemoveClientFromSystem();
22:          $no --;$ 
23:       end if
24:     end if
25:   end if
26: end procedure

```

Teorema 1. Acțiunea care prelucrează sosirile tuturor clientilor în sistem, are complexitatea $O(mb \cdot Tnra \cdot (\max\{no \cdot DimBatch, nqmax\}))$.

Teorema 2. Acțiunea care prelucrează încheierea servirii tuturor clientilor din sistem, are complexitatea $O(mb \cdot Tnra \cdot nqmax)$.

Teorema 3. Acțiunea care prelucrează revenirea tuturor clientilor de pe orbită, are complexitatea $O(mb \cdot Tnra \cdot no \cdot NoMaxRet)$.

Teorema 4. Complexitatea algoritmului de simulare *RetrQueuingSystOneStat* este $O(mb \cdot Tnra \cdot (\max\{no \cdot DimBatch, nqmax\} + nqmax + no \cdot NoMaxRet))$.

2.2.4 Validitatea algoritmului de simulare

Pentru testarea algoritmului prezentat au fost simulate 30000 de sosiri ($Nra = 30000$). Intervalul de timp între două sosiri în sistem, timpul de servire și intervalul de timp între două reveniri ale unui client sunt variabile cu distribuție exponential negativă, de parametri: λ , μ și ν .

Cele patru scenarii prezentate în [25] sunt:

Cazul 1. Vom considera că $\lambda = 1$, $\mu = 2$, $nqmax = \infty$ (dimensiunea cozii este infinită), $DimBatch = 1$ și $B: \begin{pmatrix} 1 & 2 \\ 0 & 1 \end{pmatrix}$ (probabilitatea ca un client să intre pe orbită este 0). Acest caz este similar cu un sistem de așteptare fără revenire, în care coada de așteptare este infinită.

În tabelul de mai jos sunt prezentate în mod comparativ rezultatele factorilor de eficiență ai sistemului, rezultate obținute prin simularea sistemului propus și a unui sistem de așteptare clasic, fără revenire.

Factor Eficiență	Sistem clasic	Sistem propus
Timpul mediu de așteptare în coadă	1.00185	0.99388
Dimensiunea medie a cozii	0.50223	0.49857
Timpul mediu de servire	0.99547	0.99103
Gradul de utilizare al sistemului	0.49629	0.49778

Tabela 2.1: Analiza sistemelor de așteptare cu și fără revenire [25]

Se poate observa din Tab. 2.1 că valorile obținute sunt aproximativ egale.

Cazul 2. Vom considera că $\lambda = 1$, $\mu = 2$, $nqmax = 0$ (dimensiunea cozii este 0), $DimBatch = 1$ iar $B: \begin{pmatrix} 1 & 2 \\ 0.5 & 0.5 \end{pmatrix}$ (probabilitatea ca un client să intre pe orbită este egală cu probabilitatea să părăsească sistemul). Acest caz este similar cu un sistem de așteptare cu revenire, în care clienții sosesc individual, iar rezultatele simulării sunt asemenea celor din [23].

Cazul 3. Vom considera că $\lambda = 1$, $\mu = 2$, $\nu = 1$, $nqmax = 0$ (dimensiunea cozii este 0), $DimBatch > 1$, $B: \begin{pmatrix} 1 & 2 \\ 0.5 & 0.5 \end{pmatrix}$ (probabilitatea ca un client să intre pe orbită este egală cu probabilitatea să părăsească sistemul). Acest caz a fost studiat din punct de vedere analitic

în [2],[20],[82]. Rezultatele obținute analitic și cele obținute prin simulare sunt prezentate în Tab. 2.2, și se poate observa că valorile sunt aproximativ egale.

Factor Eficientă	Rezultate obținute analitic	Rezultate obținute prin simulare
Timpul mediu de așteptare în coadă	1.00185	0.99388
Dimensiunea medie a cozii	0.49725	0.49857
Timpul mediu de servire	1.00742	0.99103
Gradul de utilizare al sistemului	0.50149	0.49778
Timpul mediu petrecut pe orbită	1.51001	1.49751

Tabela 2.2: Prezentarea rezultatelor analitice și a celor obținute prin simulare [25]

Cazul 4. Vom considera că $\lambda = 1$, $\mu = 2$, $\nu = 1$, $nqmax > 0$, $DimBatch > 1$, B: $\begin{pmatrix} 1 & 2 \\ 0.5 & 0.5 \end{pmatrix}$. Acest caz nu a fost studiat din punct de vedere analitic, ci sunt prezentate în paralel situația în care dimensiunea maximă a cozii este de 100 și cea în care dimensiunea maximă a cozii este de 200. Rezultatele obținute sunt prezentate în Tab. 2.3. Se poate observa că pentru valori mai mari ale cozii, scade timpul mediu de așteptare pe orbită.

Factor Eficientă	Rezultatele pentru $nqmax = 100$	Rezultatele pentru $nqmax = 200$
Timpul mediu de așteptare în coadă	1.10185	0.99388
Dimensiunea medie a cozii	0.49725	0.49857
Timpul mediu de servire	1.00742	0.99103
Gradul de utilizare al sistemului	0.50149	0.49778
Timpul mediu petrecut pe orbită	1.23158	0.74609

Tabela 2.3: Analiza rezultatelor pentru variația dimensiunii cozii [25]

2.2.5 Integrarea sistemului de așteptare într-o rețea cu toleranță la întârzieri

Capitolul de față prezintă o serie de noțiuni fundamentale pentru sistemele de așteptare, care stau la baza modelelor propuse în următorul capitol. De asemenea, sunt prezentate câteva comparații ale rezultatelor analitice și ale celor obținute prin simularea sistemului de așteptare, care se poate integra într-o rețea de tip DTN, în care fiecare nod este un sistem de așteptare individual. Atunci când avem o rețea cu toleranță la întârzieri, cu mai multe surse de transmitere de date și mai multe posibile destinații ale datelor, fiecare nod al rețelei poate fi considerat un centru independent de servicii, care are rolul de stație de servire. Serviciile oferite de noduri se îndreaptă către mesajele pe care le au în buffer, și constau în redirecționarea corectă a mesajelor către următorul hop din drumul spre destinație. Sistemul de așteptare utilizat pentru descrierea nodurilor este unul cu o singură stație de servire. După terminarea servirii, mesajul se va deplasa către un alt centru de servire (un alt nod), pe baza

unui algoritm de rutare, intrând iarăși într-un proces similar. Procesul se va finaliza în momentul în care mesajul ajunge la destinație, părăsind sistemul de așteptare.

În capitolul următor, cel în care este descris algoritmul de rutare propus în această teză de doctorat, se poate observa prezența cozilor de priorități, similare celor din modelul de așteptare M/G/1. Prin optimizarea modelului matematic se poate ajunge și la o optimizare a factorilor de eficiență ai rețelei DTN modelate.

Modelul de așteptare prezentat (care este unul de tip M/G/1) se îmbină cu natura dinamică a rețelei cu toleranță la întârzieri și cu modalitatea de a transmite mesaje în această rețea, prin protocoale de rutare adecvate, cu număr multiplu de copii ale mesajelor. Tocmai această modalitate de răspândire a mesajelor, cu număr mare de copii, conduce la necesitatea prezenței unei strategii de gestiune a bufferului nodurilor rețelei (cozilor de așteptare ale modelului rețelei). Strategia de gestiune a bufferului pentru metoda de rutare propusă are ca scop major maximizarea ratei de livrare a mesajelor, utilizând un model de așteptare care oferă o rată ridicată de servire a clientilor, aşa cum se poate observa în simularea sistemului prezentat anterior.

Capitolul 3

Probleme în rețele cu toleranță la întârzieri

În capitolul de față sunt propuse spre rezolvare două probleme importante într-o rețea de tip DTN:

1. Transformarea unei rețele DTN dinamice, cu buffer limitat, într-o rețea statică, în care se identifică un flux maxim. Această cercetare aparține autoarei și se regăsește în lucrarea [54].
2. Realizarea unui nou protocol de rutare, cu scopul de a îmbunătăți rata de livrare a mesajelor și de a reduce supraîncărcarea rețelei. Astfel am propus protocolul de rutare numit **MaxDelivery**. Rezultatele acestea aparțin integral autoarei și se regăsesc în [55] și [56].

În multe cazuri, mai ales în cadrul rețelelor cu toleranță la întârzieri, este mai important să se livreze un număr cât mai mare de mesaje decât să se livreze mesajele într-un timp cât mai scurt, cu toate că nici acest criteriu de performanță nu este unul care trebuie neglijat.

3.1 Fluxul maxim în rețele cu toleranță la întârzieri. Abordarea statică

Într-o rețea de tip DTN nu există garanția existenței unui drum permanent între două noduri, fapt care se datorează topologiei rețelei și caracteristicilor variabile în timp ale arcelor. În acest caz, pentru a face față evoluției sistemului în timp, este necesară modelarea rețelei DTN sub formă de rețea dinamică. Atunci când timpul este considerat o variabilă discretă, această problemă se poate rezolva prin construcția unei rețele statice extinse, echivalentă celei dinamice [1],[26]. Această secțiune propune o abordare statică pentru studiul fluxului maxim într-o rețea de tip DTN, în care nodurile au capacitate limitată de stocare.

Punctul de start al acestei transformări îl reprezintă rețeaua variabilă în timp din lucrarea [85], publicată de Zhang, numită TAG (Time Aggregated Graph în limba engleză). În urma transformării acestui graf, rețeaua statică obținută va avea mai multe noduri și arce decât cea originară, permitând arcelor să fie modelate ca serii de timp [43],[85].

Deoarece modelul dinamic nu necesită replicarea întregului graf pentru fiecare interval de timp, algoritmii pentru această rețea sunt mai eficienți decât cei pentru rețeaua statică extinsă. Cu toate acestea, în multe cazuri este de preferat și mai ușor de abordat o rețea statică decât una dinamică.

3.1.1 Fluxul maxim în rețele statice și rețele dinamice

Noțiunile și rezultatele din acest subparagraf sunt preluate din [1],[12],[14],[26],[69].

Se consideră un graf $G = (N, A)$ conex, antisimetric și fără cicluri. Mulțimea nodurilor grafului este $N = \{1, \dots, i, \dots, j, \dots, n\}$, iar mulțimea arcelor este $A = \{a_1, \dots, a_k, \dots, a_m\}$, cu $a_k = (i, j), i, j \in N$. Fie $S = (N, A, u)$ o rețea statică, cu funcția capacitate definită ca $u : A \rightarrow \mathbb{N}$, \mathbb{N} reprezentând mulțimea numerelor naturale. Vom considera nodul sursă 1 și nodul stoc n .

Pentru o pereche dată de submulțimi X și Y ale mulțimii N de noduri ale rețelei S , vom avea notația:

$$(X, Y) = \{(i, j) | (i, j) \in A, i \in X, j \in Y\}$$

Pentru o funcție dată f , definită pe mulțimea de arce A , facem următoarea notație:

$$f(X, Y) = \sum_{(X, Y)} f(i, j)$$

Dacă $X = \{i\}$ sau $Y = \{j\}$, atunci se pot folosi notațiile (i, Y) și (X, j) .

Fluxul este definit ca o funcție $f : A \rightarrow \mathbb{N}$, care satisfac următoarele condiții:

$$f(i, N) - f(N, i) = \begin{cases} v & \text{dacă } i = 1 \\ 0 & \text{dacă } i \neq 1, n \\ -v & \text{dacă } i = n \end{cases} \quad (3.1a)$$

$$0 \leq f(i, j) \leq u(i, j), (i, j) \in A \quad (3.1b)$$

pentru $\forall v \geq 0$, unde v este valoarea fluxului f .

Problema fluxului maxim constă în determinarea unui flux f pentru care valoarea v este maximă.

Mulți algoritmi utilizați pentru probleme de flux maxim se bazează pe conceptul de drum de mărire a fluxului.

Se consideră un flux f și se definește rețeaua reziduală $R = (N, \tilde{A}, r)$, unde N este mulțimea de noduri și \tilde{A}, r sunt definite prin formulele (3.2),(3.3).

$$\tilde{A} = \tilde{A}^+ \cup \tilde{A}^- \quad (3.2a)$$

$$\tilde{A}^+ = \{(i, j) | (i, j) \in A \text{ și } f(i, j) < u(i, j)\} \quad (3.2b)$$

$$\tilde{A}^- = \{(j, i) | (i, j) \in A \text{ și } f(i, j) > 0\} \quad (3.2c)$$

Capacitatea reziduală $r : \tilde{A} \rightarrow \mathbb{N}$ în raport cu fluxul f este următoarea:

$$r(i, j) = \begin{cases} u(i, j) - f(i, j) & \text{pentru } (i, j) \in \tilde{A}^+ \\ f(j, i) & \text{pentru } (j, i) \in \tilde{A}^- \end{cases} \quad (3.3)$$

Un drum de mărire a fluxului relativ la f este un drum P în rețeaua R , de la nodul 1 la nodul n .

Teorema 5. [1] *Un flux f^* este flux maxim dacă și numai dacă rețeaua reziduală R nu conține drumuri de mărire a fluxului.*

Se consideră funcția distanță $d : N \rightarrow \mathbb{N}$ în rețeaua reziduală R . Vom spune că funcția distanță este validă în cazul în care satisface următoarele două condiții:

$$d(n) = 0 \quad (3.4a)$$

$$d(i) \leq d(j) + 1, i \in N, (i, j) \in \tilde{A} \quad (3.4b)$$

Etichetele distanță au următoarele două proprietăți [1]:

Proprietatea 1. Dacă etichetele distanță sunt valide, atunci eticheta distanță $d(i)$ este o limită inferioară a lungimii drumului minim de la nodul i la nodul n în rețeaua reziduală R .

Proprietatea 2. Dacă $d(1) \geq n$, atunci rețeaua reziduală R nu conține niciun drum de la nodul sursă la nodul stoc.

Vom spune că etichetele distanță sunt exacte pentru fiecare nod i dacă $d(i)$ este egal cu lungimea drumului minim de la nodul i la nodul stoc n , în rețeaua reziduală R . De asemenea vom considera că un arc (i, j) din rețeaua reziduală este admisibil dacă satisface condiția $d(i) = d(j) + 1$. Celelalte arce, care nu satisfac această condiție, sunt inadmisibile. Un drum de la nodul 1 la nodul n , care este alcătuit în întregime din arce admisibile, este considerat un drum admisibil. Un drum admisibil are următoarea proprietate [1]:

Proprietatea 3. Un drum admisibil de la nodul sursă 1 la nodul stoc n este un drum minim de mărire a fluxului.

Se poate determina un drum minim de mărire a fluxului de la nodul sursă 1 la nodul stoc n , în rețeaua reziduală R , prin executarea unei parcurgeri inverse în lățime în rețeaua R , începând de la nodul n , cu $d(n) = 0$.

Algoritmul care determină drumul minim de mărire a fluxului este prezentat în Alg. 8. Acesta apelează trei proceduri, prezentate în Alg. 5, Alg. 6 și Alg. 7 [1].

Algoritmul 5 Procedura de înaintare.

```

1: procedure ÎNAINTARE( $i$ )
2:   fie  $(i, j)$  un arc admisibil în  $\tilde{A}$ 
3:    $pred(j) \leftarrow i$ 
4:    $i \leftarrow j$ 
5: end procedure

```

Algoritmul 6 Procedura de retragere.

```

1: procedure RETRAGERE( $i$ )
2:    $d(i) \leftarrow \min\{d(j) + 1 | (i, j) \in \tilde{A}\}$ 
3:   if  $i \neq s$  then
4:      $i \leftarrow pred(i)$ 
5:   end if
6: end procedure

```

Algoritmul 7 Procedura de mărire.

```

1: procedure MĂRIRE
2:   folosind indicele predecesorului, se identifică un drum  $P$  de mărire a fluxului, de la
   nodul 1
      la nodul  $n$ 
3:    $mr \leftarrow \min\{r(i, j) | (i, j) \in P\}$ 
4:   se adaugă  $mr$  unități de flux de-a lungul drumului  $P$ 
5: end procedure
```

Algoritmul 8 Algoritmul drumului minim de mărire a fluxului.

```

1:  $f \leftarrow 0$ 
2: se obțin etichetele distanță exacte  $d(i)$ 
3:  $i \leftarrow 1$ 
4: while  $d(1) < n$  do
5:   if  $i$  are un arc admisibil then
6:     Înaintare( $i$ )
7:     if  $i = n$  then
8:       execută Mărire() și inițializează  $i = 1$ 
9:     end if
10:    else
11:      Retragere( $i$ )
12:    end if
13: end while
```

Următoarele două teoreme caracterizează algoritmul de determinare a drumului minim de mărire a fluxului [1].

Teorema 6. *Algoritmul de determinare a drumului minim de mărire a fluxului calculează în mod corect un flux maxim în rețeaua $S = (N, A, u)$.*

Teorema 7. *Algoritmul de determinare a drumului minim de mărire a fluxului are complexitatea $O(n^2m)$.*

Modelele de rețele statice au multiple posibilități de aplicare, însă, în anumite cazuri, timpul joacă un rol esențial. Aceste situații necesită să fie modelate sub forma unor rețele dinamice.

Problema identificării fluxului maxim într-o rețea dinamică de forma $D = (N, A, u, h)$, cu funcția timp definită ca $h : A \rightarrow \mathbb{N}$, este mult mai complexă decât problema identificării fluxului maxim în rețeaua statică $S = (N, A, u)$. Se poate însă rezolva această problemă complexă prin transformarea rețelei D într-o rețea statică extinsă, echivalentă rețelei D , pe care o notăm cu $S_e = (N_e, A_e, u_e)$. Avem în acest caz o abordare statică a unei probleme dinamice.

Fie $H = \{0, 1, \dots, T\}$ mulțimea perioadelor de timp. Avem următoarele definiții de mulțimi și funcții, utilizate pentru transformarea rețelei: $N'_e = \{i_t | i \in N, t \in H\}$, $A'_e = \{(i_t, j_\theta) | (i, j) \in A; t, \theta \in H\}$, $u'_e(i_t, j_\theta) = u(i, j), (i_t, j_\theta) \in A'_e$.

Pe baza acestora se obține rețeaua statică extinsă $S'_e = (N'_e, A'_e, u'_e)$, cu mai multe noduri sursă, $1_1, \dots, 1_T$, și mai multe noduri stoc, n_1, \dots, n_T .

În continuare vom reduce problema cu surse și stocuri multiple din rețeaua extinsă $S'_e = (N'_e, A'_e, u'_e)$ la o problemă cu un singur nod sursă și un singur nod stoc, introducând un nod sursă suplimentar, notat cu 0 și un nod stoc suplimentar, notat cu $n + 1$. Astfel se obține rețeaua extinsă $S_e = (N_e, A_e, u_e)$, cu $N_e = N'_e \cup \{0, n + 1\}$, $A_e = A'_e \cup \{(0, 1_t) | t \in H\} \cup \{(n_t, n + 1) | t \in H\}$, $u_e(0, 1_t) = u_e(n_t, n + 1) = \infty, t \in H$.

Mai multe detalii despre studiul rețelelor dinamice se găsesc în [1],[12],[14],[26],[69].

3.1.2 Fluxul maxim în rețelele cu toleranță la întârzieri și buffer cu dimensiune limitată. Abordarea statică

Această abordare aparține autoarei tezei [54].

Rețeaua de tip DTN este un caz special de rețea dinamică [43],[85]. Se consideră un interval de timp $H = [t_0, T)$, unde t_0 și T reprezintă timpul de start și, respectiv, timpul final. Intervalul H este împărțit în q intervale de timp mai mici, notate $\tau_k = [t_{k-1}, t_k)$, cu $k = 1, 2, \dots, q$.

Fie $D = (N, A, H, u_\tau, c_\tau, b_\tau)$ rețeaua dinamică având mulțimea de noduri $N = \{1, \dots, n\}$, mulțimea de arce $A = \{a_1, \dots, a_m\}$, intervalul de timp $H = [t_0, T)$, limita superioară (capacitatea) $u_\tau(i, j) = (u_{\tau_1}(i, j), \dots, u_{\tau_q}(i, j))$, $(i, j) \in A$, seria de transfer $c_\tau = (c_{\tau_1, \tau_2}(i), \dots, c_{\tau_{q-1}, \tau_q}(i))$, $i \in N$, unde $c_{\tau_{k-1}, \tau_k}(i)$ reprezintă datele transferate între intervalele de timp τ_{k-1} și τ_k în nodul i . Valorile inițiale ale lui $c_\tau(i)$, pentru oricare $i \in N$, sunt egale cu 0, iar spațiile de stocare ale nodurilor sunt notate cu $b_\tau(i) = (b_{\tau_1, \tau_2}(i), \dots, b_{\tau_{q-1}, \tau_q}(i))$, cu $i \in N - \{1, n\}$, $b_{\tau_{k-1}, \tau_k}(1) = b_{\tau_{k-1}, \tau_k}(n) = \infty, k = 1, \dots, q$.

Problema fluxului maxim pentru o rețea de tip DTN în care nodurile au buffer cu dimensiune limitată se rezumă la a trimite cât mai multe unități de flux de la nodul sursă 1 la nodul stoc n , fără a încălca valoarea capacitatei arcelor și constrângerile nodurilor. În această lucrare, rezolvarea acestei probleme are o abordare statică.

Pentru problema fluxului maxim într-o rețea de tip DTN în care nodurile au buffer cu dimensiune limitată se folosește o rețea extinsă $S_e = (N_e, A_e, u_e)$, care prezintă următoarele modificări față de cea prezentată anterior: $N'_e = \{i_k | i \in N, k = 1, \dots, q\}$, $A'_e = \{(i_k, j_k) | (i, j) \in A, k = 1, \dots, q\} \cup \{(i_k, i_{k+1}) | k = 1, \dots, q-1\}$, $u_e(i_k, j_k) = u_{\tau_k}(i, j)$, $k = 1, \dots, q$, $u_e(i_k, i_{k+1}) = b_{\tau_k, \tau_{k+1}}(i, j)$, $k = 1, \dots, q-1$.

Pentru identificarea drumului minim de mărire a fluxului în rețeaua statică nou construită, se va folosi Alg. 8, prezentat anterior. Fluxul în rețeaua $S_e = (N_e, A_e, u_e)$ este echivalent cu un flux maxim din rețeaua dinamică $D = (N, A, H, u_\tau, c_\tau, b_\tau)$. Rețeaua reziduală $R_e = (N_e, \tilde{A}_e, r_e)$ din abordarea statică a rețelei DTN este construită similar cu rețeaua reziduală clasă $R = (N, \tilde{A}, r)$, descrisă mai sus.

În continuare sunt prezentate următoarele două teoreme:

Teorema 8. *Algoritmul de determinare a drumului minim de mărire a fluxului calculează în mod corect un flux maxim în rețeaua statică extinsă $S_e = (N_e, A_e, u_e)$.*

Teorema 9. *Algoritmul de determinare a drumului minim de mărire a fluxului, aplicat rețelei statice extinse $S_e = (N_e, A_e, u_e)$, are complexitatea $O(T^3 n^2 (n + m))$.*

3.1.3 Exemplu de calcul al fluxului maxim

Vom porni de la exemplul din lucrarea [85], unde s-a obținut un flux maxim într-o abordare dinamică. Acest exemplu se va relua, pentru a obține un flux maxim cu abordare statică.

Graful suport este cel prezentat în Fig. 3.1, unde nodul sursă este 1 și nodul stoc este 4, iar intervalul de timp dat este $H = [t_0, T) = [0, 5]$.

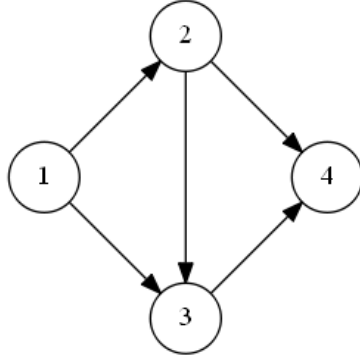


Figura 3.1: Graful suport $G=(N,A)$ (din [85])

În acest caz, intervalul H este împărțit în cinci intervale de timp mai mici: $\tau_1 = [0, 1), \tau_2 = [1, 2), \tau_3 = [2, 3), \tau_4 = [3, 4), \tau_5 = [4, 5)$. Vom presupune că fluxul maxim inițial are valoarea 0.

Valorile capacitaților pentru $u_{\tau_k}(i, j)$, cu $k = 1, 2, 3, 4, 5$ și $(i, j) \in A$, sunt prezentate în Tab. 3.1

$(i, j) \setminus u_{\tau}(i, j)$	$u_{\tau}(i, j)$	$u_{\tau_1}(i, j)$	$u_{\tau_2}(i, j)$	$u_{\tau_3}(i, j)$	$u_{\tau_4}(i, j)$	$u_{\tau_5}(i, j)$
(1,2)	7	0	6	0	0	0
(1,3)	0	3	2	0	0	0
(2,3)	6	0	1	0	0	0
(2,4)	0	7	0	4	2	
(3,4)	1	0	0	5	1	

Tabela 3.1: Valorile capacitaților $u_{\tau_k}(i, j)$, $k = 1, 2, 3, 4, 5$ și $(i, j) \in A$

Valorile bufferelor nodurilor sunt $b_{\tau}(i) = (b_{\tau_1, \tau_2}, b_{\tau_2, \tau_3}, b_{\tau_3, \tau_4}, b_{\tau_4, \tau_5}), i \in N$ și sunt prezentate în Tab. 3.2.

$i \setminus b_{\tau}(i)$	$b_{\tau}(i)$	$b_{\tau_1, \tau_2}(i)$	$b_{\tau_2, \tau_3}(i)$	$b_{\tau_3, \tau_4}(i)$	$b_{\tau_4, \tau_5}(i)$
1	∞	∞	∞	∞	∞
2	5	5	5	5	5
3	5	5	5	5	5
4	∞	∞	∞	∞	∞

Tabela 3.2: Valorile bufferelor $b_{\tau}(i)$, $i \in N$

În rețeaua extinsă este folosit algoritmul de determinare a drumului minim de mărire a fluxului pentru a identifica drumul $P_1 = (0, 1_1, 2_1, 3_1, 4_1, 5)$, cu valoarea fluxului $f(P_1) = 1$. După ce se aplică mărirea de flux, se obține rețeaua reziduală $R_e = (N_e, \tilde{A}_e, r_e)$. Ulterior se determină succesiv toate drumurile de mărire a fluxului:

- $P_2 = (0, 1_1, 2_1, 2_2, 4_2, 5)$ cu valoarea fluxului $f(P_2) = 5$
- $P_3 = (0, 1_3, 2_3, 2_4, 4_4, 5)$ cu valoarea fluxului $f(P_3) = 4$
- $P_4 = (0, 1_3, 3_3, 3_4, 4_4, 5)$ cu valoarea fluxului $f(P_4) = 2$
- $P_5 = (0, 1_2, 3_2, 3_3, 3_4, 4_4, 5)$ cu valoarea fluxului $f(P_5) = 1$
- $P_6 = (0, 1_3, 2_3, 2_4, 2_5, 4_5, 5)$ cu valoarea fluxului $f(P_6) = 1$
- $P_7 = (0, 1_3, 2_3, 3_3, 3_4, 4_4, 5)$ cu valoarea fluxului $f(P_7) = 1$
- $P_8 = (0, 1_1, 2_1, 3_1, 3_2, 3_3, 3_4, 4_5, 5)$ cu valoarea fluxului $f(P_8) = 1$

În rețeaua reziduală $R_e = (N_e, \tilde{A}_e, r_e)$ nu mai există niciun drum de mărire a fluxului, și conform Teoremei 5 rezultă că am ajuns la un flux maxim. Valoarea fluxului maxim obținut este $v_e = f(P_1) + f(P_2) + f(P_3) + f(P_4) + f(P_5) + f(P_6) + f(P_7) + f(P_8) = 1 + 5 + 4 + 2 + 1 + 1 + 1 + 1 = 16$.

3.2 MaxDelivery: Cercetări preliminarii

Dacă în secțiunea precedentă s-a realizat maximizarea fluxului într-o rețea DTN, printr-o abordare statică, în secțiunea curentă se va realiza maximizarea transmiterii de mesaje într-o rețea DTN, printr-o politică de gestiune a bufferului, bazată pe un algoritm de abandonare a mesajelor în cazul supraîncărcării spațiului de stocare al nodurilor rețelei.

Rezultatele originale din această secțiune aparțin autoarei acestei lucrări și sunt prezentate în lucrarea [55].

Din studiul diferitelor politici de gestiune a bufferului, se poate observa că au fost identificate mai multe criterii care pot influența abandonarea mesajelor și programarea acestora pentru retransmitere. Aceste criterii sunt:

- Timpul de viață rămas al mesajului (remaining TTL) - cât timp a rămas până la expirarea mesajului.
- Numărul de hopuri ale mesajului până în prezent - prin câte noduri intermediare a trecut mesajul de la nodul sursă până la nodul curent.
- Numărul de replici ale mesajului - numărul de noduri din rețea care dețin o copie a mesajului la un moment dat.
- Dimensiunea mesajului
- Vârsta mesajului - timpul scurs de când a fost creat mesajul.

- Costul livrării mesajului - unii algoritmi de rutare folosesc predictibilitatea livrării mesajului la destinație pentru a defini costul pe arce.
- Distanța până la destinație - cât are de parcurs mesajul din bufferul curent până ajunge în bufferul nodului destinație.

3.2.1 O nouă politică de abandonare a mesajelor

Crearea algoritmului MaxDelivery a plecat de la ideea introducerii unei politici de gestiune a bufferului pentru strategiile de rutare care nu aveau implementată o astfel de abordare. Am propus în acest scop, în [55], o modalitate de a elibera bufferul congestionat al nodurilor pentru protocoalele de rutare Epidemic și PRoPHET.

Obiectivul politicilor de gestiune a spațiului de stocare al nodurilor în rețelele de tip DTN este acela de a prioritiza mesajele în coada de așteptare. În cazul abordării din [55], prioritizarea se face printr-o strategie nouă de ștergere a mesajelor.

Majoritatea politicilor de abandonare a mesajelor folosesc o singură caracteristică a mesajului sau a rețelei, aspect care s-a putut observa în secțiunea în care au fost prezentate strategiile de gestiune a bufferului în DTN.

Am putut observa algoritmi care se bazează pe:

- timpul de viață al mesajului: DOA(Drop Oldest), DY(Drop Youngest), SHLI(Shortest Life First)
- momentul sosirii în buffer: FIFO, LIFO, DLR(Drop Least Recently Received)
- numărul de transmiteri ale mesajului: MOFO(Most Forwarded), LF(Least Forwarded), max-max
- dimensiunea mesajului: DL(Drop Largest), E-drop, T-drop, Mean-drop
- frecvența întâlnirii dintre noduri: DLE(Drop Least Encountered), MOPR(Most Favorably Forwarded), LEPR(Least Probable First), DLK(Drop Less Known)

Pentru a putea detecta în mod echitabil mesajul care va fi șters, am ținut cont de mai multe proprietăți ale mesajului sau ale rețelei. Am ales astfel numărul de transmiteri ale mesajului pentru a asigura faptul că acesta este transmis cel puțin o dată, timpul de viață al mesajului și numărul de noduri parcurse.

Îmbinând aceste criterii, am creat astfel o funcție utilitate care se asociază fiecărui mesaj din rețea, definită prin formula de mai jos:

$$f_{drop}(x) = \frac{TTL}{Init_TTL} (HC + MF)$$

Notatiile din formulă reflectă în primul rând caracteristici ale mesajului, având următoarele semnificații:

- TTL (Time To Live) - reprezintă timpul de viață al mesajului, care este în continuă descreștere, până la zero. Atunci când valoarea lui TTL ajunge egală cu zero, mesajul va fi șters din buffer.

- Init_TTL - reprezintă timpul de viață inițial, cel asociat la crearea mesajului.
- HC (Hop Count) - reprezintă numărul de hopuri (noduri de rețea) pe care le-a străbătut mesajul până la nodul curent. Atunci când un nod sursă generează un mesaj, acesta va avea asociată o proprietate HC cu valoarea zero. Atunci când mesajul se transmite unui alt nod, valoarea lui HC va fi incrementată cu o unitate.
- MF (My Forwarding) - reprezintă numărul de copii ale mesajului pe care le-a transmis nodul curent către nodurile cu care a intrat în contact.

Raportul $\frac{TTL}{Init_TTL}$ favorizează ștergerea mesajelor nou create, în contrast cu metoda SHLI, care favorizează ștergerea mesajelor cu cel mai scurt timp de viață rămas. Rezultatul acestui raport este echilibrat de către numărul de transmisii ale mesajului, calculat prin însumarea numărului de transmisii efectuate de nodul curent și a numărului de hopuri pe care le-a parcurs mesajul până în prezent.

Prin abordarea propusa în [55] nu se dorește nici favorizarea ștergerii mesajelor care sunt mai noi în sistem, dar nici a mesajelor care au călătorit mai mult în rețea.

Astfel, nodul va sorta în buffer mesajele în ordinea crescătoare a funcției utilitate.

Conform acestor criterii, în cazul în care bufferul nodului se umple și sosește un mesaj nou de la un nod de contact, nodul curent va elimina din buffer mesajul cu valoarea cea mai mare a funcției utilitate $f_{drop}(x)$, descrisă mai sus. Această eliminare se va efectua succesiv, până când mesajul nou sosit va avea loc în buffer. Se presupune că mesajele cu valoarea cea mai mare a utilității au cea mai mică sansă de a ajunge la destinație.

3.2.2 Validarea funcției utilitate

În [55] au fost prezentate câteva scenarii care să demonstreze validitatea funcției utilitate create.

Se notează astfel $HC + MF$ cu TCV (Transmission Count Value), această valoare reprezentând numărul transmisilor mesajului. Timpul de viață inițial asociat mesajelor se consideră că este constant, în ideea în care fiecărui mesaj din sistem î se va asocia la creare aceeași valoare a timpului de viață.

În cazul congestionării bufferului, vom considera două mesaje, M_1 și M_2 , care ar pură fi șterse. Acestea au asociate funcțiile utilitate $f_{drop}(M_1)$, respectiv $f_{drop}(M_2)$, cu definițiile următoare:

$$f_{drop}(M_1) = \frac{TTL_1}{Init_TTL} TCV_1$$

$$f_{drop}(M_2) = \frac{TTL_2}{Init_TTL} TCV_2$$

În contextul de față, se consideră următoarele 3 cazuri:

Cazul 1. $TTL_1 > TTL_2$ și $TCV_1 < TCV_2$

Aici apar două posibilități:

$$1.1) TTL_1 \cdot TCV_1 > TTL_2 \cdot TCV_2 \Rightarrow f_{drop}(M_1) > f_{drop}(M_2)$$

Acesta este cazul în care M_1 va fi mesajul ales pentru ștergere. Presupunând că $TTL_1 > TTL_2$, atunci M_1 are un timp de viață mai mare și nodul curent îl va șterge, lăsând responsabilitatea transmiterii acestuia altor noduri.

$$1.2) TTL_1 \cdot TCV_1 < TTL_2 \cdot TCV_2 \Rightarrow f_{drop}(M_1) < f_{drop}(M_2)$$

Acesta este cazul în care M_2 va fi mesajul ales pentru ștergere. Deoarece $TTL_1 > TTL_2$, atunci înseamnă că mesajul M_2 a fost deja transmis la suficient de multe noduri și există multe copii ale sale în rețea. În concluzie, ștergerea mesajului M_2 nu va afecta prea mult sansa lui de livrare la destinație.

Cazul 2. $TTL_1 = TTL_2$ și $TCV_1 < TCV_2 \Rightarrow TTL_1 \cdot TCV_1 < TTL_2 \cdot TCV_2 \Rightarrow f_{drop}(M_1) < f_{drop}(M_2)$

În acest caz va fi șters mesajul M_2 . Deoarece $TCV_1 < TCV_2$, calculele devin aceleași ca și în cazul 1.2).

Cazul 3. $TTL_1 < TTL_2$ și $TCV_1 = TCV_2 \Rightarrow f_{drop}(M_1) < f_{drop}(M_2)$

Deoarece $TTL_1 < TTL_2$, mesajul șters va fi M_2 . Motivația este similară cu cea pentru cazul 1.1).

Algoritmul care utilizează funcția utilitate

Testarea eficienței funcției utilitate prezentate mai sus a fost efectuată cu ajutorul simulatorului ONE. Algoritmul care descrie metoda din simulator, cea care folosește funcția propusă, este cel prezentat în Alg. 9

Algoritmul 9 Metoda care eliberează spațiul din buffer

```

1: procedure MAKEROOMFORMESSAGE(buffer, msg)
2:   buffer.sort                                ▷ sortarea sa face după funcția utilitate
3:   while buffer.size < msg.size do
4:     removeBufferTop;                      ▷ se șterge mesajul cu utilitatea cea mai mare
5:   end while
6: end procedure

```

3.2.3 Rezultate obținute prin simulare

Aplicația propusă în [55] compară metricile de performanță ale algoritmilor Epidemic și PRoPHET în varianta lor clasică și în varianta actualizată cu politica de abandonare a mesajelor, pe baza funcției utilitate $f_{drop}(x)$.

Caracteristicile generale ale sistemului sunt:

- Timpul total al simulării: 12h
- Dimensiunea hărții: 4500m x 3400m
- Modelul de mobilitate: cel care folosește drumul cel mai scurt între două puncte de pe hartă

- Tehnica de gestiune a bufferului: bazată pe funcția utilitate descrisă anterior
- Protocolele de rutare: Epidemic, PRoPHET
- Viteza de transmisie a datelor: 250kbps
- Raza de acțiune bluetooth: 10m
- Dimensiunea mesajelor: 500kB - 1MB
- Intervalul de creare a mesajelor: 25s - 30s
- TTL: 1h - 3h - 5h - 7h - 9h

In completarea acestora avem si caracteristici specifice categoriilor de noduri, prezentate în Tab. 3.3.

Pietoni	
Parametru	Valoare
Numărul de noduri	80
Modelul de mobilitate	Cel care folosește drumul cel mai scurt între două puncte de pe hartă
Dimensiunea bufferului	5MB - 6MB - 7MB - 8MB - 9MB
Timpul de aşteptare între deplasări	0s - 120s
Viteza	2km/h - 5km/h
Mașini	
Parametru	Valoare
Numărul de noduri	40
Modelul de mobilitate	Cel care folosește drumul cel mai scurt între două puncte de pe hartă
Dimensiunea bufferului	5MB - 6MB - 7MB - 8MB - 9MB
Timpul de aşteptare între deplasări	0s - 120s
Viteza	10km/h - 50km/h
Tramvaie	
Parametru	Valoare
Numărul de noduri	6
Modelul de mobilitate	Cel care folosește ruta predefinită de deplasare
Dimensiunea bufferului	50MB
Timpul de aşteptare între deplasări	10s - 30s
Viteza	25km/h - 35km/h

Tabela 3.3: Configurația nodurilor rețelei

Scenariul de simulare ales este cel de bază, oferit de către simulator. Acesta conține trei tipuri de noduri: pietoni, mașini și tramvaie. Nodurile se deplasează pe harta orașului

Helsinki. Metricile de performanță urmărite sunt: rata livrării mesajelor și timpul mediu de staționare în buffer al mesajelor.

Așa cum se poate observa din tabelele menționate, simulările au fost făcute variind doi dintre parametrii sistemului: timpul de viață al mesajului și dimensiunea bufferului. Modelul de mobilitate folosit de pietoni și mașini este drumul cel mai scurt, iar tramvaiele folosesc modelul de deplasare bazat pe un orar predefinit.

Rezultatele obținute prin variația dimensiunii bufferului sunt prezentate în Fig. 3.2. Se poate observa că politica de gestiune a bufferului adăugată celor doi algoritmi aduce o îmbunătățire a ratei de livrare a mesajelor, în special algoritmului PRoPHET (a se vedea Fig. 3.2b).

În ceea ce privește algoritmul Epidemic, rezultatele obținute sunt similare atât pentru cazul clasic de abandonare a mesajelor (cel bazat pe algoritmul FIFO), cât și pentru noua abordare propusă. Există totuși, în noua variantă, o ușoară apreciere a valorii atunci când dimensiunea bufferului este sub 6MB și o ușoară depreciere atunci când bufferul are dimensiunea de 9MB (a se vedea Fig. 3.2a).

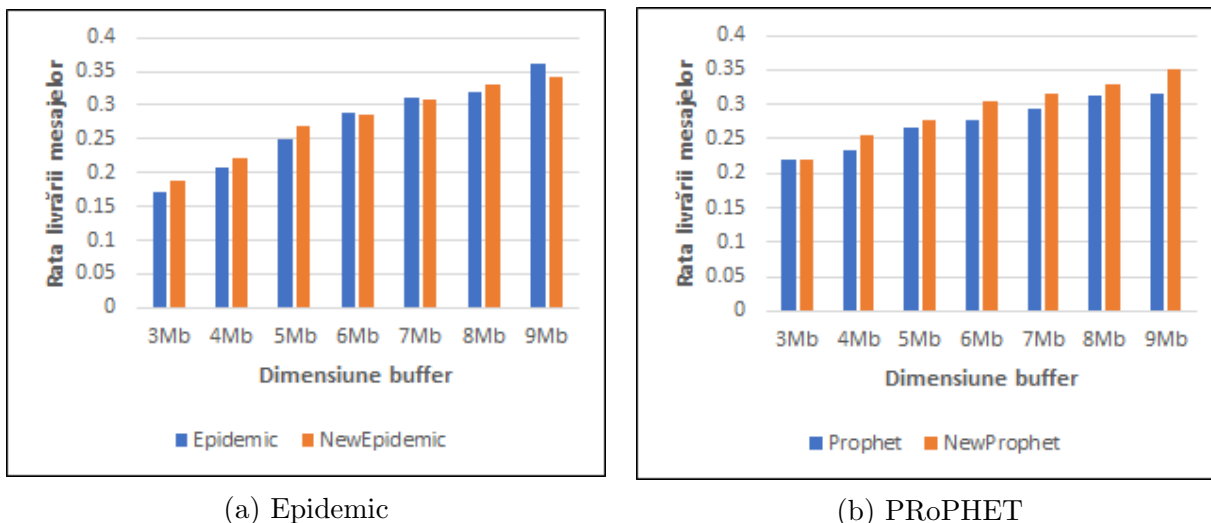


Figura 3.2: Eficiența ratei de livrare a mesajelor, variind dimensiunea bufferului (din [55])

Rezultatele care se obțin atunci când se variază valoarea TTL sunt prezentate în Fig. 3.3. Se poate observa din figură că atunci când timpul de viață al mesajului este mai mare de 3 ore, noua politică de abandonare îmbunătățește rata de livrare a mesajelor atât pentru algoritmul Epidemic (a se vedea Fig. 3.3a), cât și pentru PRoPHET (a se vedea Fig. 3.3b).

În Fig. 3.4 și Fig. 3.5, se poate observa că noua modalitate de gestiune a bufferului oferă valori ale timpului petrecut în buffer mult mai mici decât variantele standard ale algoritmilor Epidemic și PRoPHET.

Scopul politiciei de gestiune propuse, bazată pe ștergerea de mesaje în cazul congestiunii bufferului, este acela de a crește numărul de mesaje livrate și de a micșora simultan numărul de copii ale mesajelor care se vor replica în rețea pentru a garanta ajungerea acestora la destinație.

Într-o rețea cu toleranță la întârzieri este mai importantă garanția faptului că mesajele vor ajunge la destinație decât livrarea lor într-un interval scurt de timp. Astfel, pentru moment nu am urmărit și scăderea timpului de livrare al mesajelor.

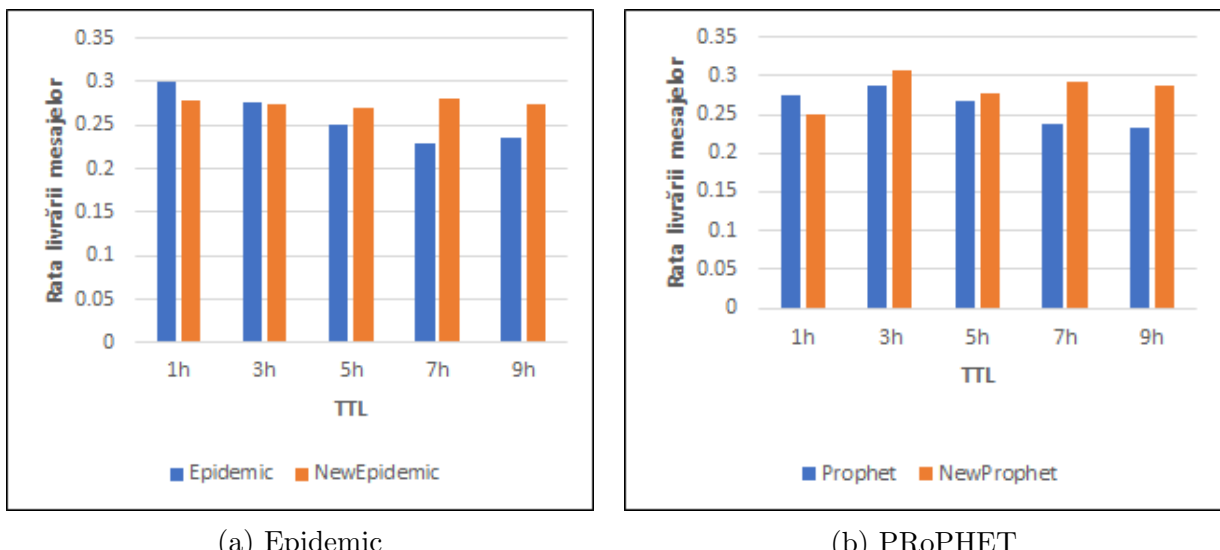


Figura 3.3: Eficiența ratei de livrare, variind timpul de viață al mesajelor (din [55])

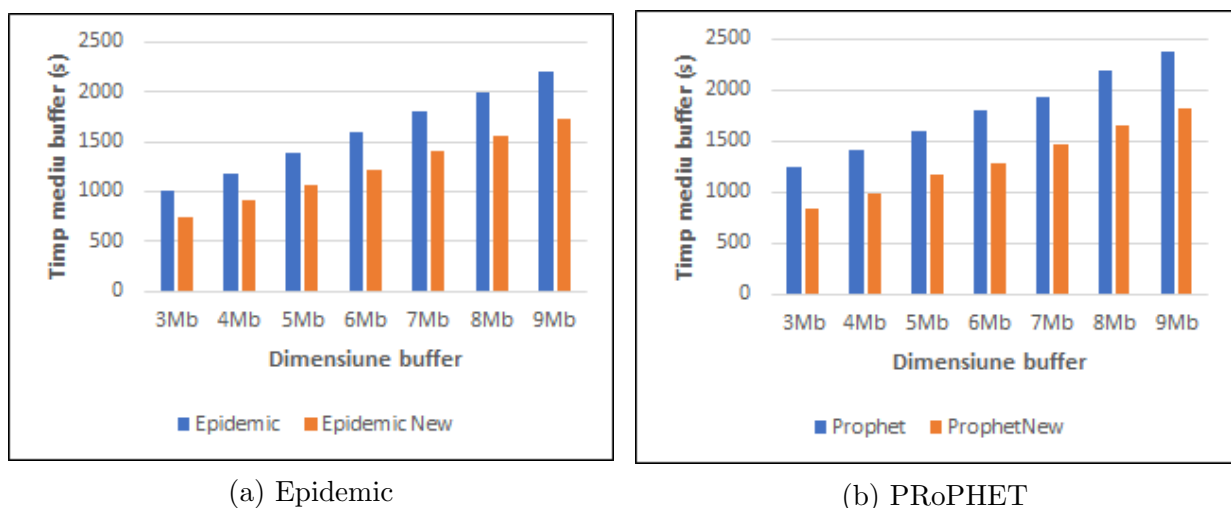


Figura 3.4: Timpul mediu petrecut în buffer, variind dimensiunea bufferului (din [55])

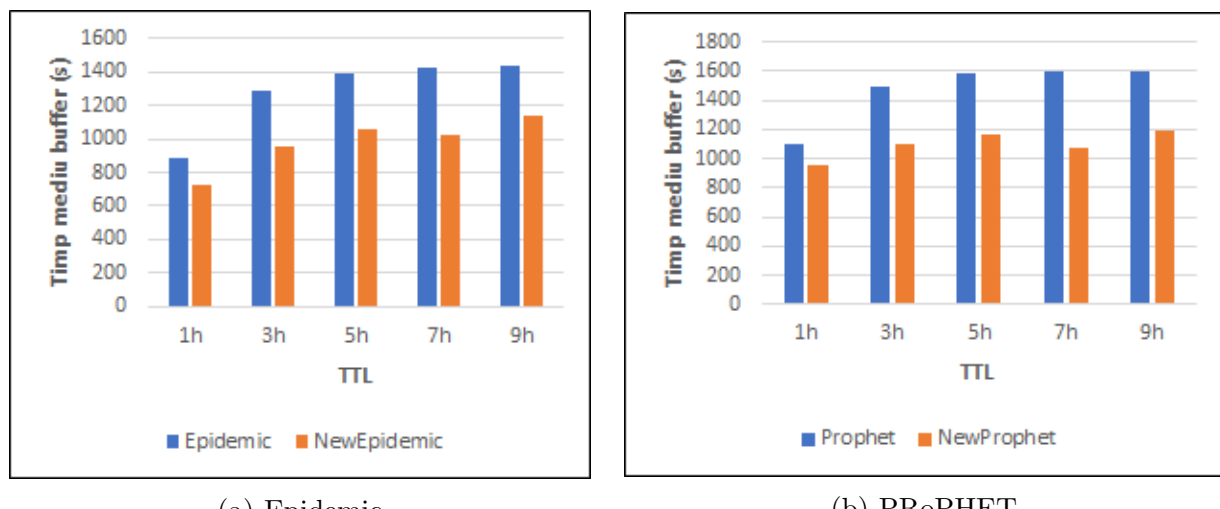


Figura 3.5: Timpul mediu petrecut în buffer, variind timpul de viață al mesajelor (din [55])

3.3 Descrierea algoritmului MaxDelivery

Rezultatele originale din această secțiune aparțin autoarei acestei lucrări și se regăsesc în lucrarea [56], acceptată pentru publicare.

Conform cu specificațiile din secțiunea precedentă, algoritmul propus are ca obiectiv îmbunătățirea unor criterii de performanță ale unui sistem reprezentat printr-o rețea de tip DTN. În continuare putem observa câteva dezavantaje ale algoritmilor clasici de rutare:

- Epidemic - nu este eficient în rețele dense, în care circulă un număr mare de mesaje.
- Spray and Wait - necesită capacitate mare de stocare datorită faptului că păstrează mesajele în buffer mult timp.
- MaxProp - are nevoie de un buffer de dimensiune mare și este consumator de energie datorită prelucrărilor complexe pe care le efectuează.

Scopul algoritmului MaxDelivery este acela de a îndeplini următoarele cerințe: livrarea unui număr cât mai mare de mesaje la destinație prin optimizarea selectării mesajului cu cele mai mari șanse de livrare, evitarea rutelor și a nodurilor congestionate.

Pentru îndeplinirea obiectivelor, algoritmul propus se bazează pe următoarele acțiuni:

- descoperirea vecinilor pentru a cunoaște informații despre rețea
- maximizarea trimiterii de mesaje la destinație
- eliminarea mesajelor care nu mai pot ajunge la destinație, pentru a oferi șansa altor mesaje să fie livrate
- curățarea periodică a bufferului

Fiecare nod al rețelei va menține o listă a nodurilor cu care a intrat în contact. În momentul conexiunii, acestea își vor transmite gradul de ocupare al bufferului la acel moment, vor actualiza lista mesajelor livrate în vederea ștergerii copiilor acestora din buffer și abia după aceea vor începe transferul de mesaje.

În cele ce urmează vor fi detaliate părțile componente ale algoritmului MaxDelivery.

3.3.1 Metoda de transmitere a mesajelor

Pentru a crește numărul de mesaje livrate, fiecare nod are bufferul împărțit în trei cozi de priorități, pregătite pentru transmiterea mesajelor.

Prima coadă, notată DQ, are prioritate 0 la transmitere și conține mesajele care au ca destinație nodul de contact. Mesajele sunt sortate în funcție de dimensiune și se trimit prima dată mesajele mai mici, asigurând un număr mai mare de transmiteri.

Cea de-a doua coadă, notată NQ, cu prioritate 1 la transmitere, conține mesajele care au ca destinație un vecin al nodului de contact. Mesajele din această coadă sunt sortate de asemenea după dimensiune.

Cea de-a treia coadă, notată OQ, conține restul mesajelor din bufferul nodului, sortate după o funcție utilitate notată $f_{fwd}(x)$, cu următoarea definiție:

$$f_{fwd}(x) = \begin{cases} HC + MF, & \text{dacă } HC + MF < TN/2 \\ msgSize, & \text{în caz contrar} \end{cases}$$

HC reprezintă numărul de hopuri, MF reprezintă numărul de transmisii locale ale mesajului, TN (Total Neighbors în limba engleză) reprezintă numărul total de vecini ai nodului, iar $msgSize$ reprezintă dimensiunea mesajului.

Semnificația funcției $f_{fwd}(x)$: sunt favorizate mesajele care au fost transmise la mai puțin de jumătate dintre vecini, după care sunt favorizate mesajele în funcție de dimensiunea lor. Valoarea $TN/2$ reprezintă un prag utilizat pentru a evita inundarea rețelei cu mesaje redundante.

Sortarea se face descrescător, astfel încât să fie transmise cu prioritate mesajele care au ajuns la cei mai puțini vecini, în ordinea crescătoare a dimensiunii lor.

Pentru a evita congestionarea rețelei, un nod va trimite mesaje doar vecinilor care au cel mult 90% din capacitatea de stocare ocupată.

Algoritmul transmiterii mesajelor

Algoritmul folosit pentru prioritizarea mesajelor în vederea transmiterii la nodul de legătură este descris în Alg. 10.

Algoritm 10 Metoda pentru transmiterea de mesaje

```

1: procedure FWD
2:    $DQ \leftarrow \emptyset$                                  $\triangleright$  mesajele destinate nodului de legătură
3:    $NQ \leftarrow \emptyset$                                  $\triangleright$  mesajele destinate unui vecin al nodului de legătură
4:    $OQ \leftarrow \emptyset$                                  $\triangleright$  celealte mesaje din buffer
5:    $FILL\_DEST(DQ);$ 
6:    $FILL\_NEIGH(NQ);$ 
7:    $FILL\_OTHER(OQ);$ 
8:    $SET\_TRANSMISSION\_RANGE(DQ, NQ, OQ);$ 
9: end procedure
```

Alg. 10 face apelul a patru proceduri:

- procedura $FILL_DEST(DQ)$ populează coada DQ, cea care are cea mai mare prioritate;
- procedura $FILL_NEIGH(NQ)$ populează coada NQ, cea care are prioritate medie;
- procedura $FILL_OTHER(OQ)$ populează coada OQ, cea care are cea mai mică prioritate;
- procedura $SET_TRANSMISSION_RANGE(DQ, NQ, OQ)$ ordonează cele trei cozi după prioritate.

Algoritmul 11 Popularea cozii de mesaje care au ca destinație nodul de legătură

```

1: procedure FILL_DEST(DQ)
2:   for msg ∈ allMessages do
3:     if msg.Dest = contactNode then
4:       DQ ← DQ + {msg};
5:     end if
6:   end for
7:   SORT_BY_SIZE(DQ);
8: end procedure

```

Algoritmii 11, 12 și 13 reprezintă procedurile de populare a cozilor de priorități.

Algoritmul **FILL_DEST(DQ)** extrage din toate mesajele care se găsesc în bufferul nodului curent, notat cu *allMessages* în algoritm, pe acelea care au ca nod destinație nodul actual de legătură al nodului curent. Mesajele extrase sunt inserate în coada DQ, după care, aceasta se sortează crescător în funcție de dimensiunea mesajelor.

Teorema 10. *Algoritmul FILL_DEST(DQ) calculează în mod corect mulțimea mesajelor cu proprietatea că au ca destinatar nodul de legătură.*

Teorema 11. *Complexitatea algoritmului FILL_DEST(DQ) este $O(\text{Max}\{m, m_1 \cdot \log m_1\})$, unde m_1 este dimensiunea cozii DQ.*

Algoritmul 12 Popularea cozii de mesaje care au ca destinație un vecin al nodului de legătură

```

1: procedure FILL_NEIGH(NQ)
2:   for msg ∈ allMessages do
3:     for n ∈ contactNode.Neighbours do
4:       if msg.Dest = n then
5:         NQ ← NQ + {msg};
6:       end if
7:     end for
8:   end for
9:   SORT_BY_SIZE(NQ);
10: end procedure

```

Algoritmul **FILL_NEIGH(NQ)** extrage dintre toate mesajele care se găsesc în bufferul nodului curent, notat cu *allMessages* în algoritm, pe acelea care au ca nod destinație un vecin al nodul de legătură. Mesajele extrase sunt inserate în coada NQ, după care, aceasta se sortează crescător în funcție de dimensiunea mesajelor, ca și în cazul lui DQ.

Teorema 12. *Algoritmul FILL_NEIGH(NQ) calculează în mod corect mulțimea mesajelor cu proprietatea că au ca destinatar un vecin al nodului de legătură.*

Teorema 13. *Complexitatea algoritmului FILL_NEIGH(NQ) este $O(\text{Max}\{m \cdot nv, m_2 \cdot \log m_2\})$, unde m_2 este dimensiunea cozii NQ.*

Algoritmul **FILL_OTHER(OQ)** preia din buffer celealte mesaje, care nu s-au încadrat în cozile de priorități DQ și NQ, și le inserează în OQ. Se consideră vectorul *util* care are același

Algoritm 13 Popularea cozii cu mesajele din buffer care nu s-au încadrat în cozile DQ și NQ

```

1: procedure FILL_OTHER(OQ)
2:    $OQ \leftarrow allMessages - DQ - NQ;$ 
3:    $util \leftarrow \emptyset;$ 
4:   for  $msg \in OQ$  do
5:      $util(msg) \leftarrow const \cdot msg.Size;$ 
6:   end for
7:   for  $msg \in OQ$  do
8:     //HC – numărul de hopuri
9:     //MF – numărul de copii ale mesajului răspândite de nodul curent
10:    //TN – numărul total de vecini
11:    if  $msg.HC + msg.MF < TN/2$  then
12:       $util(msg) \leftarrow msg.HC + msg.MF;$ 
13:    end if
14:   end for
15:   SORT_BY.Utility(OQ);
16: end procedure

```

număr de elemente ca și coada OQ, în care se inserează valorile funcției utilitate. Astfel, fiecărui mesaj din OQ îi va corespunde o valoare din vectorul $util$.

Vom defini o constantă, notată $const$ în algoritm, care trebuie să aibă o valoare suficient de mare astfel încât, după ce se înmulțește cu dimensiunea mesajului, să nu fie depășită de numărul de transmiteri ale mesajului.

Coada OQ este împărțită în două zone care au ca separator un prag definit de jumătate din numărul de vecini ai nodului curent.

Teorema 14. *Algoritmul FILL_OTHER(OQ) populează în mod corect coada OQ.*

Teorema 15. *Complexitatea algoritmului FILL_OTHER(OQ) este $O(m_3 \cdot \log m_3)$, unde m_3 este dimensiunea cozii OQ.*

Teorema 16. *Algoritmul FWD este corect definit în raport cu utilitatea propusă cozilor de priorități.*

Teorema 17. *Complexitatea algoritmului FWD este $O(\max\{m \cdot nv, M \cdot \log M\})$, cu $M = \max\{m_i | i = 1, 2, 3\}$.*

3.3.2 Abandonarea mesajelor și curățarea bufferului

Metoda de abandonare a mesajelor

Formula funcției utilitate $f_{drop}(x)$, prezentată în secțiunea precedentă, a fost ulterior îmbunătățită. Raportul $\frac{TTL}{Init_TTL}$ a fost înlocuit cu timpul primirii mesajului. Astfel, funcția devine:

$$f_{drop}(x) = RT \cdot (HC + MF)$$

Notațiile pentru HC și MF sunt aceleași ca mai sus, iar RT (Receive Time în limba engleză) reprezintă timpul când a fost primit mesajul de către nodul curent.

Pornind de la protocoalele de rutare bazate pe un comportament social, putem afirma că este important ca un nod să ia decizii și pe baza informațiilor despre rețea, nu doar pe baza celor referitoare la mesaje. Acest fapt a condus la introducerea timpului de sosire al mesajului în buffer în definiția funcției $f_{drop}(x)$. Valoarea RT reprezintă o informație locală a mesajului, raportată la nodul curent, spre deosebire de TTL, care este o informație legată strict de mesaj. Noua abordare a îmbunătățit considerabil procentul de livrare al mesajelor. Împreună cu celelalte strategii implementate de gestiune a bufferului, metoda de abandonare a mesajelor a crescut procentul de livrare de la 25-35% la 70-80%.

În timpul conexiunii dintre două noduri A și B , dacă nodul B îi trimită un mesaj nodului A , al cărui buffer este plin sau nu are suficient spațiu pentru a putea stoca acel mesaj, se efectuează următoarele operații:

1. se sortează mesajele din buffer în ordine crescătoare, după funcția utilitate
2. dacă ultimele mesaje au aceeași valoare a funcției utilitate, atunci se sortează crescător după dimensiune

Conform acestei metode, se vor abandonă mesajele cu utilitatea cea mai mare și de dimensiunea cea mai mare. Astfel se încearcă abandonarea a cât mai puține mesaje, care să aibă mai multe copii transmise deja în rețea.

Metoda de curățare periodică a bufferului

Bufferul este curățat în două faze:

1. Mesajele care au fost livrate la destinație sunt șterse în permanentă, ori de câte ori se face livrarea.
2. Dacă spațiul ocupat din buffer este cel puțin egal cu 90% din capacitate, atunci se șterg și mesajele create de către nodul curent, cu condiția ca acestea să fi fost transmise la cel puțin jumătate dintre nodurile vecine.

Cea de-a doua etapă de verificare se desfășoară în momentul fiecărei oportunități de conectare a nodului.

3.3.3 Rezultate obținute prin simulare

Pentru a evidenția eficiența algoritmului propus, rezultatele factorilor de performanță ai acestuia au fost comparate cu cele ale algoritmilor implementați în simulatorul ONE. De data aceasta au fost făcute comparații cu rezultatele oferite de către toți cei patru algoritmi de bază ai rutării în rețelele de tip DTN, care sunt deja implementați în aplicația simulatorului.

Mediul în care s-a realizat simularea actuală este similar celui în care s-au realizat simulările cercetărilor premergătoare, cu mențiunea că a fost mărită diferența dintre cel mai mic și cel mai mare mesaj posibil. De data aceasta, dimensiunile mesajelor generate sunt în intervalul 250kB - 1MB. A fost aleasă această majorare a gradului de granularitate al mesajelor datorită faptului că poate evidenția mai bine ștergerea mesajelor din buffer.

Rezultatele sistemului au fost testate tot prin variația timpului de viață al mesajelor și prin variația spațiului de stocare asociat nodurilor.

Rata de livrare a mesajelor

Graficele cu rezultatele ratei de livrare a mesajelor sunt prezentate în Fig. 3.6.

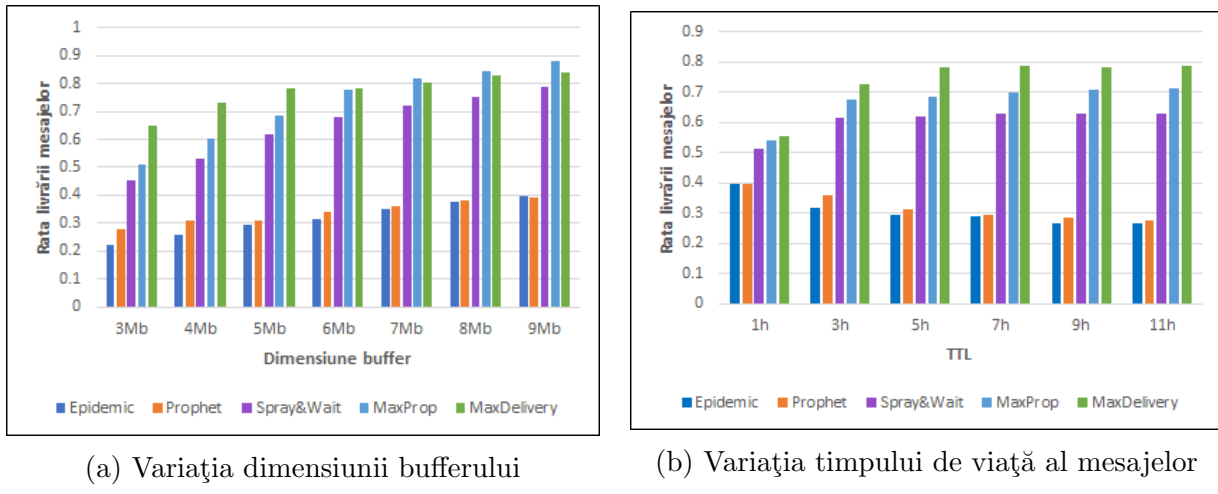


Figura 3.6: Eficiența ratei de livrare a mesajelor

Din Fig. 3.6a reiese că pentru dimensiuni ale bufferului mai mici decât 5MB, MaxDelivery are o rată de livrare mult superioară celorlalți algoritmi. Pentru un buffer de 6MB rezultatul este similar cu cel produs de către MaxProp, iar pentru dimensiuni ale bufferului peste 7MB se observă o ușoară depreciere a rezultatelor algoritmului MaxDelivery față de MaxProp. Algoritmul propus obține valori mai bune față de rezultatele produse de către algoritmii de rutare Epidemic, PRoPHET și Spray and Wait, indiferent de dimensiunea considerată a spațiului de stocare. Din Fig. 3.6b reiese că MaxDelivery obține cele mai bune valori ale ratei de livrare a mesajelor, indiferent de timpul de viață alocat mesajelor.

Supraîncărcarea rețelei

În Fig. 3.7 sunt prezentate rezultatele ratei de supraîncărcare a rețelei, cu graficele aferente acestor valori.

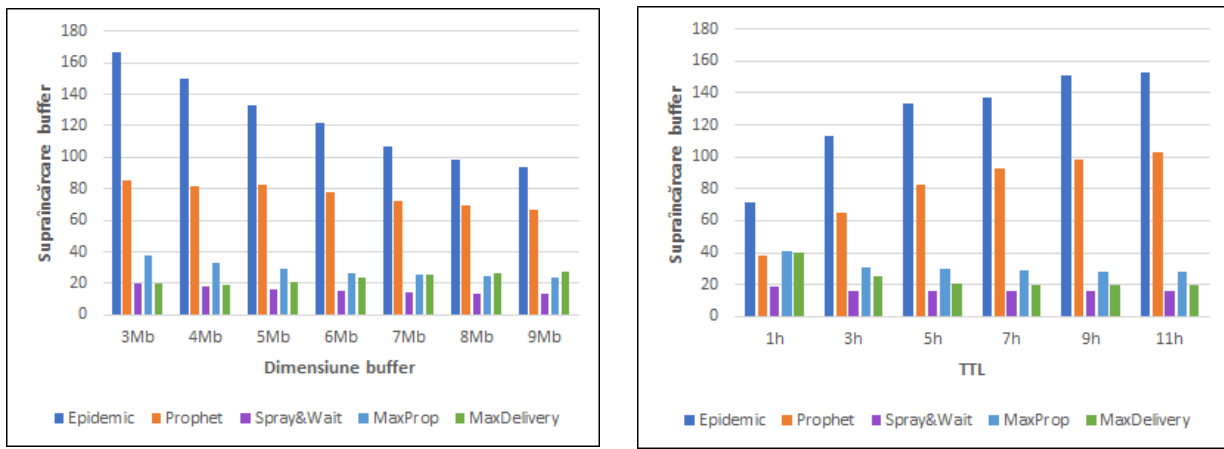


Figura 3.7: Eficiența gradului de supraîncărcare al rețelei

Din imaginile Fig. 3.7a și Fig. 3.7b se observă că algoritmii Epidemic și PRoPHET obțin rezultate foarte slabe, datorită faptului că trimit în rețea multe copii ale mesajelor. Algoritmii Spray and Wait, MaxProp și MaxDelivery obțin rezultate mult mai bune, iar algoritmul de rutare propus este depășit ușor din punctul de vedere al eficienței acestei metriki de performanță de către algoritmul Spray and Wait, care are o limitare a numărului de copii ale mesajelor.

Timpul de livrare al mesajelor

Rezultatele simulării pentru timpii de livrare ai mesajelor, măsurăți în secunde, se observă în Fig. 3.8. Din reprezentările acestea reiese faptul că algoritmii cu o complexitate mai ridicată, care implementează și politici de gestiune a bufferului, livrează mesajele la destinație cu o întârziere mai mare. Însă, dintre algoritmii cu complexitate ridicată, algoritmul propus oferă rezultate mai eficiente (MaxProp versus MaxDelivery).

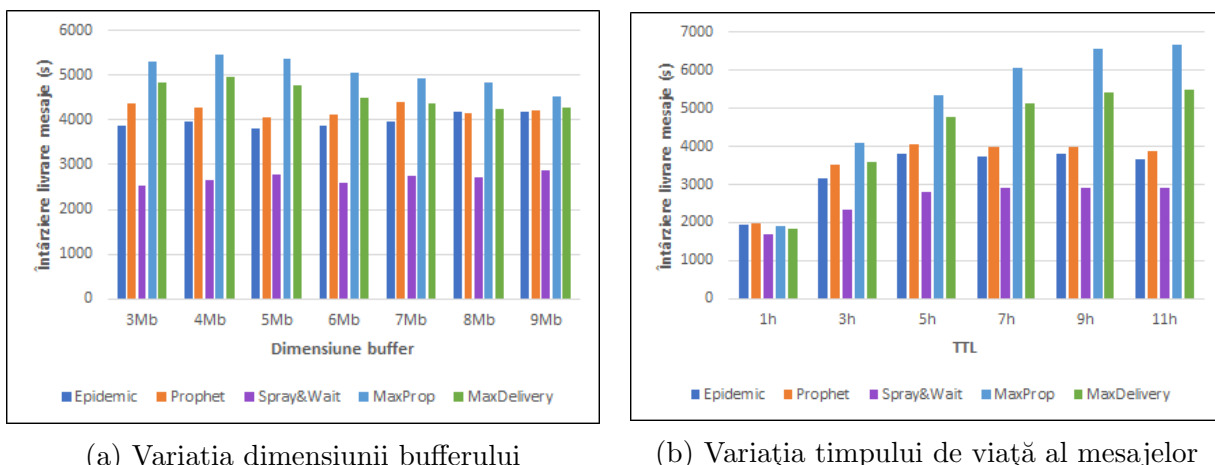


Figura 3.8: Eficiența timpului de livrare al mesajelor

Timpul de staționare în buffer al mesajelor

Valorile rezultate în urma simulărilor, măsurate în secunde, sunt prezentate în Fig. 3.9.

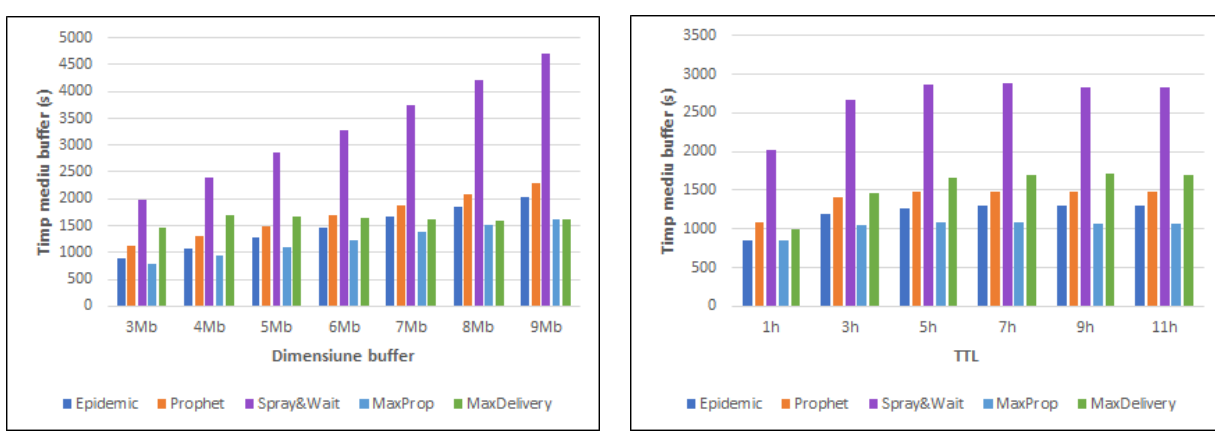


Figura 3.9: Eficiența timpului mediu petrecut de mesaje în buffer

În Fig. 3.9a se observă că pentru algoritmul propus, valoarea medie a timpului petrecut în buffer de către mesaje are o ușoară descreștere odată cu creșterea dimensiunii bufferului de la 4MB la 9MB, spre deosebire de ceilalți algoritmi care înregistrează o creștere a valorilor rezultate. Pentru valori mari ale bufferului, MaxDelivery ajunge să aiba cea mai bună valoare.

În Fig. 3.9b se observă că pentru algoritmul propus, valoarea medie a timpului petrecut în buffer de către mesaje înregistrează o ușoară creștere odată cu creșterea timpului de viață al mesajelor.

3.4 Mesaje cu diferite priorități în contextul algoritmului MaxDelivery

Într-un scenariu din viața reală, nu toate mesajele care se transmit într-o rețea au același grad de interes. În funcție de contextul în care este implementată rețeaua, există posibilitatea generării de mesaje care au prioritate mare și trebuie transmise urgent, precum și a generării de mesaje cu o prioritate medie sau chiar scăzută, nefiind o problemă transmiterea lor cu întârziere.

Scenarii de acest gen sunt cele în care se implementează rețeaua DTN în caz de cutremur, de incendiu, de erupție a unui vulcan etc. În aceste situații se dorește transmiterea cu prioritate a mesajelor care indică punctele de localizare a unor victime sau solicitarea unei echipe de salvare.

Într-un astfel de context, obiectivul este acela de a maximiza rata de transfer a mesajelor cu prioritate ridicată și de a reduce timpul de livrare al acestora.

Pentru ca protocolul de rutare să poată gestiona un astfel de comportament, am realizat o variantă a algoritmului MaxDelivery. Mesajele au fost împărțite pe două niveluri de prioritizare: mesaje cu prioritate ridicată și mesaje cu prioritate scăzută. Noua variantă a algoritmului MaxDelivery urmărește eficientizarea criteriilor de performanță ale rețelei pentru mesajele cu prioritate ridicată, în detrimentul celor cu prioritate scăzută. Modul în care se generează prioritățile mesajelor nu prezintă obiectul acestui studiu.

Logica algoritmului se modifică, în aceste condiții, atât pentru strategia de transmitere a mesajelor, cât și pentru strategia de abandonare a mesajelor în caz de supraîncărcare a bufferului.

Modalitatea de transmitere a mesajelor s-a modificat astfel: Atunci când apare o oportunitate de conectare, noul algoritm va selecta mesajul pe care îl va transmite conform unei noi funcții utilitate, cu următoarea formulă:

$$f_{fwd}(x) = \begin{cases} (HC + MF) \cdot coef_{fwd}, & \text{dacă } HC + MF < TN/2 \\ msgSize \cdot coef_{fwd}, & \text{în caz contrar} \end{cases}$$

unde $coef_{fwd}$ reprezintă coeficientul de prioritate al mesajului la transmitere.

Modalitatea de abandonare a mesajelor s-a modificat astfel: Atunci când sosesc mesaje în buffer, iar acesta este plin, algoritmul selectează mesajul pe care îl va șterge

conform unei noi funcții utilitate, cu următoarea formulă:

$$f_{drop}(x) = RC \cdot (HC + MF) \cdot coef_{drop}$$

unde $coef_{drop}$ reprezintă coeficientul de prioritate al mesajului pentru abandonare.

Modificând astfel funcția utilitate, atât transmiterea cât și ștergerea mesajelor depind și de tipul de prioritate al mesajului. Cu toate că pentru exemplificare au fost considerate două categorii de priorități ale mesajelor, algoritmul se poate adapta pentru mesaje cu orice grad de prioritizare, în funcție de contextul situației reale în care se utilizează rețeaua. Coeficienții de prioritate vor trebui modificați convenabil în acest caz.

3.4.1 Simulații în contextul prezenței mesajelor cu priorități

În urma unei analize preliminare, valorile de simulare pentru $coef_{fwd}$ și $coef_{drop}$ sunt:

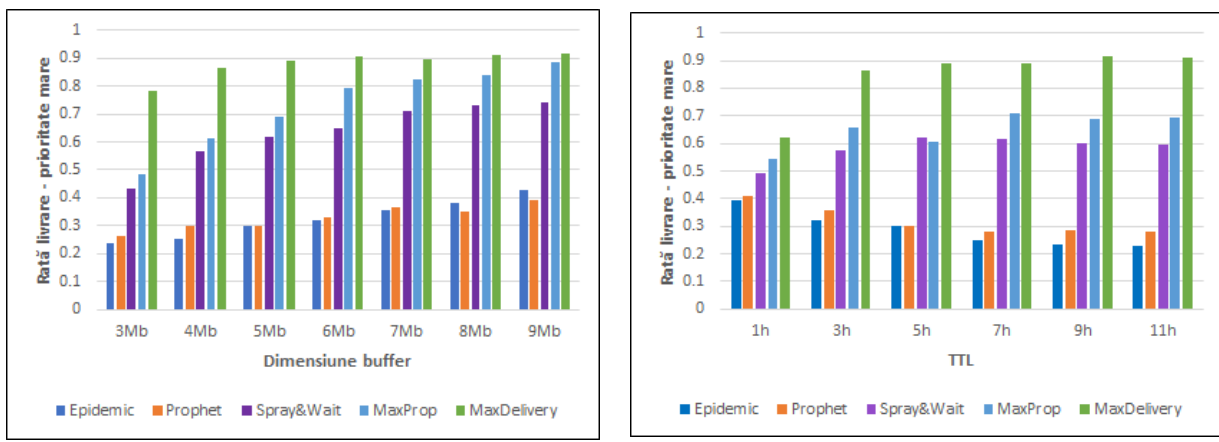
$$coef_{fwd}(msg) = \begin{cases} 5, & \text{dacă msg are prioritate ridicată} \\ 1, & \text{dacă msg are prioritate scăzută} \end{cases}$$

$$coef_{drop}(msg) = \begin{cases} 1, & \text{dacă msg are prioritate ridicată} \\ 5, & \text{dacă msg are prioritate scăzută} \end{cases}$$

După adăugarea celor două categorii de priorități ale mesajelor, numărul de mesaje cu prioritate mare care au fost generate este aproximativ egal cu cel al mesajelor de prioritate mică, cu diferențe între 1 și 60 de mesaje, la un total de 1500. De asemenea, datorită modificărilor asupra algoritmului de rutare propus, valorile globale pentru timpul de livrare al mesajelor s-a îmbunătățit.

Varianta propusă pentru algoritmul MaxDelivery reușește să obțină un procent mult mai mare de livrare al mesajelor cu prioritate ridicată față de ceilalți algoritmi implementați în simulatorul ONE.

Eficiența ratei de livrare a mesajelor cu prioritate mare, cele care prezintă interes în acest context, sunt detaliate în Fig. 3.10.



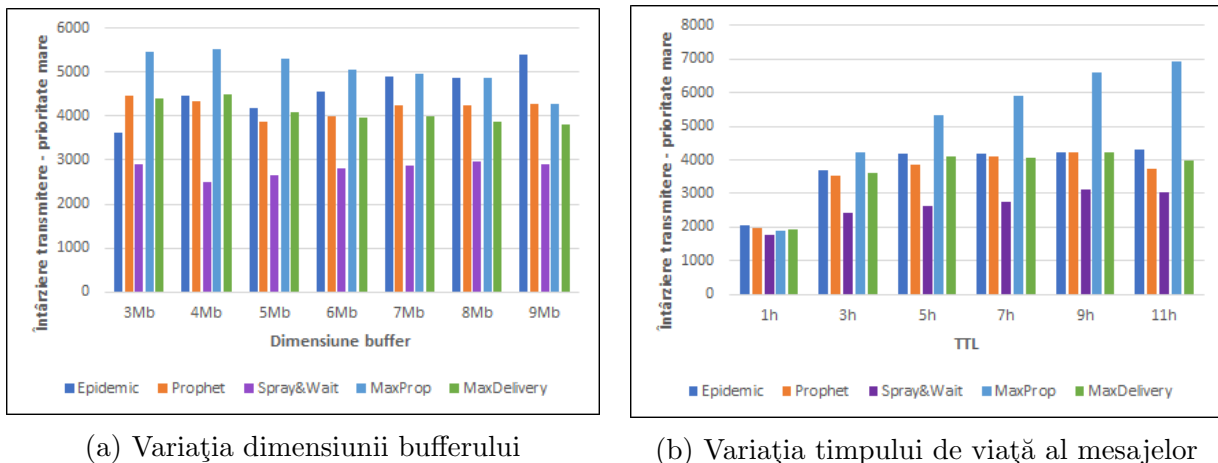
(a) Variația dimensiunii bufferului

(b) Variația timpului de viață al mesajelor

Figura 3.10: Eficiența ratei de livrare a mesajelor cu prioritate ridicată

În Fig. 3.10b, rezultatele obținute de algoritm propus sunt cu aproximativ 20% mai bune decât cele oferite de algoritm MaxProp, care are cele mai bune valori dintre algoritmii oferiti de simulator.

Timpul de livrare al mesajelor s-a îmbunătățit, nu numai la nivel global, ci și în cazul mesajelor cu prioritate mare. Rezultatele pentru această metrică de performanță a rețelei se pot observa în imaginile din Fig. 3.11.



(a) Variația dimensiunii bufferului

(b) Variația timpului de viață al mesajelor

Figura 3.11: Eficiența timpului de livrare al mesajelor cu prioritate ridicată

3.5 Scenariul concret de aplicare al algoritmului Max-Delivery

Conform unui raport al Organizației Națiunilor Unite (ONU) publicat în 2018, dezastrele naturale, cum ar fi inundațiile, cutremurile, uraganele, aduc pierderi de până la 300 miliarde de dolari anual, iar numărul de persoane afectate de către acestea în perioada 1998-2017, a fost detaliat în lucrarea [80].

Dezastrele naturale au fost clasificate, din punctul de vedere al fenomenului care le declanșează, în dezastre hidrologice, meteorologice, climatologice și geografice. Un dezastru are loc atunci când un fenomen natural afectează comunități vulnerabile de persoane.

În Tab. 3.4 putem observa datele statistice culese de către ONU în urma studiului impactului acestor fenomene asupra umanității, între anii 1998 și 2017.

În ultimii ani, unele dintre cele mai violente dezastre au fost cutremurul din Indonezia, urmat de tsunami (2004), cutremurul din Haiti (2010) și ciclonul Nargis din Myanmar (2008). La această listă putem adăuga alte evenimente petrecute în perioada 2018-2020, cum ar fi incendiile de vegetație din Grecia (2018) și din Australia (începutul anului 2020), pe fondul valului de căldură din ultimii ani, precum și pandemia de coronavirus din anul în curs.

Din datele furnizate în [80] se poate observa că fenomenele naturale care produc cele mai mari pierderi de vieți omenești sunt cutremurile, urmărite de furtuni și temperaturi extreme. De cele mai multe ori, în astfel de situații, infrastructura de telecomunicații existentă este afectată serios.

Fenomen	Populație afectată	Decese
Inundații	2 miliarde (45%)	≈142.000 (11%)
Secetă	1.5 miliarde (33%)	≈21.500 (2%)
Furtuni\Uragane	726 milioane (16%)	≈32.000 (17%)
Cutremure	125 milioane (3%)	≈750.000 (56%)
Temperaturi extreme	97 milioane (2%)	≈166.000 (13%)
Alunecări de teren	4.8 milioane (≈0.1%)	≈18.000 (1%)
Incendii și erupții vulcanice	6.2 milioane (≈0.1%)	≈2.400 (0.2%)

Tabela 3.4: Impactul dezastrelor naturale asupra populației

Într-o situație de urgență care apare după un cutremur, este nevoie de coordonare și comunicare pentru a putea ajuta eficient victimele apărute. Pentru a suplini rețeaua de comunicare tradițională, afectată de cutremur, este necesară implementarea unei rețele DTN, deoarece nu necesită o conexiune continuă între toate nodurile rețelei.

Provocări post-dezastru, în cazul unui cutremur:

- identificarea zonelor afectate și delimitarea acestora
- evacuarea răniților și a victimelor și acordarea primului ajutor
- posibilitățile limitate de acces, datorate blocării drumurilor
- dificultățile în comunicare, datorate rețelelor avariate (telecomunicații, energie electrică etc.)
- coordonarea operațiunilor de transport al victimelor la spital sau la centrele de adăpost



Figura 3.12: Mobilizare în caz de cutremur (din [92])

În rețeaua DTN utilizată în aceste condiții, se găsesc mai multe tipuri de actori: victime, salvatori, spitale, ambulanțe, adăposturi de siguranță și un centru de comandă. Aceste tipuri de actori vor reprezenta nodurile rețelei DTN care simulează contextul propus. Spitalele, adăposturile și centrul de comandă sunt noduri fixe, iar salvatorii (căutătorii de victime) și ambulanțele sunt noduri mobile.

Astfel, salvatorii se deplasează cu o viteză medie între 1 km/h și 5 km/h, iar timpul de staționare în cazul găsirii unei victime este până la 15 minute. Modelul de mobilitate al acestora presupune identificarea drumului celui mai scurt între locația curentă și locația unde se dorește deplasarea.

Ambulanțele au o viteză medie de deplasare între 30 km/h și 65 km/h, cu un timp de staționare de 2 până la 5 minute pentru urcarea / coborârea victimei. La începutul simulării, acestea au punctul de start lângă un spital, iar ulterior se vor deplasa între un spital și o poziție de pe hartă, corespunzătoare unei victime.

Dispozitivele care alcătuiesc rețeaua sunt distribuite pe ambulanțe, în spitale și salvatorilor care caută victimele și vor folosi protocolul de rutare MaxDelivery, propus în această lucrare.

Deoarece într-o situație de cutremur este necesară trierea mesajelor, vom clasifica mesajele astfel:

1. mesaje cu prioritate ridicată - acele mesaje venite din partea salvatorilor, care solicită intervenția unei ambulanțe, mesaje care transmit coordonatele de localizare a unei victime, mesaje care transmit numărul de locuri disponibile într-un anumit spital sau într-un anumit adăpost de siguranță etc.
2. mesaje cu prioritate redusă - mesaje care transmit coordonatele de localizare a unei persoane decedate (se presupune că importanța localizării acesteia este mai mică decât cea a localizării unei persoane aflate încă în viață), mesaje cu informații statistice solicitate de centrul de comandă: numărul de persoane decedate, numărul de răniți etc.

Frecvența cu care se generează mesajele diferă în funcție de categoria de actori implicați în sistem. Din grupul căutătorilor de victime se va genera în medie câte un mesaj pe minut, ambulanțele vor genera în medie câte un mesaj la 1-2 minute, iar nodurile fixe vor genera câte un mesaj la 30-60 minute.

Pentru verificarea ratei de transfer a mesajelor s-au efectuat simulări, variind numărul de noduri mobile ale sistemului. Am presupus că în zona afectată pot opera 5 spitale, 10 puncte de adăpost al populației și un centru de comandă. Au fost făcute astfel 6 simulări a către 24 de ore, în care numărul de ambulanțe și de salvatori au variat astfel:

1. 5 ambulanțe și 40 de salvatori
2. 10 ambulanțe și 50 de salvatori
3. 15 ambulanțe și 60 de salvatori
4. 20 ambulanțe și 80 de salvatori
5. 25 ambulanțe și 100 de salvatori

6. 30 ambulanțe și 120 de salvatori

Harta utilizată pentru efectuarea simulărilor este tot harta orașului Helsinki, propusă în simulatorul ONE, timpul de viață al mesajelor a fost considerat de 5 ore, iar dimensiunea bufferului de 5MB.

Au fost obținute rezultate cu un procent foarte mare de mesaje cu prioritate ridicată care ajung să fie livrate destinației, în acest context. Valorile obținute ajung pana la 96%.

Odată cu creșterea numărului de salvatori și de ambulanțe, crește și procentul de livrare al mesajelor. Acest fapt se datorează mobilității ridicate și întâlnirilor frecvente dintre noduri.

Rețeaua descrisă se poate extinde cu un sistem de drone care să ajute la răspândirea mesajelor. Numărul și deplasarea acestora, pentru optimizarea acoperirii suprafeței monitorizate, va fi considerată conform celor descrise în lucrarea [17], ale cărei rezultate aparțin parțial autoarei acestei teze. Pentru acoperirea eficientă a unei suprafețe afectată de cutremur, izolață sau carantinată, se va considera o rețea echidistantă de triunghiuri echilaterale grupate în hexagoane regulate, iar deplasarea dronelor se face pe laturile triunghiurilor echilaterale, în sensul acelor de ceasornic. Pentru alimentarea cu energie electrică se vor utiliza puncte de schimbare a bateriei, un astfel de punct fiind comun la 3 drone, similar cu cele prezentate în [17]. Pentru o trimitere eficientă de mesaje, subrețeaua de drone va calcula drumul cel mai scurt al mesajelor la destinație pe baza unui algoritm derivat din algoritmul lui Dijkstra. Varianta propusă pentru algoritmul lui Dijkstra este una dependentă de timp, care ia în calcul momentul sosirii și momentul plecării dronei într-un / dintr-un nod fix și timpul de zbor între două noduri fixe. De asemenea, algoritmul propus pentru funcționarea dronelor utilizează o coadă de priorități care ține mesajele sortate în funcție de distanța parcursă până în prezent.

O altă variantă, care ar putea funcționa cu succes și cu rezultate optime de livrare a mesajelor ar putea fi aceea în care atât nodurile de la sol, cât și extensia formată din drone, utilizează algoritmul MaxDelivery pentru rutarea pachetelor de date.

Capitolul 4

Concluzii și cercetări viitoare

4.1 Concluzii

În lucrarea de față am abordat două situații care se pot întâlni într-o rețea cu tolerantă la întârzieri:

- problema de identificare a unui flux maxim
- problema de maximizare a procentului de transmitere a mesajelor

La baza problemelor expuse anterior se află mecanismul de gestiune a bufferului, care eficientizează fluxul de date din interiorul nodului, dar și din întreaga rețea. Politica gestionării spațiului de stocare are ca suport teoretic un sistem de așteptare. Astfel, fiecare nod al unei rețele DTN se poate reprezenta ca un sistem de așteptare individual. În capitolul 2 au fost prezentate două situații a unor sisteme de așteptare cu revenire: cea în care clienții sosesc individual și cea în care sosirile se fac în loturi.

Rezolvarea celor două probleme este realizată în capitolul 3.

În secțiunea 3.1 este prezentată o abordare statică pentru identificarea fluxului maxim, pornind de la o rețea cu tolerantă la întârzieri, reprezentată sub forma unei rețele dinamice.

În secțiunea 3.2 sunt descrise cercetările preliminarii care au condus la realizarea noului algoritm de rutare, MaxDelivery. Acestea sunt bazate pe o nouă politică de abandonare a mesajelor în cazul congestiunii bufferului.

În secțiunea 3.3 este descrisă modalitatea de funcționare a algoritmului MaxDelivery, scotând în evidență politica de gestiune a bufferului pe care o implementează. Au fost prezentate de asemenea rezultatele simulărilor efectuate pentru a testa eficiența algoritmului în comparație cu unii dintre cei mai cunoscuți algoritmi de rutare în DTN.

Secțiunea 3.4 prezintă o variantă pentru algoritm propus, care tratează problema optimizării transmiterii mesajelor care au prioritate ridicată.

Secțiunea 3.5 prezintă scenariul concret al unei intervenții post-cutremur, în care se poate aplica algoritmul MaxDelivery.

Rezultatele originale care aparțin în totalitate sau parțial autoarei, și care stau la baza realizării acestei teze, sunt următoarele:

1. o privire de ansamblu asupra rețelelor cu toleranță la întârzieri și o scurtă trecere în revistă a protocolelor de rutare, completate de o serie de remarcă personale, a fost publicată în lucrarea: **Nănău C.S.**, An overview of Delay Tolerant Networks and routing protocols, Bulletin of the Transilvania University of Brașov, Vol. 11(60), no. 2, pp. 279-284, 2018.
2. exemplificarea celor mai cunoscute protocole de rutare a fost publicată în lucrarea: **Nănău C.S.**, Example of routing protocols in Delay Tolerant Networks, Bulletin of the Transilvania University of Brașov, Vol. 12(61), no. 1, pp. 145-156, 2019.
3. o abordare algoritmică a sistemelor de așteptare cu revenire, care au o singură stație de servire, iar clienții sosesc individual în sistem, a fost publicată în lucrarea: Florea, I.L. și **Nănău C.S.**, An algorithmic approach of retrial queuing system with one serving station. Part I: The description of the simulation algorithm, Bulletin of the Transilvania University of Brașov, Vol. 6(55), no. 2, pp. 95-106, 2013. Aceasta este una dintre lucrările care stau la baza capitolului 2 al tezei.
4. implementarea algoritmilor descriși în lucrarea precedentă, împreună cu prezentarea factorilor de eficiență ai sistemului, atât din punct de vedere analitic, cât și pe baza simulărilor, se regăsesc în lucrarea: Florea, I.L. și **Nănău C.S.**, An algorithmic approach of retrial queuing system with one serving station. Part II: The implementation of the simulation algorithm, Bulletin of the Transilvania University of Brașov, Vol. 7(56), no. 2, pp. 183-192, 2014.
5. implementarea unui sistem de așteptare cu revenire, care are o singură stație de servire, iar clienții sosesc în loturi în sistem, a fost publicată în lucrarea: Florea, I.L. și **Nănău C.S.**, A simulation algorithm for a single server retrial queuing system with batch arrivals, Analele științifice ale universității Ovidius Constanța, Vol. 23, no. 1, pp. 83-98, 2015 - revistă indexată ISI, cu Factor de impact 0.638 și SRI 0.232. Această abordare este evidențiată în capitolul 2 al tezei.
6. cercetările preliminare care au condus la dezvoltarea algoritmului MaxDelivery sunt prezentate în lucrarea: **Nănău, C.S.**, Queuing Theory Application on DTN Buffer Management, in Proceeding of the 8th International Conference on Computers Communications and Control (ICCCC 2020), Oradea, 2020. Rezultatele din această lucrare se regăsesc în secțiunea 3.2.
7. calculul fluxului maxim într-o rețea de tip DTN, recurgând la o abordare statică, stă la baza secțiunii 3.1 și a fost publicat în lucrarea: **Nănău C.S.**, Maximum flow in buffer-limited Delay Tolerant Networks. The static approach, Bulletin of the Transilvania University of Brașov, Vol. 14(63), no. 1, 2020.

Rezultate originale acceptate la conferințe internaționale:

1. descrierea funcționalității algoritmului MaxDelivery și a politicii de gestiune a bufferului pe care o implementează acesta, care se regăsește în secțiunea 3.3, este prezentată în lucrarea: **Nănău, C.S.**, MaxDelivery: a new approach to a DTN buffer management, trimisă pentru recenzie la conferința 21st IEEE International Symposium on a World of Wireless, Mobile and Multimedia Networks (IEEE WOWMOM 2020), Cork, Ireland.

Rezultate originale trimise spre publicare:

1. determinarea drumului minim parcurs de mesaje într-o rețea DTN, reprezentată de un sistem echidistant de triunghiuri echilaterale grupate în hexagoane regulate și respectiv, pătrate, ale cărei noduri sunt reprezentate de drone, este descrisă în lucrarea: Deaconu, A., Udroiu, R. and **Nănău, C.Ş.**, Data or Physical Packages Delivery in Isolated, Disaster or Quarantined Areas Using DTN Based Algorithms for Unmanned Aerial Vehicles, trimisă pentru recenzie la revista IEEE Access, **cotată ISI, cu Factor de impact 3.745 și SRI 0.642**. Rezultatele obținute sunt utilizate în secțiunea 3.5, unde este prezentat exemplul de aplicație al rețelei DTN.

4.2 Cercetări viitoare

Una dintre direcțiile viitoare de cercetare este aceea de a îmbunătăți eficiența transmiterii mesajelor în algoritmul de rutare propus, prin completarea sa cu un algoritm de flux maxim. Astfel, oportunitățile de conectare dintre noduri ar putea fi folosite într-un mod optim pentru livrarea mesajelor.

O altă problemă de actualitate în domeniul rețelelor ad-hoc, este cea referitoare la rețeaua de drone, cunoscută sub denumirea de FANET (Flying ad-hoc Network în limba engleză). Acest concept este unul foarte recent, studiat tot mai mult în ultimii ani.

Posibilități de aplicare a unei rețele de tip FANET:

- monitorizarea suprafețelor cultivate și a pădurilor
- operațiuni de căutare și salvare de persoane
- livrare de produse
- monitorizarea traficului
- observarea zonelor post dezastru

Schimbarea frecvență a topologiei rețelei, mediul diferit de aplicare, factorii climatici și consumul de energie sunt factori care transformă FANET într-o provocare. Pentru a obține performanțele dorite, este necesar ca protocoalele de rutare implementate să țină cont de aceste aspecte.

Datorită faptului că obiectivul unei rețele FANET este acela de a descoperi rute optime de parcurgere, în cercetările viitoare voi studia aplicarea paradigmei DTN în rețelele FANET.

Bibliografie

- [1] Ahuja, R., Magnanti, T. and Orlin, J., **Network Flows. Theory, algorithms and applications**, Prentice Hall, Inc., Englewood Cliffs, New Jersey, 1993.
- [2] Arrar, N.K., Djellab, N.V. and Baillon J.B., **On the asymptotic behaviour of M/G/1 retrial queues with batch arrivals and impatience phenomenon**, Mathematical and Computer Modelling, Vol. 55, Issues 3-4, pp. 654-665, 2012, doi: 10.1016/j.mcm.2011.08.039.
- [3] Ayub, Q. and Rashid, S., **T-drop: an optimal buffer management policy to improve QOS in DTN routing protocols**, Journal of Computing, Vol. 2, no. 10, pp. 46-50, 2010.
- [4] Ayub, Q., Ngadi, A., Rashid, S. and Habib, H.A., **Priority Queue Based Reactive Buffer Management Policy for Delay Tolerant Network under City Based Environments**, PloS One, Vol. 13, no. 2, 2018, doi: 10.1371/journal.pone.0191580.
- [5] Balasubramanian, A., Levine, B.N. and Venkataramani, A., **DTN routing as a resource allocation problem**, ACM SIGCOMM, Vol. 37, no. 4, pp. 373-384, 2007, doi: 10.1145/1282380.1282422.
- [6] Bertsekas, D.P. and Gallager, R., **Data Networks**, Cap.3, Prentice Hall, 1991, ISBN 0132009161.
- [7] Bjurefors, F., Gunningberg, P., Rohner, C. and Tavakoli, S., **Congestion avoidance in a data-centric opportunistic network**, Proceedings of the ACM SIGCOMM workshop on Information-centric networking, Toronto, pp. 32-37, 2011, doi: 10.1145/2018584.2018594.
- [8] Boldrini, C., Conti, M. and Passarella, A., **Less is More: Long Paths do not Help the Convergence of Social-Oblivious Forwarding in Opportunistic Networks**, Proceedings of the ACM/SIGMOBILE MobiOpp, pp. 13-20, 2012, doi: 10.1145/2159576.2159582.
- [9] Boudguig, M. and Abdali, A., **New DTN Routing Algorithm**, IJCSI International Journal of Computer Science Issues, Vol. 10, Issue 2, no. 3, pp. 82-87, 2013.
- [10] Bulut, E. and Szymanski, B.K., **Friendship Based Routing in Delay Tolerant Mobile Social Networks**, IEEE Global Telecommunications Conference GLOBECOM, 2010, doi: 10.1109/GLOCOM.2010.5683082.

- [11] Burgess, J., Gallagher, B., Jensen, D. and Levine, B.N., **MaxProp: Routing for Vehicle-Based Disruption-Tolerant Networks**, IEEE INFOCOM, pp. 1-11, 2006, doi: 10.1109/INFOCOM.2006.228.
- [12] Cai, X., Sha, D. and Wong, C., **Time-varying Network Optimization**, Springer, 2007.
- [13] Cerf, V., Burleigh, S., Hooke, A., Torgerson, L., Durst, R., Scott, K., Fall, K. and Weiss, H., **Delay-Tolerant Networking Architecture**, Network Working Group, <https://tools.ietf.org/html/rfc4838>, April 2007.
- [14] Ciurea, E., **Counterexamples in maximal dynamic flows**, Annual Congress of the American Romanian Academy of Arts and Sciences, *Libertas Mathematica*, Vol. XVII, pp. 77-97, 1997.
- [15] Daly, E.M. and Haahr, M., **Social network analysis for routing in disconnected delay-tolerant MANETs**, MobiHoc '07: Proceeding of the 8th ACM international symposium on Mobile ad hoc networking and computing, pp. 32-40, 2007, doi: 10.1145/1288107.1288113.
- [16] Davis, J.A., Fagg, A.H. and Levine, B.N., **Wearable computers as packet transport mechanisms in highly partitioned ad-hoc networks**, Proceedings of Fifth International Symposium on Wearable Computers, Zurich, pp. 141-148, 2001, doi: 10.1109/ISWC.2001.962117.
- [17] Deaconu, A., Udroiu, R. and *Nănău, C.S.*, **Data or Physical Packages Delivery in Isolated, Disaster or Quarantined Areas Using DTN Based Algorithms for Unmanned Aerial Vehicles**, IEEE Access, 2020, trimisă spre publicare.
- [18] Dijkstra, E.W., **A note on two problems in connexion with graphs**, Numerische Mathematik, Vol. 1, no. 1, pp. 269-271, 1959.
- [19] Dziekonski, A.M. and Schoeneich, R.O., **DTN Routing Algorithm for Networks with Nodes Social Behavior**, International Journal of Computers Communications & Control, Vol. 11, no. 4, pp. 457-471, 2016, doi: 10.15837/ijccc.2016.4.1454.
- [20] Falin, G.I., **A single-server batch arrival queue with returning customers**, European Journal of Operational Research, Vol. 201, no. 3, pp. 786-790, 2010, doi: 10.1016/j.ejor.2009.03.033.
- [21] Fall, K., **A Delay-Tolerant Network Architecture for Challenged Internets**, SIGCOMM, Proceedings of the 2003 conference on Applications, technologies, architectures, and protocols for computer communications, pp. 27-34, 2003, doi: 10.1145/863955.863960.
- [22] Fathima, G. and Wahidabani, R.S.D., **Buffer management for preferential delivery in opportunistic Delay Tolerant Networks**, International Journal of Wireless & Mobile Networks, Vol. 3, no. 5, pp. 15-28, 2011, doi: 10.5121/ijwmn.2011.3502.
- [23] Florea, I.L. and *Nănău C.S.*, **An algorithmic approach of retrial queuing system with one serving station. Part I: The description of the simulation algorithm**, Bulletin of the Transilvania University of Brașov, Vol. 6(55), no. 2, pp. 95-106, 2013.

- [24] Florea, I.L. and **Nănău C.S.**, **An algorithmic approach of retrial queuing system with one serving station. Part II: The implementation of the simulation algorithm**, Bulletin of the Transilvania University of Brașov, Vol. 7(56), no. 2, pp. 183-192, 2014.
- [25] Florea, I.L. and **Nănău C.S.**, **A simulation algorithm for a single server retrial queuing system with batch arrivals**, Analele științifice ale universității Ovidius Constanța, Vol. 23, no. 1, pp. 83-98, 2015, doi: 10.1515/auom-2015-0007.
- [26] Ford, L.R. and Fulkerson, D.R., **Flows in Networks**, Princeton University Press, Princeton New Jersey, 1962.
- [27] Giuseppe, A., Bezigianidis, N., Birrane, E., Bisio, I., Burleigh, S., Caini, C., Feldmann, M., Marchese, M., Segui, J. and Suzuki, K., **Contact Graph Routing in DTN Space Networks: Overview, Enhancements and Performance**, IEEE Communications Magazine, Vol. 53, no. 3, pp. 38–46, 2015, doi: 10.1109/MCOM.2015.7060480.
- [28] Gorunescu, F. and Prodan, A., **Modelare stochastică și simulare**, Editura Albastră, Cluj-Napoca, ISBN 973-650-023-3, 2001.
- [29] Holme, P. and Saramäki, J., **Temporal Networks**, Physics Reports, Vol. 519, no. 3, pp. 97-125, 2012.
- [30] Hui, P. and Crowcroft, J., **How small labels create big improvements**, Proceedings of the IEEE International Conference on Pervasive Computing and Communications Workshops (PerComW'07), pp. 65-70, 2007, doi: 10.1109/PERCOMW.2007.55.
- [31] Hui, P., Crowcroft, J. and Yoneki, E., **BUBBLE Rap: Social-based Forwarding in Delay Tolerant Networks**, Mobile Computing, IEEE Transactions, Vol. 10, no. 11, pp. 1576-1589, 2011, doi: 10.1109/TMC.2010.246.
- [32] Jain, S., Fall, K. and Patra, R., **Routing in a Delay Tolerant Network**, SIGCOMM '04, Proceedings of the 2004 conference on Applications, technologies, architectures, and protocols for computer communications, pp. 145-158, 2004, doi: 10.1145/1015467.1015484.
- [33] Jain, S. and Chawla, M., **Survey of Buffer Management Policies for Delay Tolerant Networks**, The Journal of Engineering, Vol. 2014, Issue 3, pp. 117-123, 2014, doi: 10.1049/joe.2014.0067.
- [34] Jones, E.P.C., **Practical Routing in Delay-Tolerant Networks**, Masters Thesis, Waterloo, Ontario, Canada, 2006.
- [35] Ke, M., Nenghai, Y. and Bin L., **A new packet dropping policy in Delay Tolerant Network**, IEEE 12th International Conference on Communication Technology, Nanjing, pp. 377-380, 2010, doi: 10.1109/ICCT.2010.5689151.
- [36] Keranen, A., Ott, J. and Karkkainen, T., **The ONE simulator for DTN protocol evaluation**, Proceedings of the 2nd International Conference on Simulation Tools and Techniques (SimuTools 2009), Rome, Italy, article no. 55, pp. 1-10, 2009, doi: 10.4108/ICST.SIMUTOOLS2009.5674.

- [37] Keranen, A., **Opportunistic Network Environment Simulator**, Special Assignment report, Helsinki University of Technology, Department of Communications and Networking, May 2008.
- [38] Krifa, A., Barakat, C., Spyropoulos, T., **Optimal buffer management policies for delay tolerant networks**, IEEE Communications Society Conference on Sensor, Mesh and Ad Hoc Communications and Networks (SECON 2008), pp. 1-9, 2008, doi: 10.1109/SAHCN.2008.40.
- [39] Krishna, K.B. and Arivudainambi, D., **The M/G/1 retrial queue with Bernoulli schedules and general retrial times**, Computers and Mathematics with Applications, Vol. 43, Issues 1-2, pp. 15-30, 2002, doi: 10.1016/S0898-1221(01)00267-X.
- [40] Lee, K., Hong, S., Kim, S.J., Rhee, I. and Chong, S., **SLAW: Self-Similar Least-Action Human Walk**, IEEE, Vol. 20, no. 2, pp. 515-529, 2012, doi: 10.1109/TNET.2011.2172984.
- [41] Li, Y. and Qian, M., **Adaptive optimal buffer management policies for realistic DTN**, IEEE Global Telecommunication Conference, GLOBECOM 2009, USA, pp. 1-5, 2009, doi: 10.1109/GLOCOM.2009.5426161.
- [42] Li, Y., Zhao, L., Liu, Z. and Liu, Q., **N-drop congestion control strategy under epidemic routing in DTN**, Proceedings of the International Conference on Wireless Communications and Mobile Computing: Connecting the World Wirelessly (IWCMC 2009), Leipzig, Germany, pp. 457-460, 2009, doi: 10.1145/1582379.1582479.
- [43] Li, H., Zhang, T., Zhang, Y., Wang, K. and Li, J., **A maximum flow algorithm based on storage time aggregated graph for Delay Tolerant Networks**, Ad Hoc Networks, Vol. 59, pp. 63-70, 2017, doi: 10.1016/j.adhoc.2017.01.006.
- [44] Lindgren, A., Doria, A. and Schelen, O., **Probabilistic routing in intermittently connected networks**, SIGMOBILE Mobile Computing and Communication, 2003, doi: 10.1145/961268.961272.
- [45] Lindgren, A. and Phanse, K.S., **Evaluation of queuing policies and forwarding strategies for routing in intermittently connected networks**, Proceedings of International Conference on Communication Systems Software & Middleware, pp. 1-10, 2006, doi: 10.1109/COMSWA.2006.1665196.
- [46] Liu, Y., Wang, J., Zhang, S. and Zhou, H., **A buffer management scheme based on message transmission status in Delay Tolerant Networks**, IEEE Global Telecommunications Conference (GLOBECOM 2011), pp. 1-5, 2011, doi: 10.1109/GLOCOM.2011.6134084.
- [47] Lo, S.C., Tsai, C.C. and Lai Y.H., **Quota-Control Routing in Delay-Tolerant Networks**, Ad Hoc Networks, Vol. 25(B), pp. 393-405, 2015, doi: 10.1016/j.adhoc.2014.07.029.
- [48] Mauve, M., Widmer, A. and Hartenstein, H., **A survey on position-based routing in mobile ad hoc networks**, IEEE Network, Vol. 15, no. 6, pp. 30-39, 2001, doi: 10.1109/65.967595.

- [49] Mehta, N. and Shah, M., **Performance of Efficient Routing Protocol in Delay Tolerant Network: A Comparative Survey**, International Journal of Future Generation Communication and Networking, Vol. 7, no. 1, pp. 151-158, 2014, doi: 10.14257/ijfgcn.2014.7.1.15.
- [50] Mei, A., Morabito G., Santi, P. and Stefa, J., **Social-aware stateless forwarding in pocket switched networks**, in Proceedings of the IEEE INFOCOM, pp. 251-255, 2011, doi: 10.1109/INFCOM.2011.5935076.
- [51] Nain, D., Petigara, N. and Balakrishnan, H., **Integrated routing and storage for messaging applications in mobile ad hoc networks**, Mobile Networks and Applications (MONET), Vol. 9, no. 6, pp. 595–604, 2004, doi: 10.1023/B:MONE.0000042498.60917.e8.
- [52] *Nănău C.S.*, **An overview of Delay Tolerant Networks and routing protocols**, Bulletin of the Transilvania University of Brașov, Vol. 11(60), no. 2, pp. 279-284, 2018.
- [53] *Nănău C.S.*, **Example of routing protocols in Delay Tolerant Networks**, Bulletin of the Transilvania University of Brașov, Vol. 12(61), no. 1, pp. 145-156, 2019.
- [54] *Nănău C.S.*, **Maximum flow in buffer-limited Delay Tolerant Networks. The static approach**, Bulletin of the Transilvania University of Brașov, Vol. 13(62), no. 1, pp. 363-372, 2020.
- [55] *Nănău, C.S.*, **Queuing Theory Application on DTN Buffer Management**, in Proceeding of the 8th International Conference on Computers Communications and Control (ICCCC 2020), Oradea, 2020.
- [56] *Nănău, C.S.*, **MaxDelivery: a new approach to a DTN Buffer Management**, Proceeding of 21ST IEEE International Symposium on a World of Wireless, Mobile and Multimedia Networks (IEEE WOWMOM 2020), Cork, Ireland, acceptată pentru susținere.
- [57] Nelson, S.C., Bakht, M. and Kravets, R., **Encounter-Based Routing in DTNs**, Proceeding of IEEE INFOCOM 2009 Conference, Rio de Janeiro, pp. 846-854, 2009, doi: 10.1109/INFCOM.2009.5061994.
- [58] Ng, T.S.E. and Zhang, H., **Predicting internet network distance with coordinates based approaches**, Proceedings of IEEE INFOCOM, Vol. 1, pp. 170–179, 2002, doi: 10.1109/INFCOM.2002.1019258.
- [59] Patel, Y. and Patel, T., **A Survey on DTN Routing Protocols**, International Journal of Engineering Development and Research (IJEDR), Vol. 3, no. 4, 2015.
- [60] Ramanathan, R., Hansen, R., Basu, P., Rosales-Hain, R. and Krishnan, R., **Prioritized epidemic routing for opportunistic networks**, Proceedings of the 1st international MobiSys workshop on Mobile opportunistic networking, pp. 62-66, 2007, doi: 10.1145/1247694.1247707.
- [61] Rashid, S. and Ayub, Q., **Effective buffer management policy DLA for DTN routing protocols under congestion**, International Journal of Computer and Network Security, Vol. 2, no. 9, pp.118-121, 2010.

- [62] Rashid, S., Ayub, Q., Soperi, M.M.Z. and Abdullah, A.H., **E-Drop: an effective drop buffer management policy for DTN routing protocols**, International Journal of Computer Applications, Vol. 13, no. 7, pp. 8-13, 2011, doi: 10.5120/1795-2486.
- [63] Rashid S., Abdullah A.H., Soperi, M.M.Z. and Ayub, Q., **Mean drop an effectual buffer management policy for Delay Tolerant Network**, European Journal Of Scientific Research, Vol. 70, no. 3, pp. 396-407, 2012.
- [64] Scott, K. and Burleigh, S., **Bundle Protocol Specification**, Network Working Group, <https://tools.ietf.org/html/rfc5050>, November 2007.
- [65] Sehgal, R., **Modeling and Analysis of Delay Tolerant Networks**, Dissertation Thesis, 2016.
- [66] Settawatcharawanit, T., Yamada, S., Haque, E. and Rojviboonchai, K., **Message dropping policy in congested social Delay Tolerant Networks**, The 10th International Joint Conference on Computer Science and Software Engineering (JCSSE), pp. 116-120, 2013, doi: 10.1109/JCSSE.2013.6567330.
- [67] Shah, M., Gondaliya, N. and Barad, A., **An Improved SimBet Routing Algorithm for Human Mobility based DTN**, Kalpa Publications in Computing, Vol. 2, pp. 166-176, 2017, doi: 10.29007/c28h.
- [68] Shin, K. and Kim, S., **Enhanced buffer management policy that utilizes message properties for Delay Tolerant Networks**, IET Communications, Vol. 5, no. 6, pp. 753-759, 2011, doi: 10.1049/iet-com.2010.0422.
- [69] Skutella, M.G., **An Introduction to Network Flows Over Time**, Research Trends in Combinatorial Optimization, pp. 451-482, 2008, doi: 10.1007/978-3-540-76796-1_21.
- [70] Small, T and Haas, Z.J., **Resource and performance tradeoffs in delay-tolerant wireless networks**, Proceedings of the ACM SIGCOMM Workshop on Delay-Tolerant Networking (WDTN'05), pp. 260–267, 2005, doi: 10.1145/1080139.1080144.
- [71] Sabin, C.C., **An Efficient Buffer Management Policy for DTN**, Procedia Computer Science, Vol. 93, pp. 309-314, 2016, doi: 10.1016/j.procs.2016.07.215.
- [72] Soares, V.N.G.J., Farahmand, S.F. and Rodrigues, J.J.P.C., **Performance analysis of scheduling and dropping policies in vehicular delay-tolerant networks**, International Journal on Advances in Internet Technology - IARIA, Vol. 3, no. 1, pp. 137-145, 2010.
- [73] Souza, C., Mota, E., Galvao, L., Manzoni, P. and Cano, J.C., **Drop Less Known strategy for buffer management in DTN Nodes**, Proceedings of the Latin America Networking Conference on LANC 2014, Article no. 6, pp. 1-7, 2014, doi: 10.1145/2684083.2684089.
- [74] Spyropoulos, T., Psounis, K. and Raghavendra, C.S., **Single-copy routing in intermittently connected mobile networks**, Proceedings of Sensor and Ad Hoc Communications and Networks SECON, pp. 235-244, 2004, doi: 10.1109/SAHCN.2004.1381922.

- [75] Spyropoulos, T., Psounis, K. and Raghavendra, C.S. , **Spray and Wait: An Efficient Routing Scheme for Intermittently Connected Mobile Networks**, Proceedings of the ACM SIGCOMM Workshop on Delay-Tolerant Networking (WDTN'05), pp. 252–259, 2005, doi: 10.1145/1080139.1080143.
- [76] Stewart, M.F., **CASPaR: Congestion Avoidance Shortest Path Routing for Delay Tolerant Networks**, Louisiana State University, Agricultural and Mechanical College, The Department of Computer Science, 2015.
- [77] Tang, L., Chai, Y., Li, Y. and Weng, B., **Buffer management policies in opportunistic networks**, Journal of Computational Information Systems, Vol. 8, no. 12, pp. 5149-5159, 2012.
- [78] Toh, C.K., **Ad Hoc Mobile Wireless Networks**, Prentice Hall Publishers, 2002, ISBN 978-0-13-007817-9
- [79] Vahdat, A. and Becker, D., **Epidemic routing for partially-connected ad hoc networks**, Handbook of Systemic Autoimmune Diseases, Duke University, Tech. Rep. CS-2000-06, July 2000.
- [80] Wallemacq, P. and House, R., **Economic losses, poverty & disasters: 1998-2017**, United Nations Office for Disaster Risk Reduction, Technical Report, 2018, doi: 10.13140/RG.2.2.35610.08643.
- [81] Warthman, F., **Delay-and Disruption-Tolerant Networks (DTNs)**, Warthman Associates, Version 3.2, September 14, 2015.
- [82] Yamamoto K., **The queue length in an M/G/1 batch arrival retrial queue**, Queueing Systems, Vol. 40, pp. 187-205, 2012, doi: 10.1007/s11134-011-9268-4.
- [83] Yang, L., Chen, S. and Wei, D., **A Buffer Management Strategy based on Message Drop History in DTN Satellite Network**, Advances in Computer Science Research, 2nd International Conference on Mechatronics Engineering and Information Technology (ICMEIT 2017), Vol. 70, pp. 562-568, 2017, doi: 10.2991/icmeit-17.2017.123.
- [84] Zhang, Z., **Routing in intermittently connected mobile ad hoc networks and delay tolerant networks: Overview and challenges**, IEEE Communications Surveys & Tutorials, Vol. 8, no. 1, pp. 24-37, 2007, doi: 10.1109/COMST.2006.323440
- [85] Zhang, T., Deng, S., Li, H., Hou, R. and Zhang, H., **A maximum flow algorithm for buffer-limited Delay Tolerant Networks**, Journal of Communications and Information Networks, Vol. 2, No. 3, pp. 52-60, 2017, doi: 10.1007/s41650-017-0016-8.
- [86] Zhu, Y., Xu, B., Shi, X. and Wang, Y., **A Survey of Social-Based Routing in Delay Tolerant Networks: Positive and Negative Social Effects**, IEEE Communications Surveys and Tutorials, Vol. 15, no. 1, pp. 387-401, 2013, doi: 10.1109/SURV.2012.032612.00004.
- [87] https://en.wikipedia.org/wiki/Routing_in_delay-tolerant_networking
- [88] https://en.wikipedia.org/wiki/M/G/1_queue
- [89] <https://akeranen.github.io/the-one/>

- [90] <https://crawdad.cs.dartmouth.edu>
- [91] <https://www.graphviz.org/>
- [92] <http://news.bbc.co.uk/2/hi/americas/8459653.stm>

Scurt rezumat al tezei

Teza de doctorat, intitulată **Cercetări în teoria aşteptării și în rețele cu toleranță la întârzieri**, are ca obiectiv principal identificarea unui algoritm care să maximizeze rata de livrare a mesajelor într-o rețea de tip DTN. Pentru atingerea obiectivului, au existat o serie de cercetări preliminare. Una dintre cercetările premergătoare algoritmului propus se referă la teoria aşteptării, prin identificarea și implementarea unor sisteme de aşteptare cu revenire, descrise și analizate în capitolul 2 al tezei. Cea de-a doua cercetare premergătoare constă în identificarea unei politici de abandonare optimă a mesajelor dintr-un buffer congestionat, descrisă în capitolul al treilea al tezei. Tot în acest capitol am transformat o rețea dinamică de tip DTN într-o rețea statică, în care am identificat fluxul maxim. Toate aceste studii au culminat cu realizarea algoritmului de rutare MaxDelivery, care utilizează o politică de gestiune a bufferului, pentru a optimiza procentul de mesaje livrate la destinație. A fost prezentată de asemenea și o variantă a acestui algoritm, care lucrează cu mesaje de diferite priorități, maximizând rata de transmitere a mesajelor cu prioritate mare. Simulațiile care au evidențiat performanțele algoritmului MaxDelivery au fost realizate cu simulatorul ONE și au fost făcute comparații cu unii dintre cei mai cunoscuți algoritmi de rutare din DTN. Rezultatele cuprinse în această teză pot fi îmbunătățite și extinse pentru a fi aplicate în contexte reale variate.

* * *

*

The main objective of the PhD thesis, entitled **Research in Queuing Theory and Delay Tolerant Networks**, is the identification of an algorithm that maximizes the delivery rate of the messages in a DTN network. In order to achieve this goal, there was a set of preliminary researches. One of the first research preceding the proposed algorithm refers to the queuing theory, identifying and implementing single server retrial queuing systems, described and analyzed in chapter 2 of the thesis. The second preliminary research consists in identifying an optimal dropping policy of messages from a congested buffer, described in the third chapter of the thesis. Also in this chapter we transform a dynamic DTN network into a static network, in which we identify the maximum flow. All these studies culminated with the development of the MaxDelivery routing algorithm, which uses a buffer management policy to optimize the percentage of messages delivered to the destination. A variant of this algorithm was also presented, which works with messages with different priorities, maximizing the transmission rate of high priority messages. The simulations that highlight the performance of the MaxDelivery algorithm were performed with the ONE simulator. The results were compared with those of the best known routing algorithms in DTN. The researches contained in this thesis can be improved and extended to be applied in various real contexts.